



ERKEN EVRE AKÇİĞER KANSERİ YÖNETİMİNDE GÜNCEL GELİŞMELER



Dr. Naciye Ak
İstanbul Üniversitesi, Onkoloji Enstitüsü

Erken Evre KHDAKda Güncel Pratiğe Yansıyan Çalışmalar

Adjuvan

- Adjuvan Kemoterapi
- IMpower 010 / PEARLS
- ADAURA / ALINA

İzole Neoadjuvan

- Checkmate 816

Perioperatif

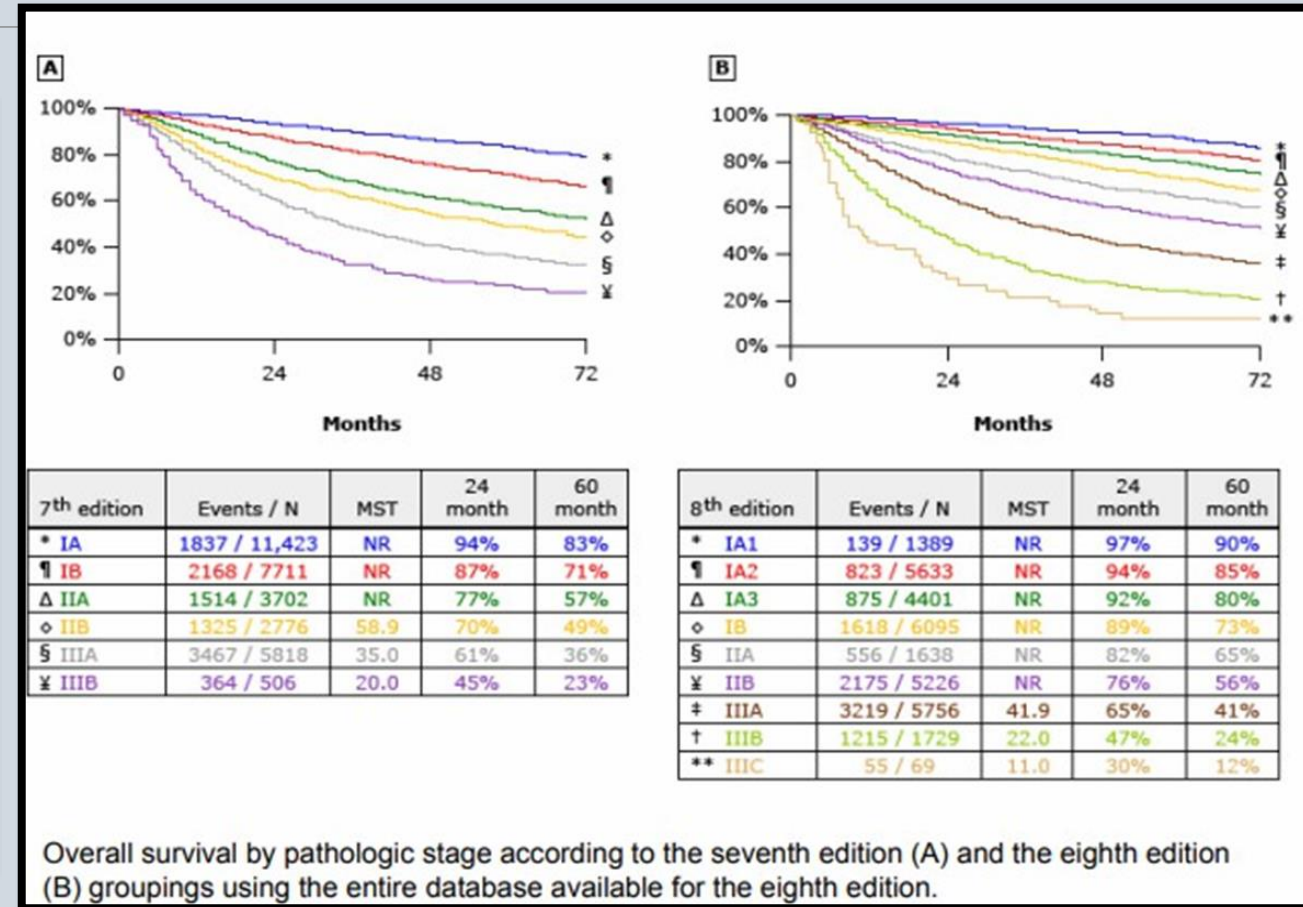
- Checkmate 77T
- AEGEAN
- Keynote 671

- Tek başına cerrahi rezeksiyon ile erken evre akciğer kanserlerinde kür şansı az, 5 yıllık rekürenssiz sağkalım oranı genellikle düşüktür
- Rekürensler genelde uzak metastazlar şeklinde izlenir

Sites of Recurrence Following Complete Surgical Resection

Recurrence	Histology, %	
	Adenocarcinoma/Large Cell	Squamous Cell
Regional	17	24
Distant	79	71
Regional and distant	4	5

Mountain CF, McMurtrey MJ, Frazier OH. Current results of surgical treatment for lung cancer. Cancer Bull 1980;32:105–108



Pratik değiştirenler

Trials	No. Patients	Stage	Chemotherapy	Overall Survival				P Value	Ref.		
				5-Year Survival, %		Hazard Ratio (95% CI)					
				Chemotherapy	Control						
IALT	1867	I-III	Cis/Vinca	44.5	40.4	0.86 (0.76-0.98)	< .03	.3			
JBR.10	482	IB-II	Cis/Vino	69	54	0.69 (0.52-0.91)	.04	.5			
ANITA	840	IB-III A	Cis/Vino	51.2	42.6	0.80 (0.66-0.96)	.02	.6			
LACE meta-analysis	4584	I-III A	Cisplatin-based	48.8	43.5	0.89 (0.82-0.96)	.004	.10			

Abbreviations: ANITA = Adjuvant Navelbine International Trialist Association; CI = confidence interval; Cis = cisplatin; IALT = International Adjuvant Lung Cancer Trial; LACE = Lung Adjuvant Cisplatin Evaluation; Ref. = reference; Vinca = Vinca Alkaloid; Vino = vinorelbine.

Hedefe Yönelim - Immunoterapi

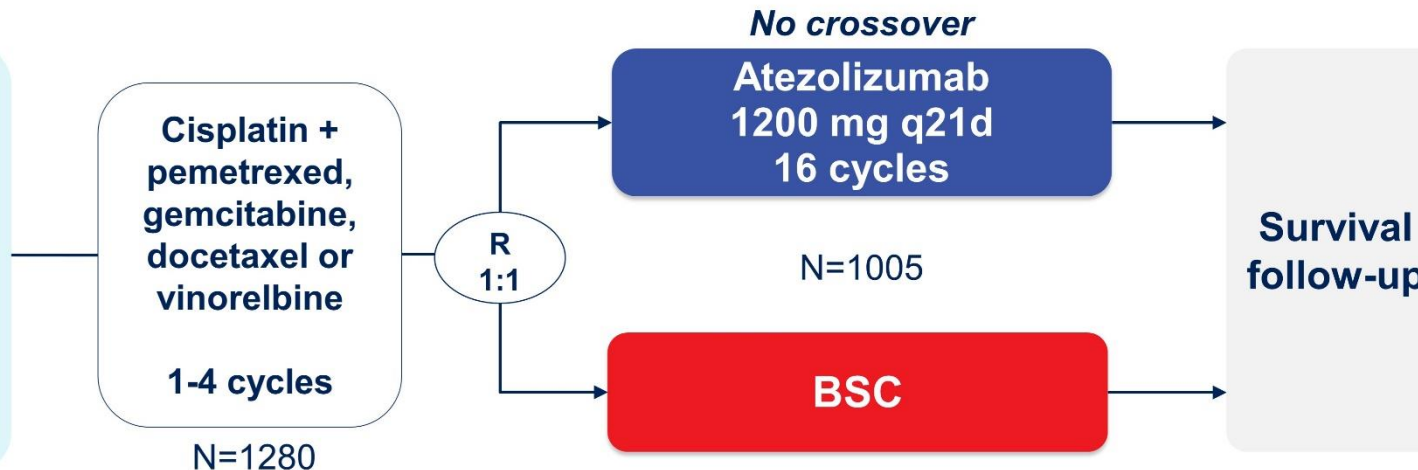
Trials	Drug	No. Patients	Stage	Primary Endpoint	NCT Number	Ref.
PEARLS	Pembrolizumab	1380	IB-IIIA	DFS	NCT02504372	49
BR31	Durvalumab	1360	IB-IIIA	DFS	NCT02273375	50
IMpower010	Atezolizumab	1127	IB-IIIA	DFS	NCT02486718	51
ANVIL	Nivolumab	714	IB-IIIA	OS/DFS	NCT02595944	52

Abbreviations: DFS = disease-free survival; NCT = National Clinical Trials; OS = overall survival; Ref. = reference.

IMpower010: study design

Completely resected stage IB-IIIA NSCLC per UICC/AJCC v7

- Stage IB tumors ≥ 4 cm
- ECOG 0-1
- Lobectomy/pneumonectomy
- Tumor tissue for PD-L1 analysis



Stratification factors

- Male/female
- Stage (IB vs II vs IIIA)
- Histology
- PD-L1 tumor expression status^a: TC2/3 and any IC vs TC0/1 and IC2/3 vs TC0/1 and IC0/1

Primary endpoints

- Investigator-assessed DFS tested hierarchically:
 - PD-L1 TC $\geq 1\%$ (per SP263) stage II-IIIA population
 - All-randomized stage II-IIIA population
 - ITT population (stage IB-IIIA)

Key secondary endpoints

- OS in ITT population
- DFS in PD-L1 TC $\geq 50\%$ (per SP263) stage II-IIIA population
- 3-y and 5-y DFS in all 3 populations

Both arms included observation and regular scans for disease recurrence on the same schedule.

ECOG, Eastern Cooperative Oncology Group; IC, tumor-infiltrating immune cells; ITT, intent to treat; TC, tumor cells. ^aPer SP142 assay.

3

Dr. Heather A. Wakelee
Presented By: IMpower010 Interim Analysis
<https://bit.ly/33t6JJP>

#ASCO21 | Content of this presentation is the property of the author, licensed by ASCO.
Permission required for reuse.

2021 ASCO[®]
ANNUAL MEETING

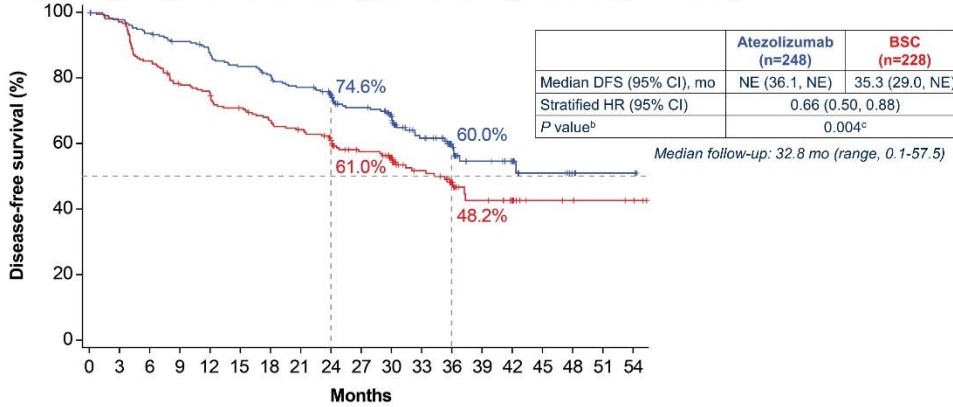
Table S1: Overview of chemotherapy cycles by treatment arm

	PD-L1 TC \geq 1% (SP263) (stage II-IIIA)		All Randomised (stage II-IIIA)		ITT (stage IB-IIIA)	
No. of cycles	Atezolizumab (n = 248)	BSC (n = 228)	Atezolizumab (n = 442)	BSC (n = 440)	Atezolizumab (n = 507)	BSC (n = 498)
1	1 (<1%)	11 (5%)	6 (1%)	14 (3%)	7 (1%)	14 (3%)
2	8 (3%)	11 (5%)	18 (4%)	19 (4%)	22 (4%)	22 (4%)
3	28 (11%)	18 (7.9%)	40 (9%)	35 (8%)	42 (8%)	39 (8%)
4	211 (85%)	188 (83%)	378 (86%)	372 (85%)	436 (86%)	423 (85%)

Data are n (%).

BSC, best supportive care; ITT, intent-to-treat.

IMpower010: DFS in the PD-L1 TC $\geq 1\%$ ^a stage II-IIIA population (primary endpoint)

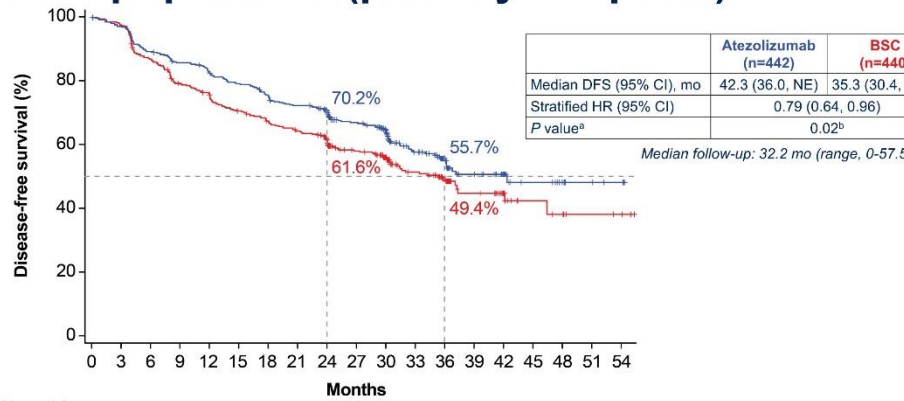


PD-L1 status by SP263

	No. of patients	Atezolizumab (95% CI)	BSC (95% CI)
TC <1%	181/383	36.1 (30.2-NE)	202/383
TC $\geq 1\%$	248/476	NE (36.1-NE)	228/476
TC 1-49%	133/247	32.8 (29.4-NE)	114/247
TC $\geq 50\%$	115/229	NE (42.3-NE)	114/229

IMpower010

stage II-IIIA population (primary endpoint)

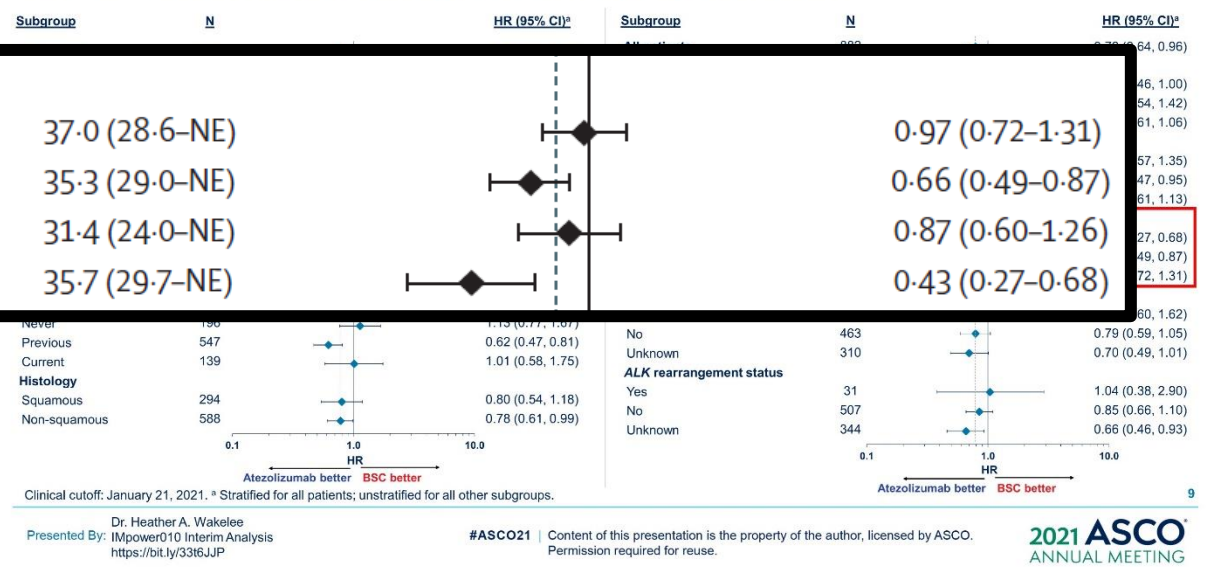


No. at risk
Atezolizumab 442 418 384 367 352 337 319 305 269 225 185 120 84 48 34 16 11 5 3
BSC 440 412 366 331 314 292 277 263 230 182 146 102 71 35 22 10 8 4 3

Clinical cutoff: January 21, 2021. ^a Stratified log-rank. ^b Crossed the significance boundary for DFS.

Dr. Heather A. Wakelee
Presented By: IMpower010 Interim Analysis
<https://bit.ly/33t6JJP>

IMpower010: DFS in key subgroups of the all-randomized stage II-IIIA population



author, licensed by ASCO. Permission required for reuse.

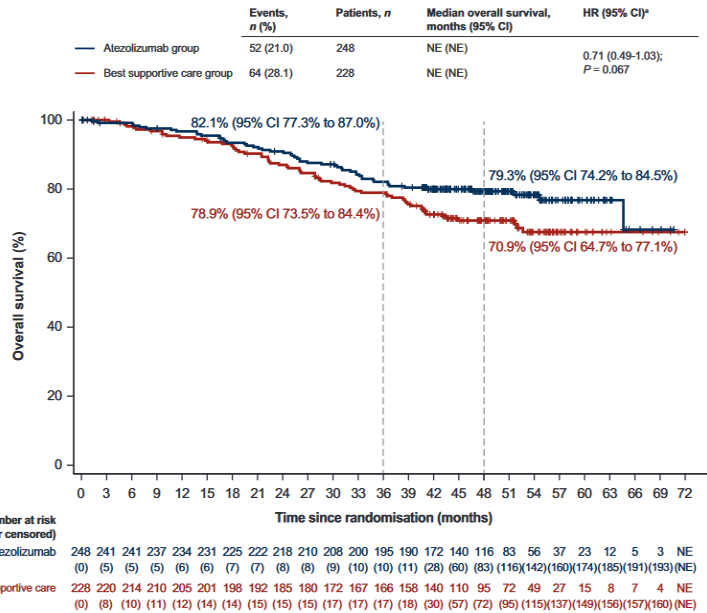
Genel Sağkalım

EVRE 2 – 3A
PD-L1 > %1

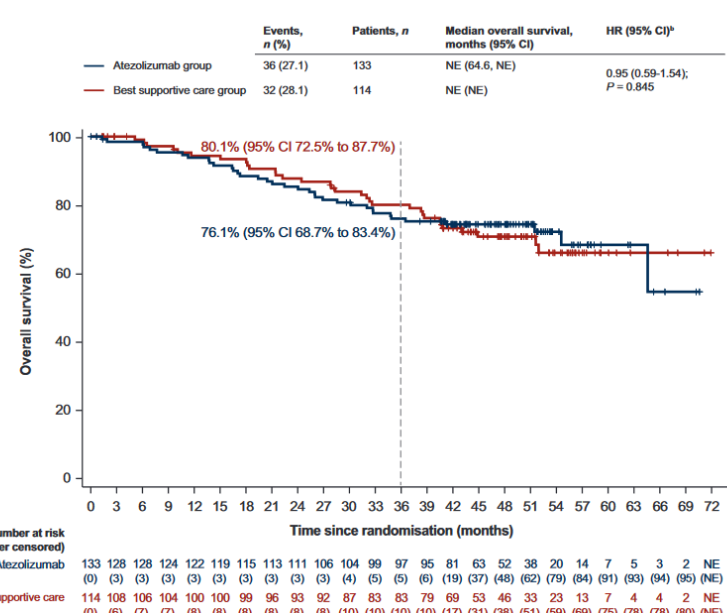
EVRE 2 – 3A
PD-L1 % 1- 49

EVRE 2 – 3A
PD-L1 > % 50

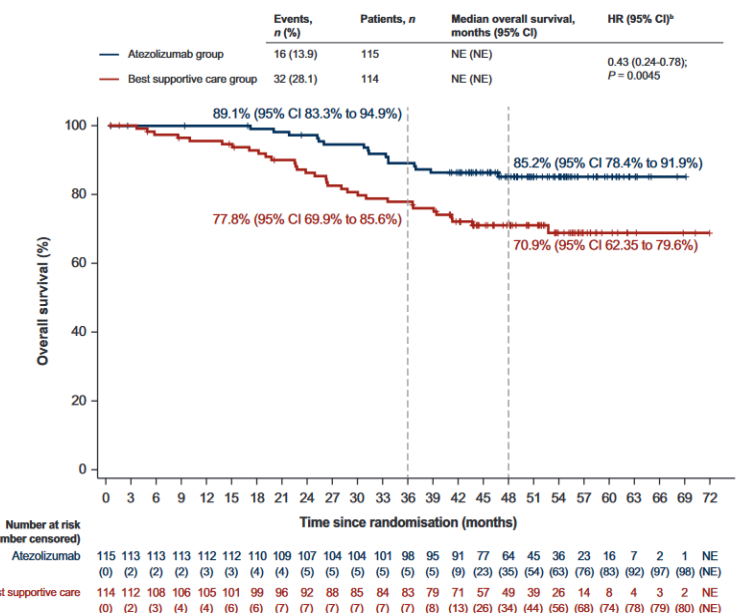
C



F

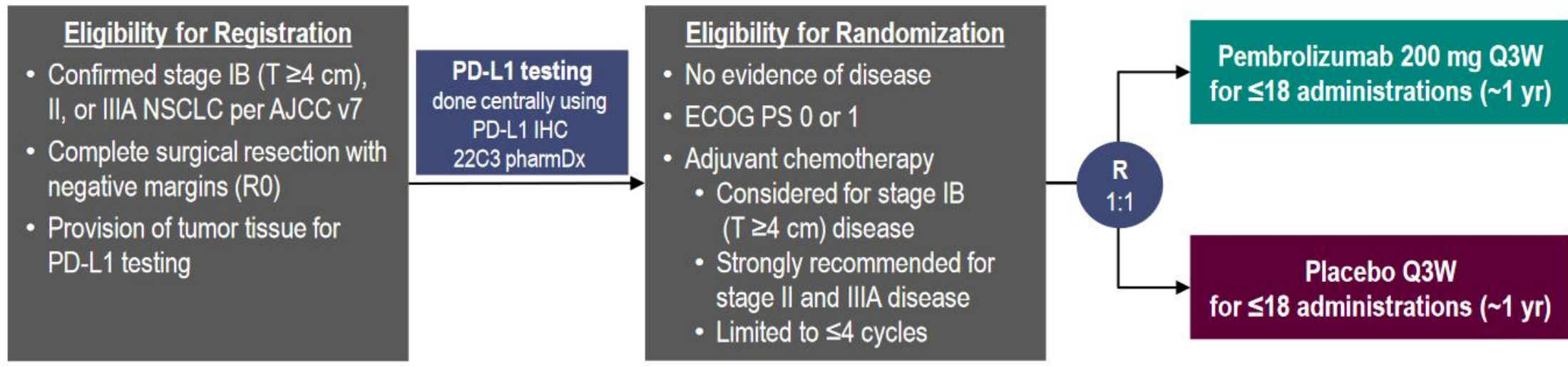


D



PEARLS/KEYNOTE-091 Study Design

Randomized, Triple-Blind, Phase 3 Trial



Stratification Factors

- Disease stage (IB vs II vs IIIA)
- PD-L1 TPS (<1% vs 1-49% vs $\geq 50\%$)
- Receipt of adjuvant chemotherapy (yes vs no)
- Geographic region (Asia vs Eastern Europe vs Western Europe vs rest of world)

Dual Primary End Points

- DFS in the overall population
- DFS in the PD-L1 TPS $\geq 50\%$ population

Secondary End Points

- DFS in the PD-L1 TPS $\geq 1\%$ population
- OS in the overall, PD-L1 TPS $\geq 50\%$, and PD-L1 TPS $\geq 1\%$ populations
- Lung cancer-specific survival in the overall population
- Safety

Baseline Characteristics, Overall Population

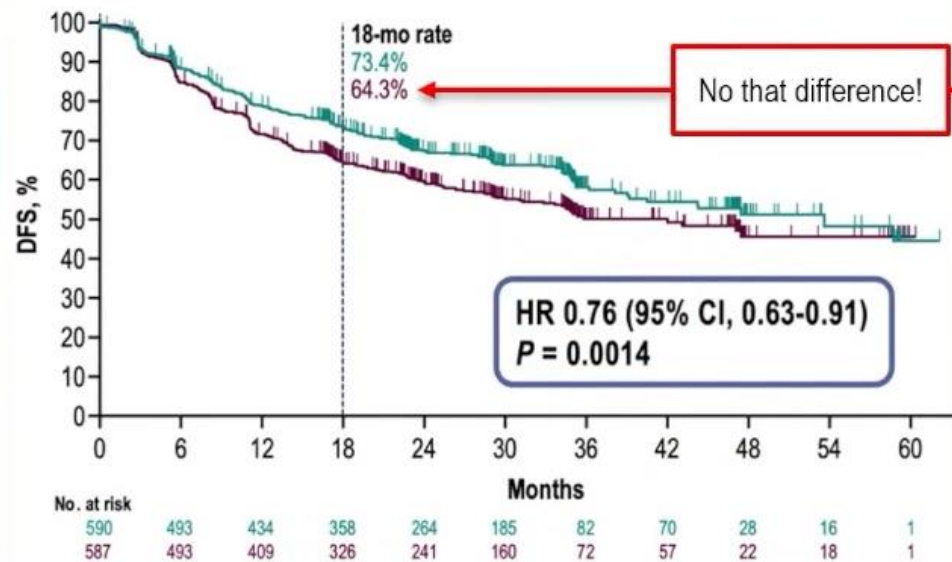
	Pembrolizumab (N = 590)	Placebo (N = 587)		Pembrolizumab (N = 590)	Placebo (N = 587)
Age, median (range)	65 y (31-87)	65 y (37-85)	Nonsquamous histology	398 (67.5%)	363 (61.8%)
Male	401 (68.0%)	403 (68.7%)	Pathologic stage ^c		
Geographic region			IB	84 (14.2%)	85 (14.5%)
Asia	106 (18.0%)	105 (17.9%)	II	329 (55.8%)	338 (57.6%)
Eastern Europe	116 (19.7%)	113 (19.3%)	IIIA	177 (30.0%)	162 (27.6%)
Western Europe	303 (51.4%)	301 (51.3%)	Received adjuvant chemotherapy		
Rest of world	65 (11.0%)	68 (11.6%)	Yes	506 (85.8%)	504 (85.9%)
ECOG PS 1	210 (35.6%)	244 (41.6%)	No	84 (14.2%)	83 (14.1%)
Current/former smoker	503 (85.3%)	521 (88.8%)	PD-L1 TPS		
EGFR mutation ^a	39 (6.6%)	34 (5.8%)	<1%	233 (39.5%)	232 (39.5%)
ALK translocation ^b	7 (1.2%)	7 (1.2%)	1-49%	189 (32.0%)	190 (32.4%)
			≥50%	168 (28.5%)	165 (28.1%)

^a EGFR status unknown for 333 (56.4%) in pembro arm and 337 (57.4%) in placebo arm.

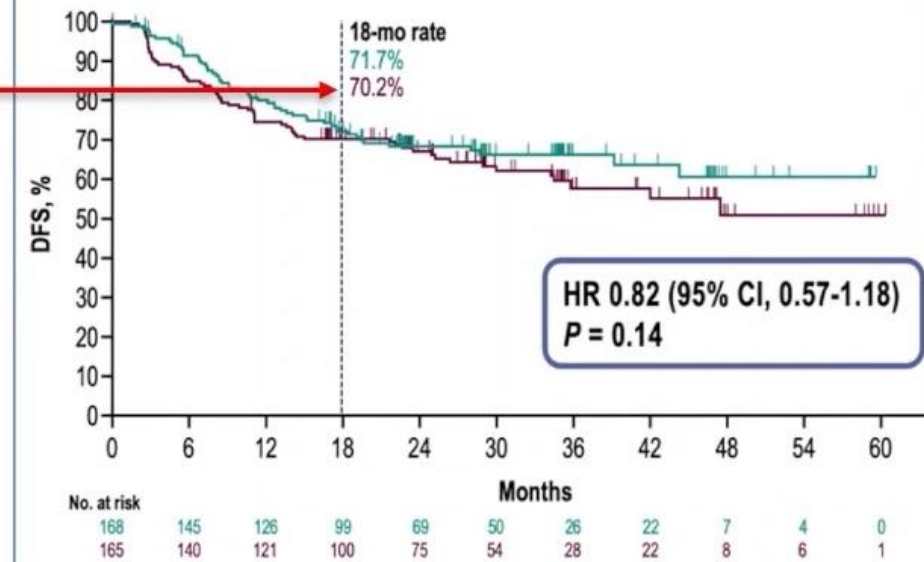
^b ALK status unknown for 357 (60.5%) in pembro arm and 390 (66.4%) in placebo arm.

^c 2 (0.3%) participants in the placebo group had stage IV disease.

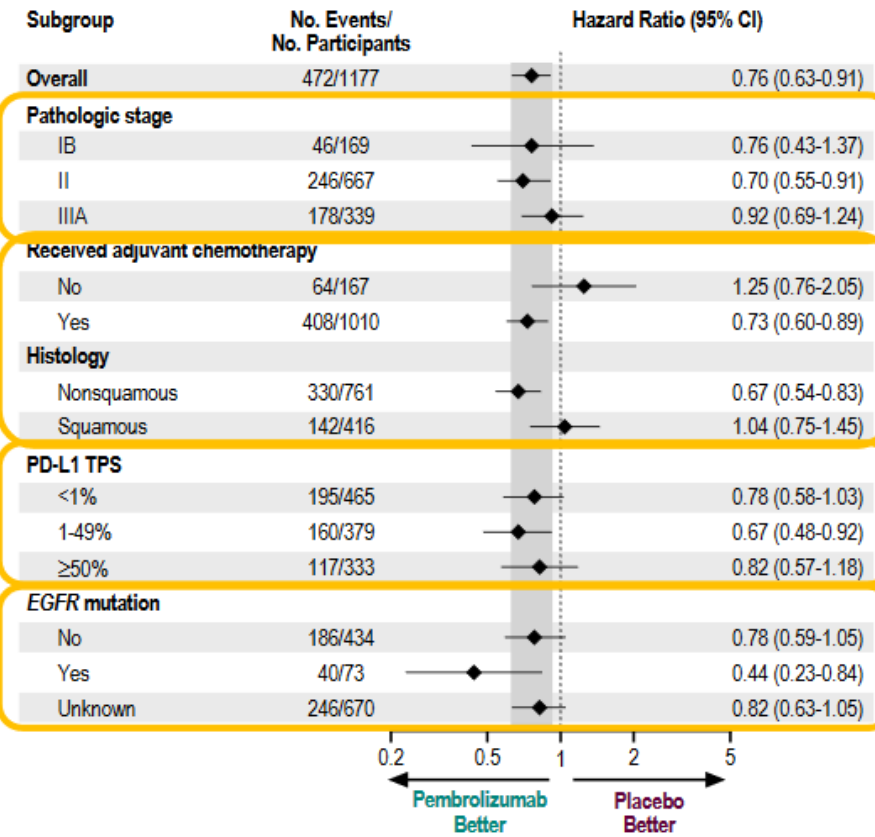
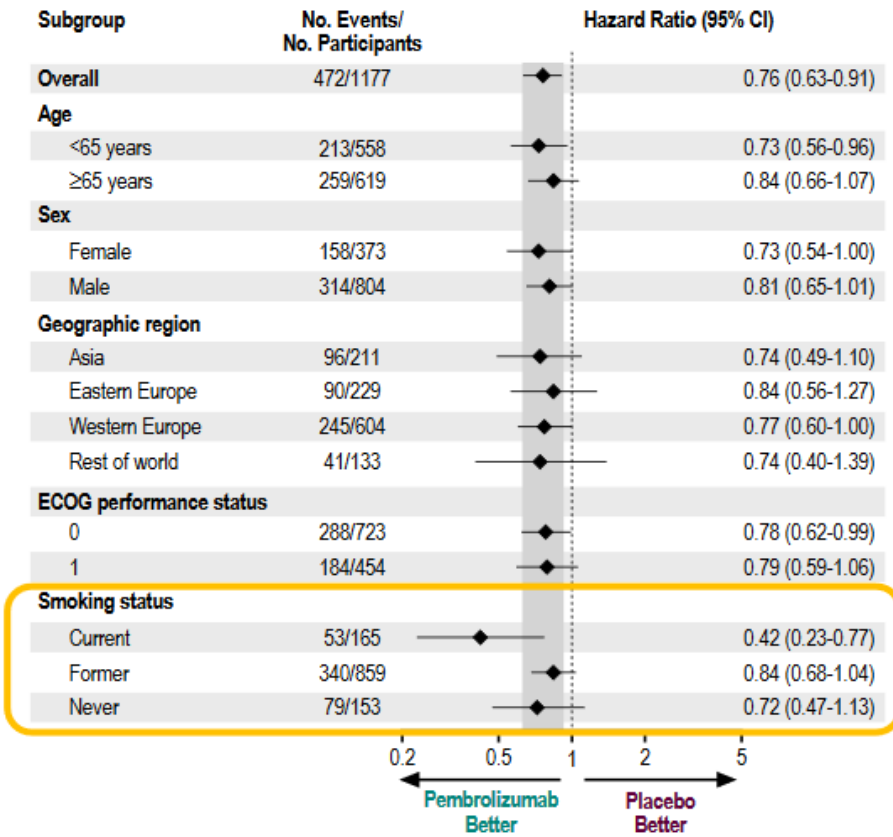
DFS, Overall Population



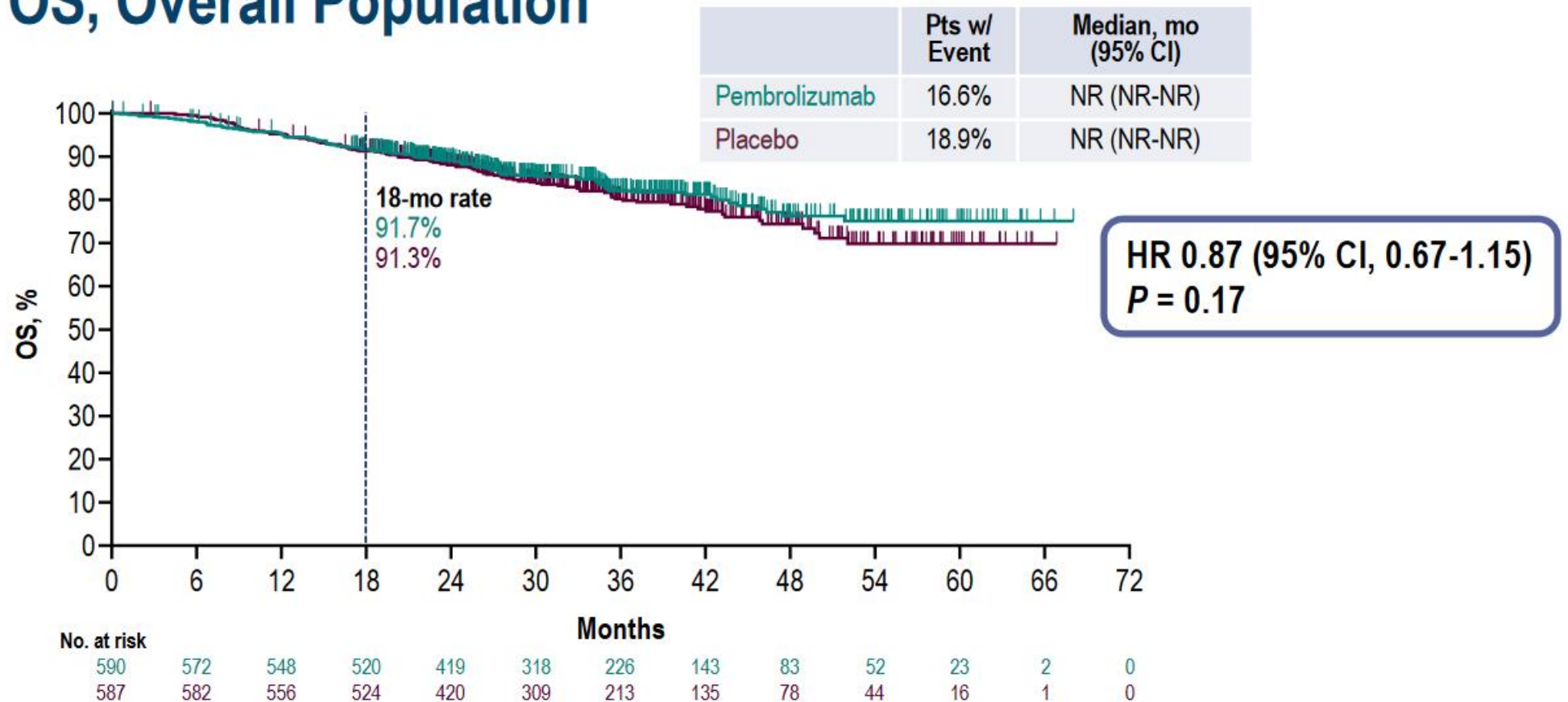
DFS, PD-L1 TPS $\geq 50\%$ Population



DFS in Key Subgroups, Overall Population



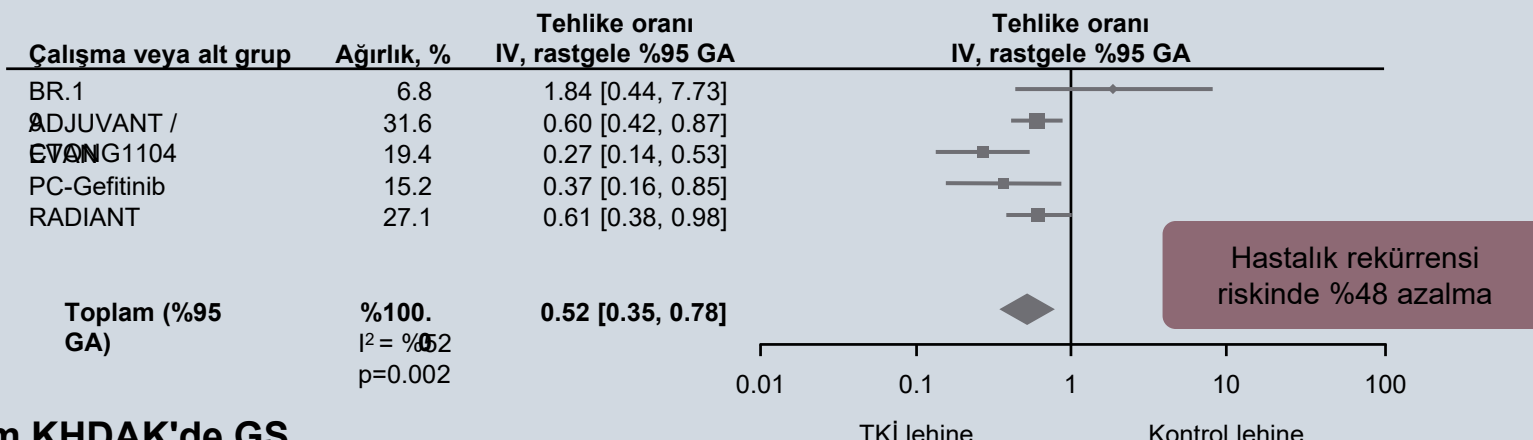
OS, Overall Population



EGFRm KHDAK'de Adjuvan EGFR-TKİ'ler için Randomize Çalışmalardan Elde Edilen Güncel Kanıtlar: Daha İyi DFS, Ancak Şimdiye Kadar GS Yararı Yok

6 randomize çalışmanın meta analizi (n=1860; EGFRm ile n=599)

EGFRm KHDAK'de DFS



EGFRm KHDAK'de GS

HR 0.64 (%95 GA 0.22, 1.89)

Hastalık rekürrensi riskinde azalma, adjuvan EGFR-TKİ tedavisinin zamanlaması/sıralamasına göre farklılık göstermiştir:

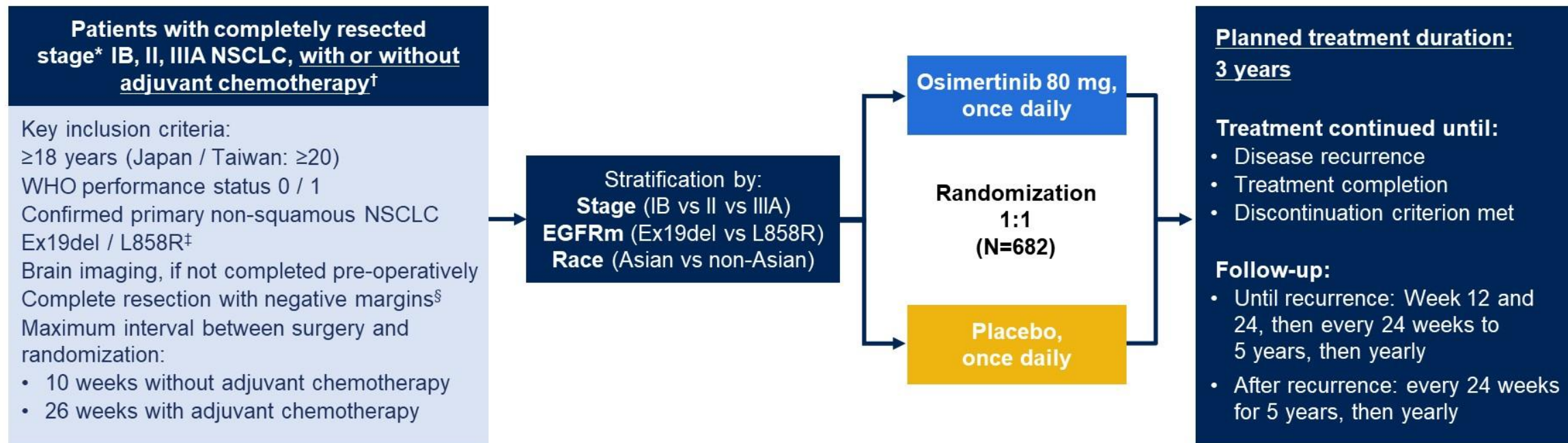
- Kemoterapiye kıyasla adjuvan EGFR-TKİ: %57
- Adjuvan kemoterapi sonrası (verilmişse) EGFR-TKİ: %38

GS verileri olgunlaşmamıştır ve daha uzun süreli takip gereklidir.

GA = güven aralığı; DFS = hastalıksız sağkalım; EGFRm = epidermal büyümeye faktörü reseptörü mutasyonu pozitif; EGFR-TKİ = epidermal büyümeye faktörü reseptörü tirozin kinaz inhibitörü; HR = tehlike oranı; KHDAK = küçük hücreli diş akciğer kanseri; GS = genel sağkalım.

Raphael J et al. Am J Clin Oncol. 2019;42:440-445.

ADAURA Phase III study design



Endpoints

- Primary endpoint:** DFS by investigator assessment in stage II–IIIA patients
- Key secondary endpoints:** DFS in the overall population (stage IB–IIIA), landmark DFS rates, OS, safety, health-related quality of life

*At the time of recruitment, staging was determined by the AJCC / UICC Staging Manual 7th edition. Patients with stage IB disease were not eligible in Japan. †Pre-operative, post-operative, or planned radiotherapy was not allowed.

‡Centrally confirmed in tissue. §Patients received a CT scan after resection and within 28 days prior to treatment.

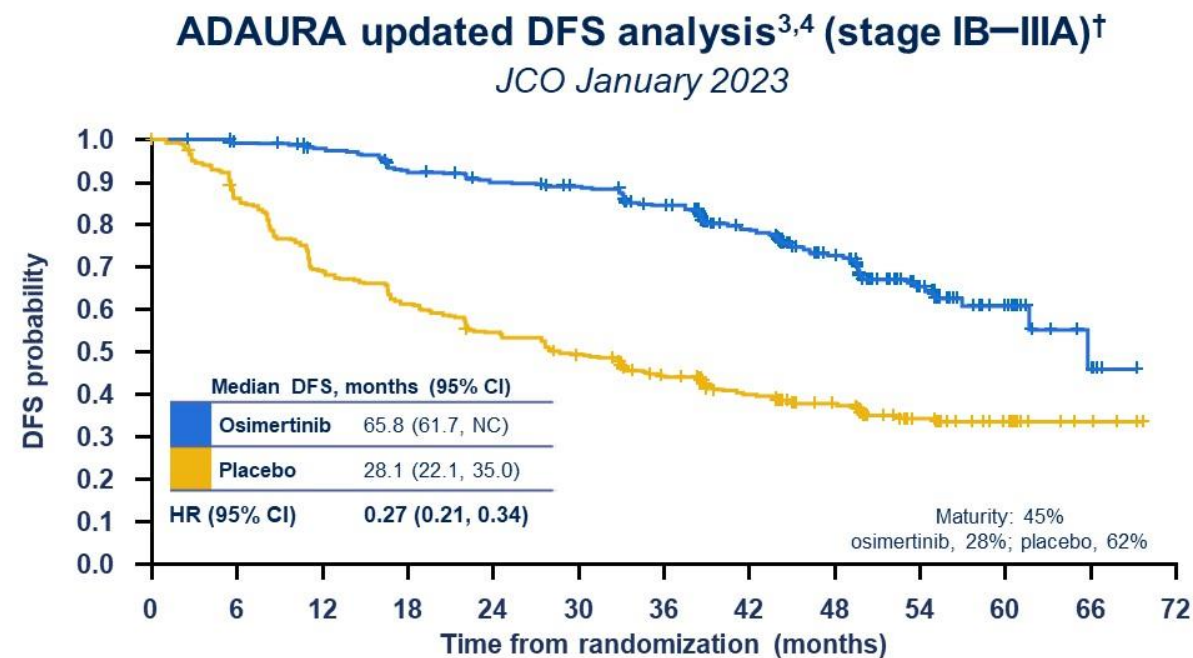
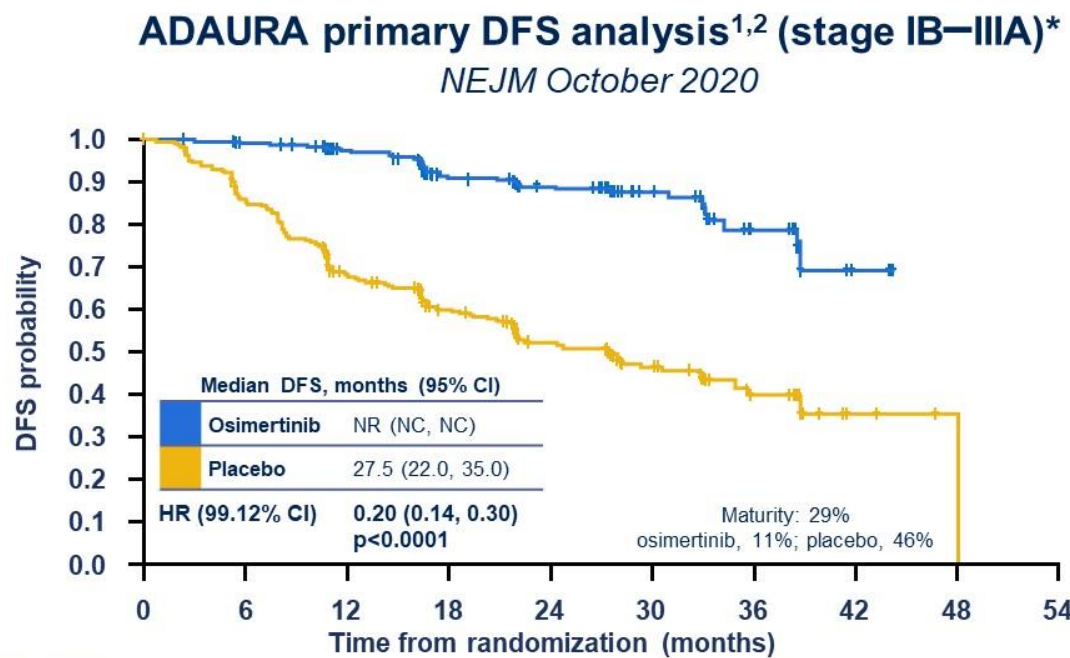
Baseline characteristics: overall population (stage IB / II / IIIA)¹

Characteristics, %	Osimertinib (n=339)	Placebo (n=343)
Sex: male / female	32 / 68	28 / 72
Age: median (range), years	64 (30–86)	62 (31–82)
Smoking history: [*] yes / no	32 / 68	25 / 75
Race: Asian / non-Asian	64 / 36	64 / 36
WHO PS: 0 / 1	64 / 36	64 / 36
AJCC / UICC staging at diagnosis (7th edition): IB / II / IIIA	32 / 34 / 35	32 / 34 / 34
Histology: adenocarcinoma / other	96 / 4	97 / 3
EGFR mutation at randomization: [†] Ex19del / L858R	55 / 45	55 / 45
Adjuvant chemotherapy: yes / no	60 / 40	60 / 40

only 26% of patients with stage IB disease received chemotherapy compared with 71% with stage II disease and 80% with stage IIIA disease.

Adjuvant osimertinib has significantly improved DFS

- Adjuvant osimertinib demonstrated highly statistically significant^{1,2} and clinically meaningful improvement in DFS in completely resected EGFRm NSCLC vs placebo in both the primary (stage II–IIIA) and overall (IB–IIIA) populations, along with a tolerable safety profile^{1–4}



*Data cut-off: January 17, 2020. †Data cut-off: April 11, 2022.

1. Wu et al. N Engl J Med 2020;383:1711–1723; 2. Herbst et al. J Clin Oncol 2020;38(Suppl 18): abstract / oral LBA5; 3. Herbst et al. J Clin Oncol 2023;41:1830–1840; 4. Tsuboi et al. Ann Oncol 2022;33(Suppl 7): abstract / oral LBA47.

Adjuvant osimertinib has significantly improved CNS DFS

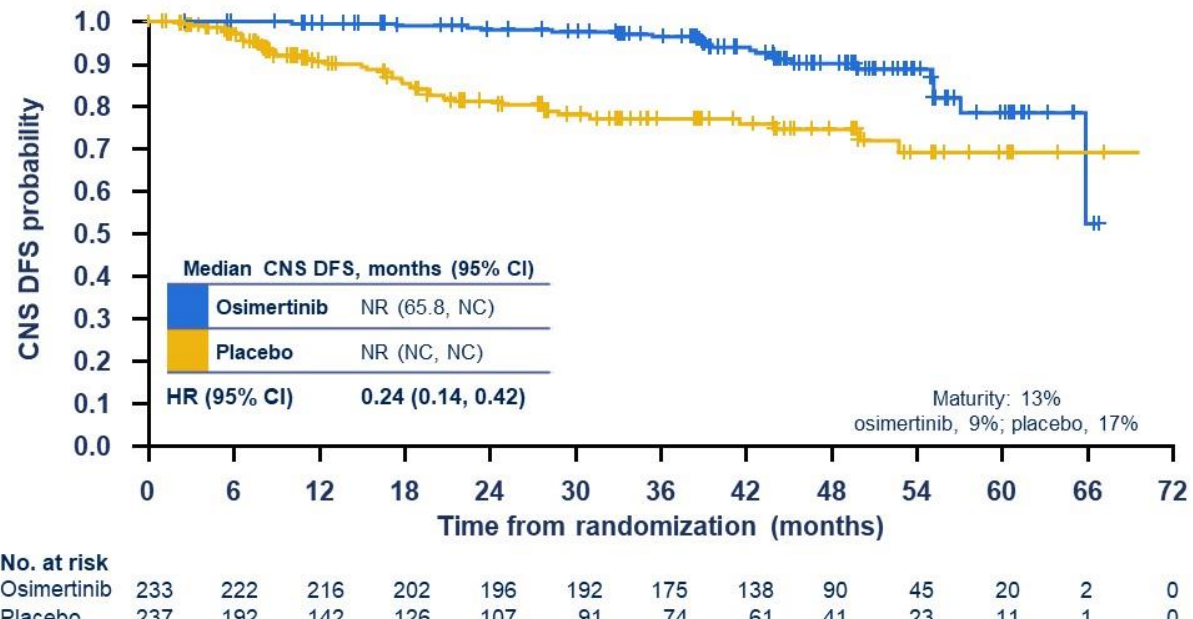
- CNS metastases are a poor prognostic factor among patients with NSCLC, and are associated with deterioration in quality of life¹

Improved CNS efficacy with osimertinib treatment



- Osimertinib has shown greater penetration of the blood-brain barrier and higher exposure in the brain compared with other EGFR-TKIs^{2–4}
- Adjuvant osimertinib demonstrated CNS DFS* benefit vs placebo in both the stage II–IIIA and IB–IIIA populations^{5,6}

ADAURA updated CNS DFS analysis^{5,6} (stage II–IIIA) JCO January 2023



1. Peters et al. Cancer Treat Rev 2016;45:139–162; 2. Colclough et al. Eur J Cancer 2016;69:S28; 3. Ballard et al. Clin Cancer Res 2016;22:5130–5140; 4. Vishwanathan et al. Cancer Res 2018;78:CT013; 5. Herbst et al. J Clin Oncol 2023;41:1830–1840; 6. Tsuboi et al. Ann Oncol 2022;33(Suppl 7): abstract LBA47.

Data cut-off: April 11, 2022.

2023 ASCO
ANNUAL MEETING

#ASCO23

PRESENTED BY: Roy S. Herbst

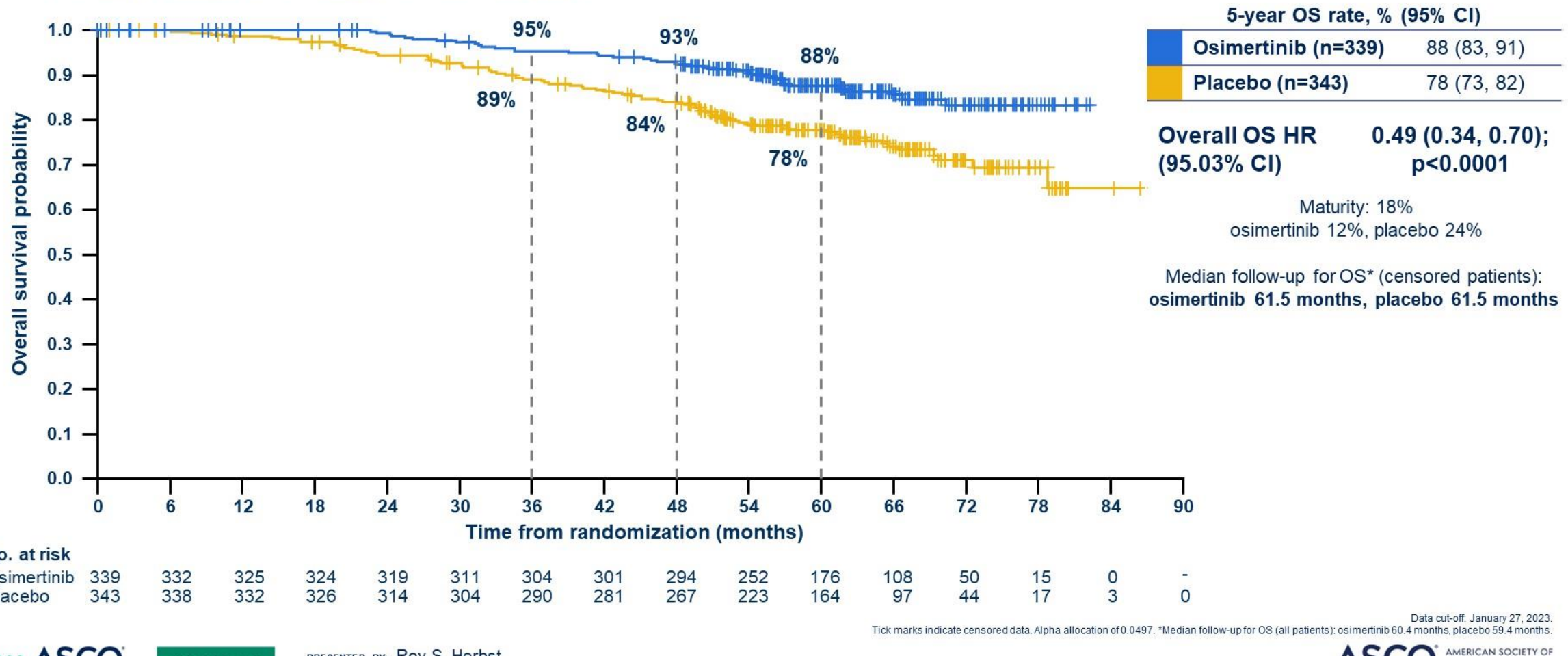
Presentation is property of the author and ASCO. Permission required for reuse; contact permissions@asco.org

CI, confidence interval; CNS, central nervous system; DFS, disease-free survival;
EGFR, epidermal growth factor receptor; EGFRm, EGFR-mutated;
EGFR-TKI, EGFR-tyrosine kinase inhibitor; HR, hazard ratio;
NC, not calculable; NR, not reached; NSCLC, non-small cell lung cancer

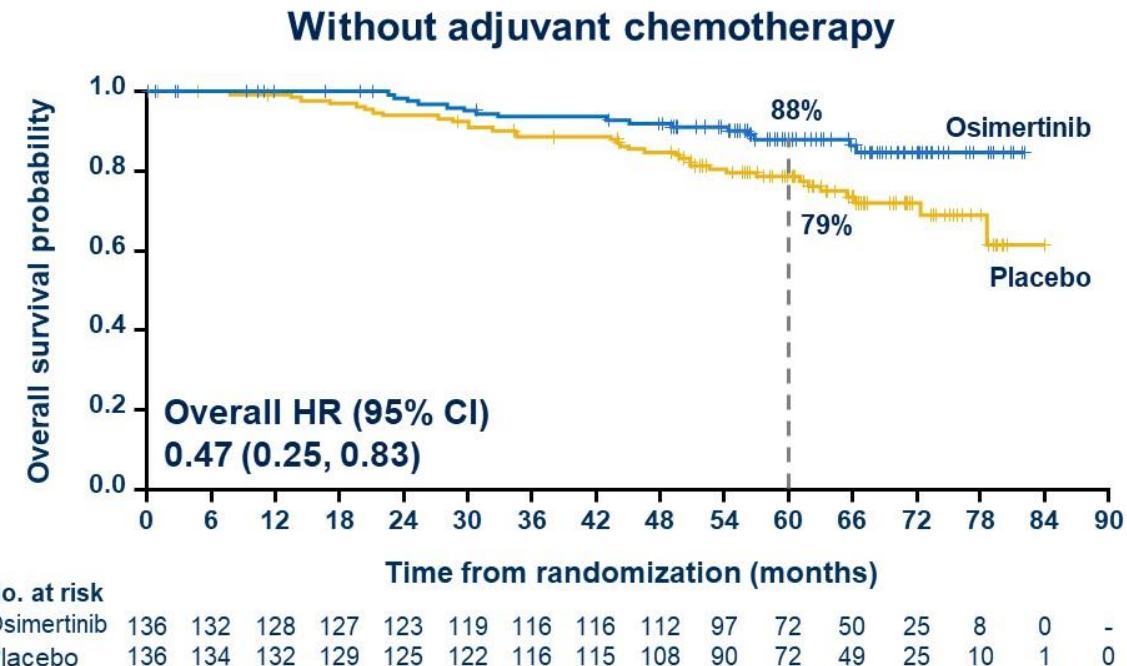
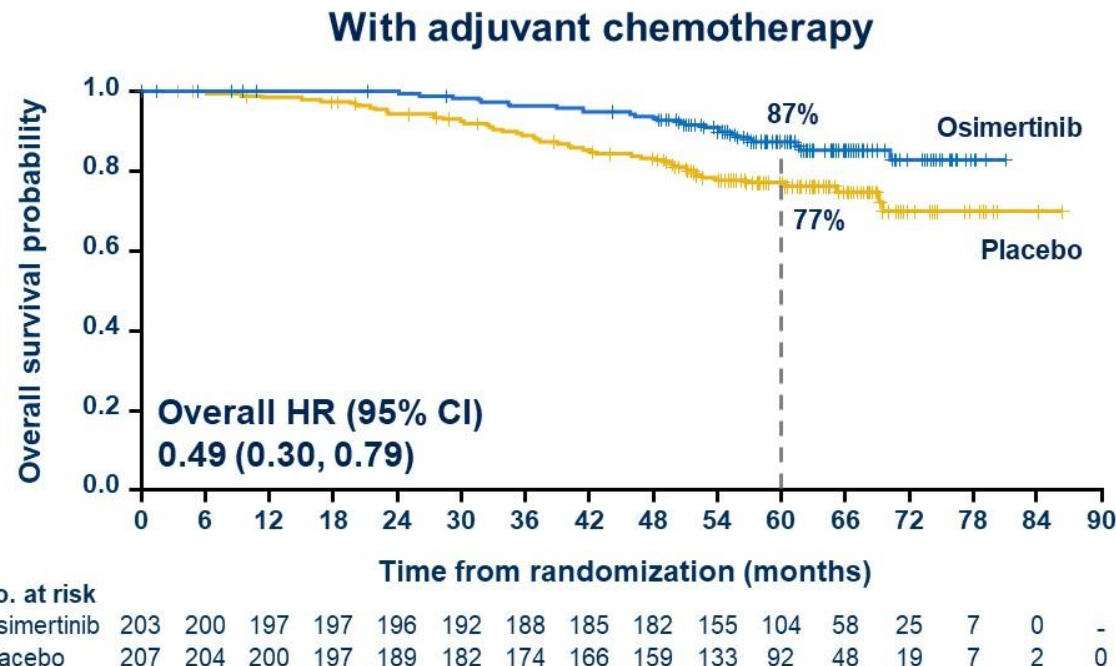
AMERICAN SOCIETY OF
CLINICAL ONCOLOGY
ASCO
KNOWLEDGE CONQUERS CANCER

Overall survival: patients with stage IB / II / IIIA disease

- Adjuvant osimertinib demonstrated a statistically and clinically significant improvement in OS vs placebo in the overall population of stage IB–IIIA disease



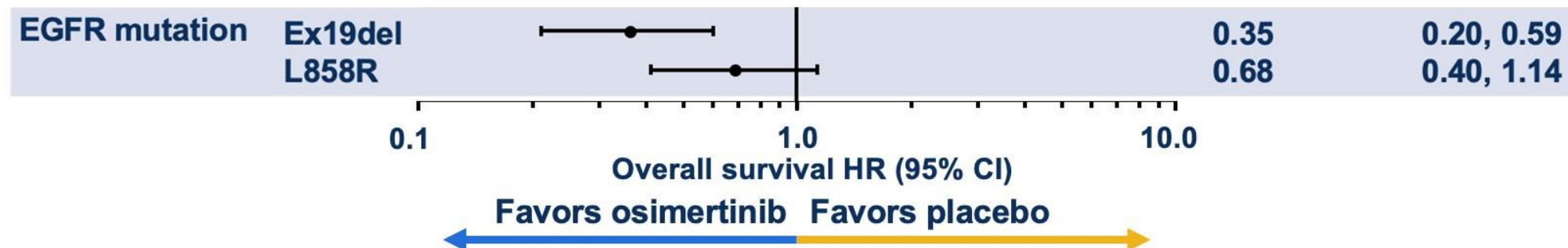
OS in patients with and without adjuvant chemotherapy: patients with stage IB / II / IIIA disease



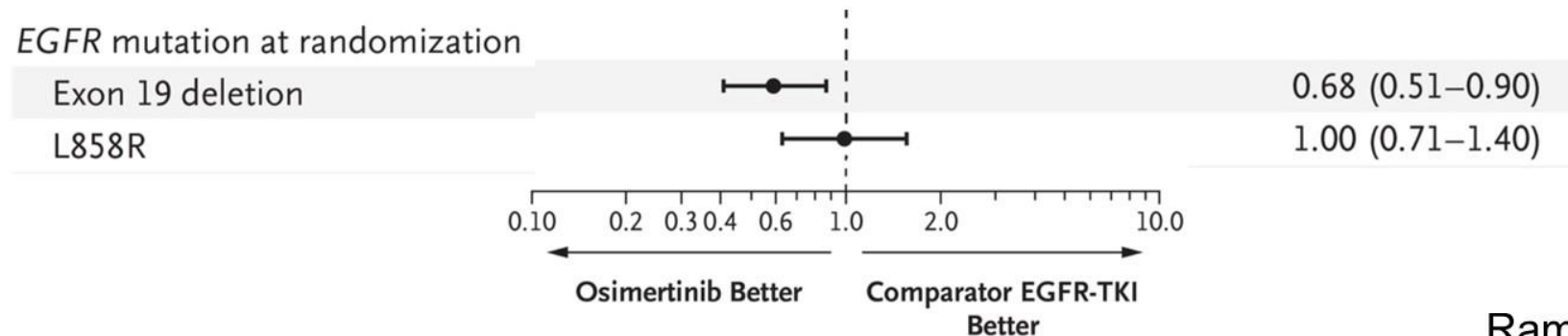
Data cut-off: January 27, 2023.
Overall population: stage IB / II / IIIA. Tick marks indicate censored data.
Use of adjuvant chemotherapy before randomization was allowed but not mandatory; decided by the physician and patient before enrollment.

Benefit in *EGFR* Exon 19del vs L858R mutations

ADAURA – overall survival

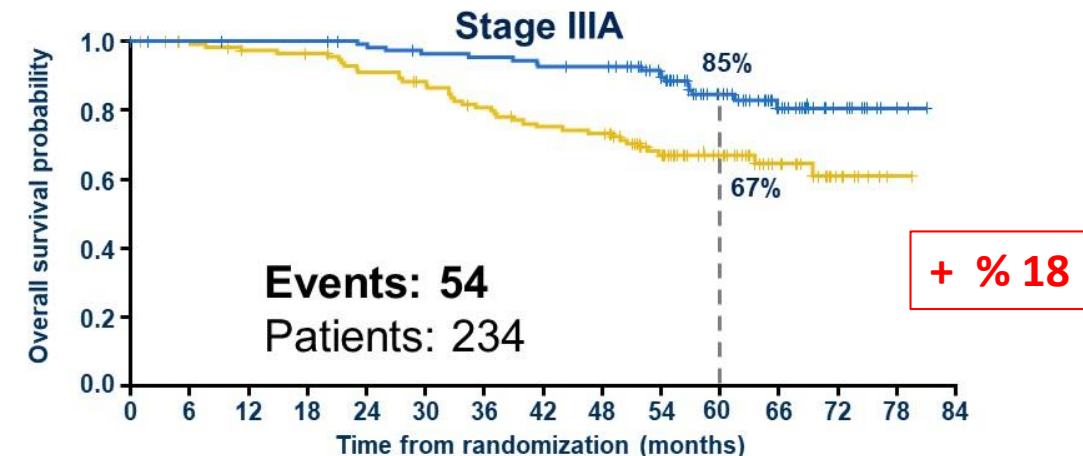
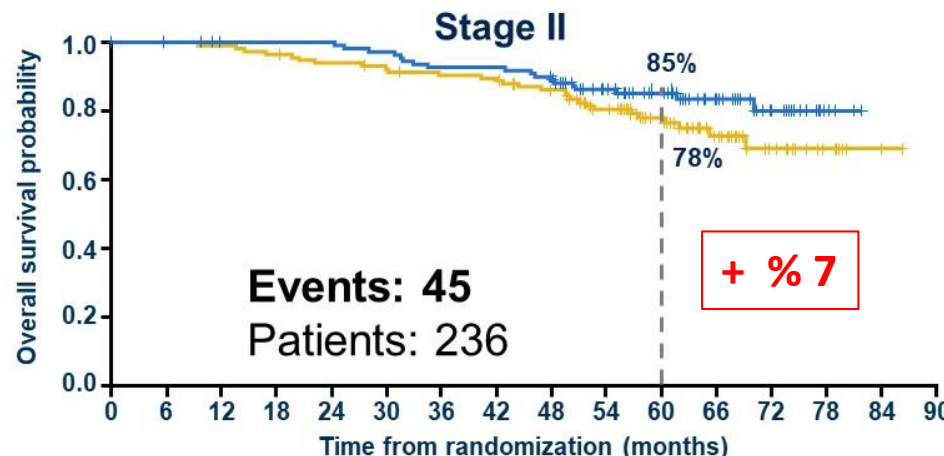
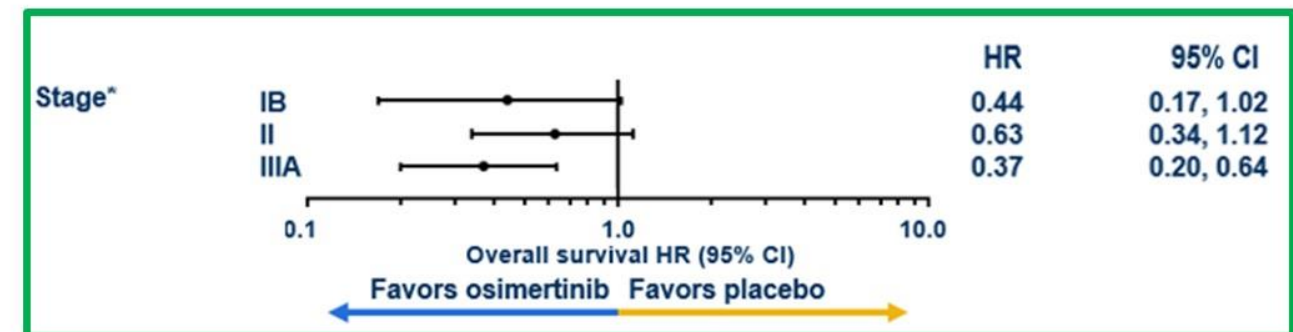
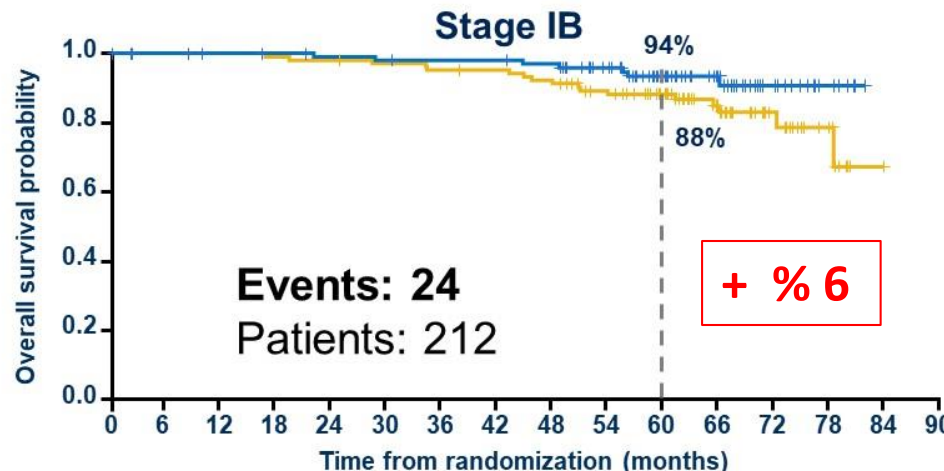


FLAURA Overall Survival – Firstline Osimertinib vs Gefitinib or Erlotinib in Advanced Disease

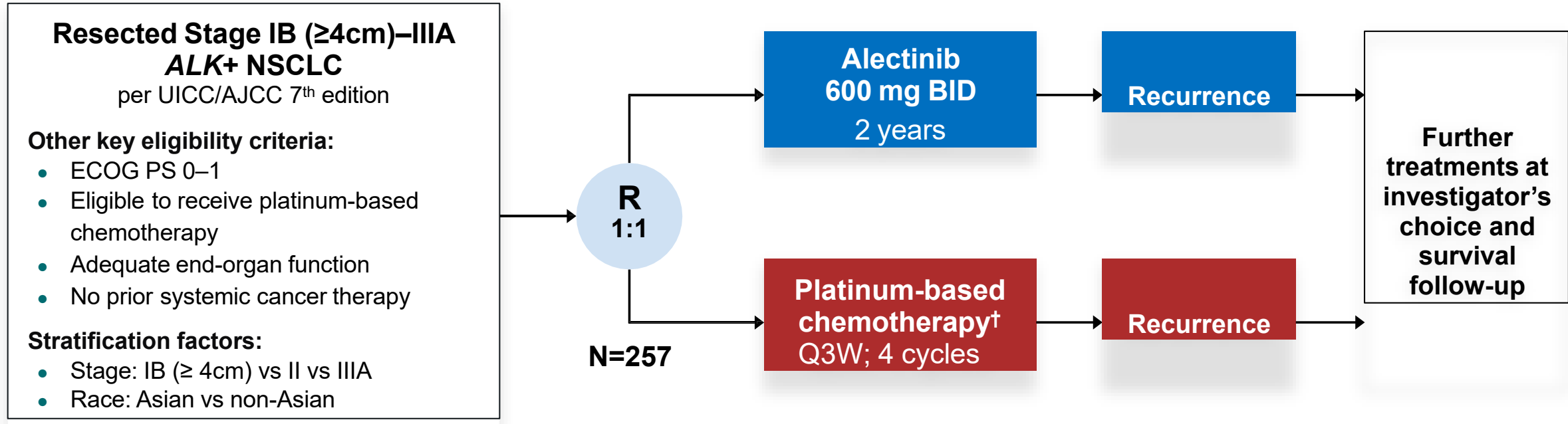


Ramalingam NEJM 2020

Benefit seen across stages



ALINA study design*



Primary endpoint

- DFS per investigator,[‡] tested hierarchically:
 - Stage II–IIIA → ITT (Stage IB–IIIA)

Other endpoints

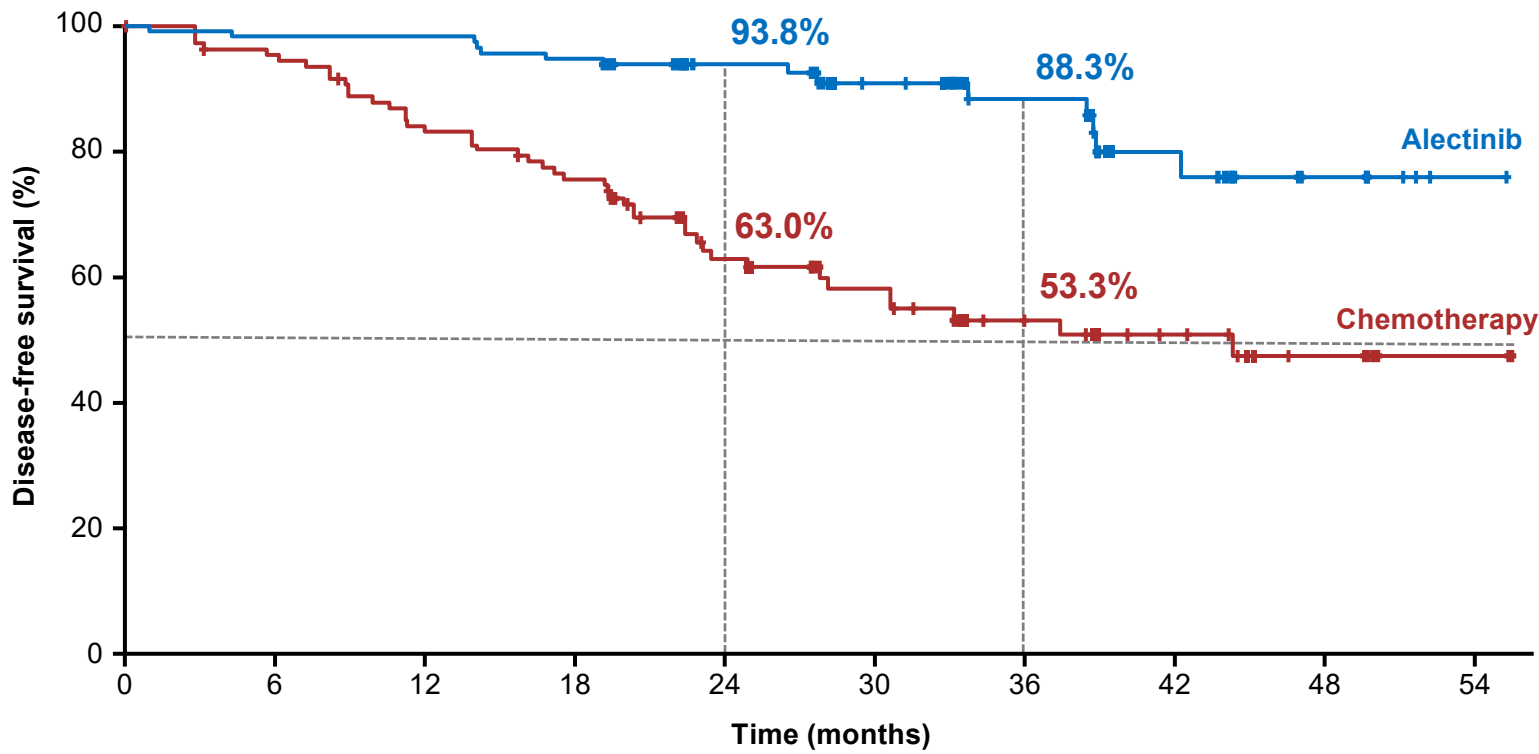
- CNS disease-free survival
- OS
- Safety

Disease assessments (including brain MRI)[§] were conducted: at baseline, every 12 weeks for year 1–2, every 24 weeks for year 3–5, then annually

Patient demographics and baseline characteristics (ITT)

Characteristic	Alectinib (n=130)	Chemotherapy (n=127)
Median age <65 / ≥65 years, %	54 years 79 / 21	57 years 73 / 27
Sex: female / male, %	58 / 42	46 / 54
Smoking status: never / former / current, %	65 / 32 / 4	55 / 43 / 2
Race: Asian / non-Asian, %	55 / 45	56 / 44
ECOG PS: 0 / 1, %	55 / 45	51 / 49
Stage at diagnosis* : IB / II / IIIA, %	11 / 36 / 53	9 / 35 / 55
Nodal status: N0 / N1 / N2, %	16 / 35 / 49	14 / 34 / 52
Histology: squamous / non-squamous, %	5 / 95	2 / 98
Surgical procedure: Lobectomy / Other‡, %	97 / 3	92 / 8

Disease-free survival: stage II-III A*

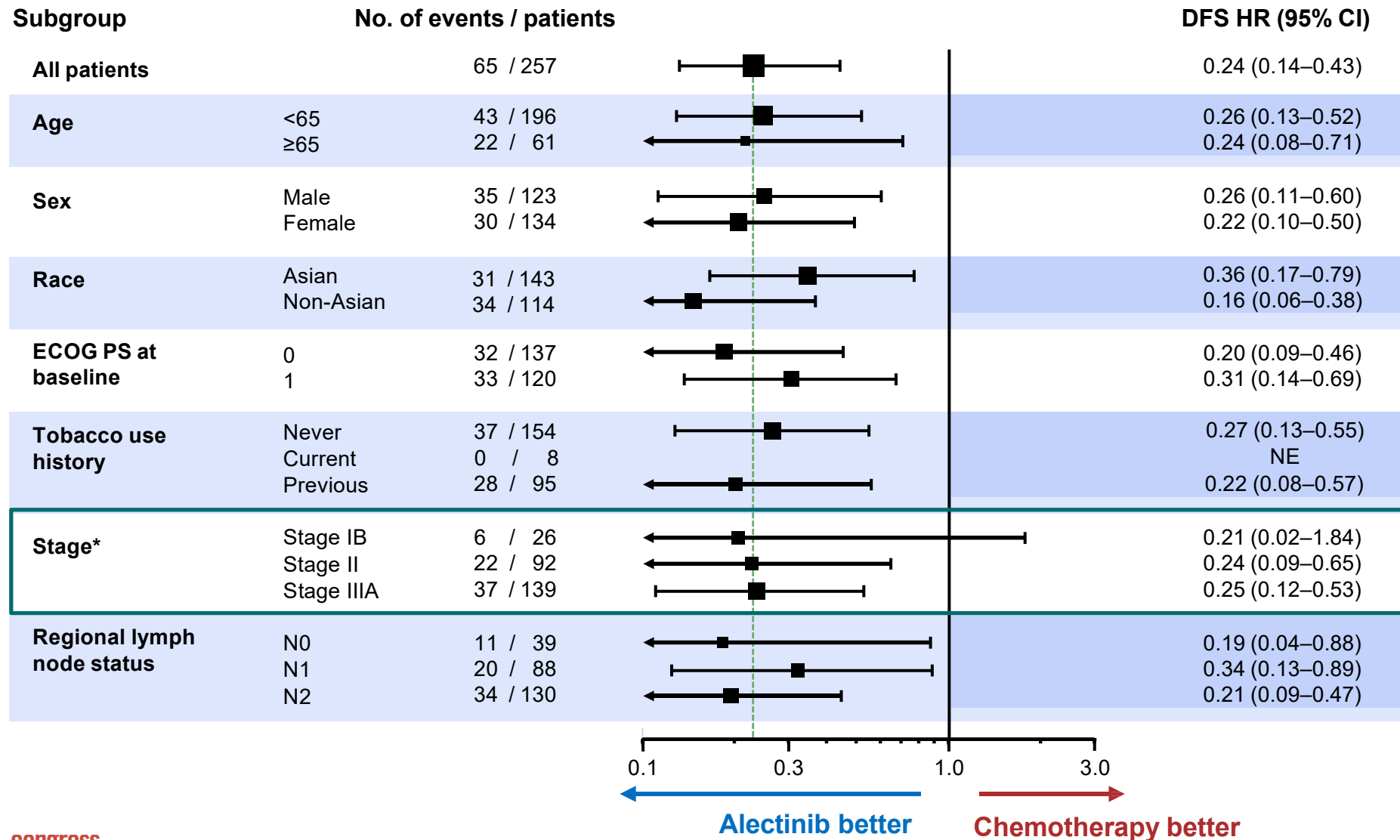


	Alectinib (N=116)	Chemotherapy (N=115)
Patients with event		
Death	14 (12%)	45 (39%)
Recurrence	0	14
Median DFS, months (95% CI)	Not reached	44.4 (27.8, NE)
DFS HR (95% CI)	0.24 (0.13, 0.45)	$p^t < 0.0001$

No. at risk										
Alectinib	116	111	111	107	67	49	35	21	10	3
Chemo	115	102	88	79	48	35	23	17	10	2

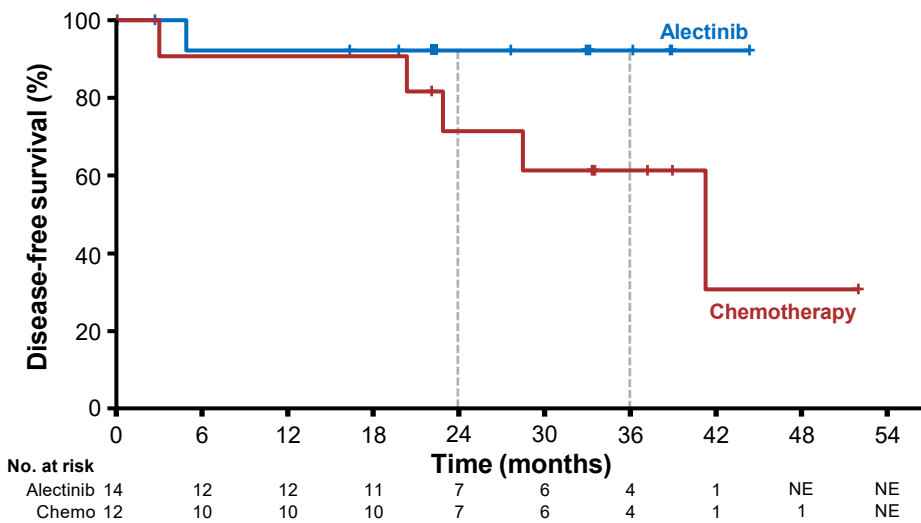
Median survival follow up: alectinib, 27.9 months; chemotherapy, 27.8 months

Disease-free survival subgroup analysis (ITT)

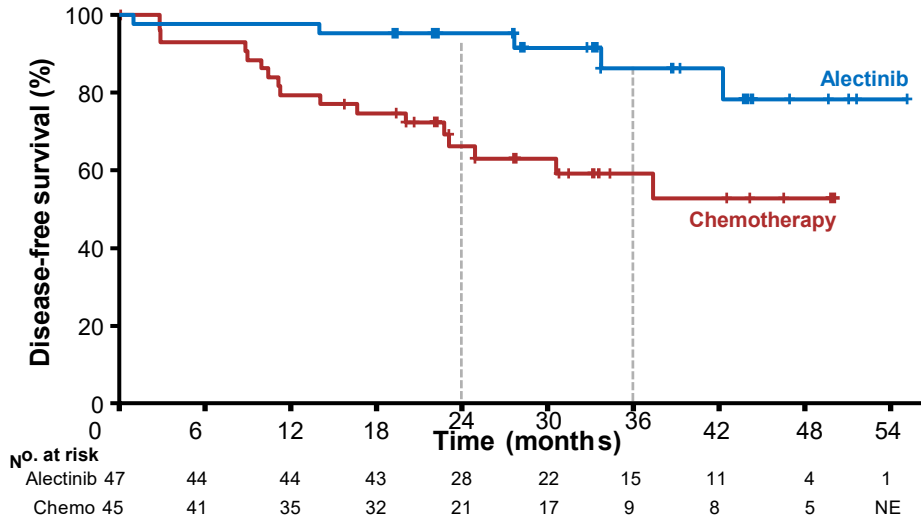


Disease-free survival by stage*

Stage IB



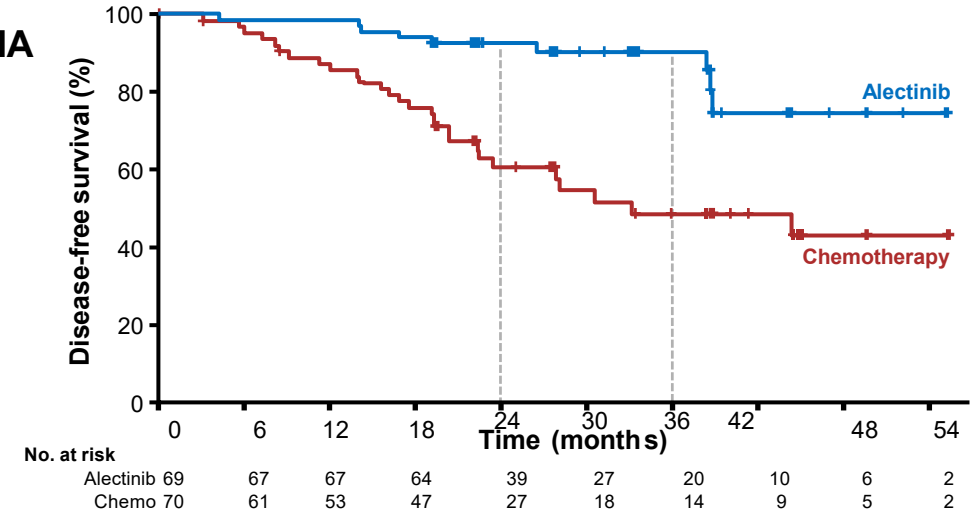
Stage II



2-year DFS rate, %
(95% CI)

	Stage IB (n=26)	Stage II (n=92)	Stage IIIA (n=139)
Alectinib	92.3 (77.8, 100.0)	95.6 (89.5, 100.0)	92.7 (86.4, 98.9)
Chemotherapy	71.6 (44.2, 99.0)	66.3 (51.7, 81.0)	60.7 (47.9, 73.5)
HR[†] (95% CI)	0.21 (0.02, 1.84)	0.24 (0.09, 0.65)	0.25 (0.12, 0.53)

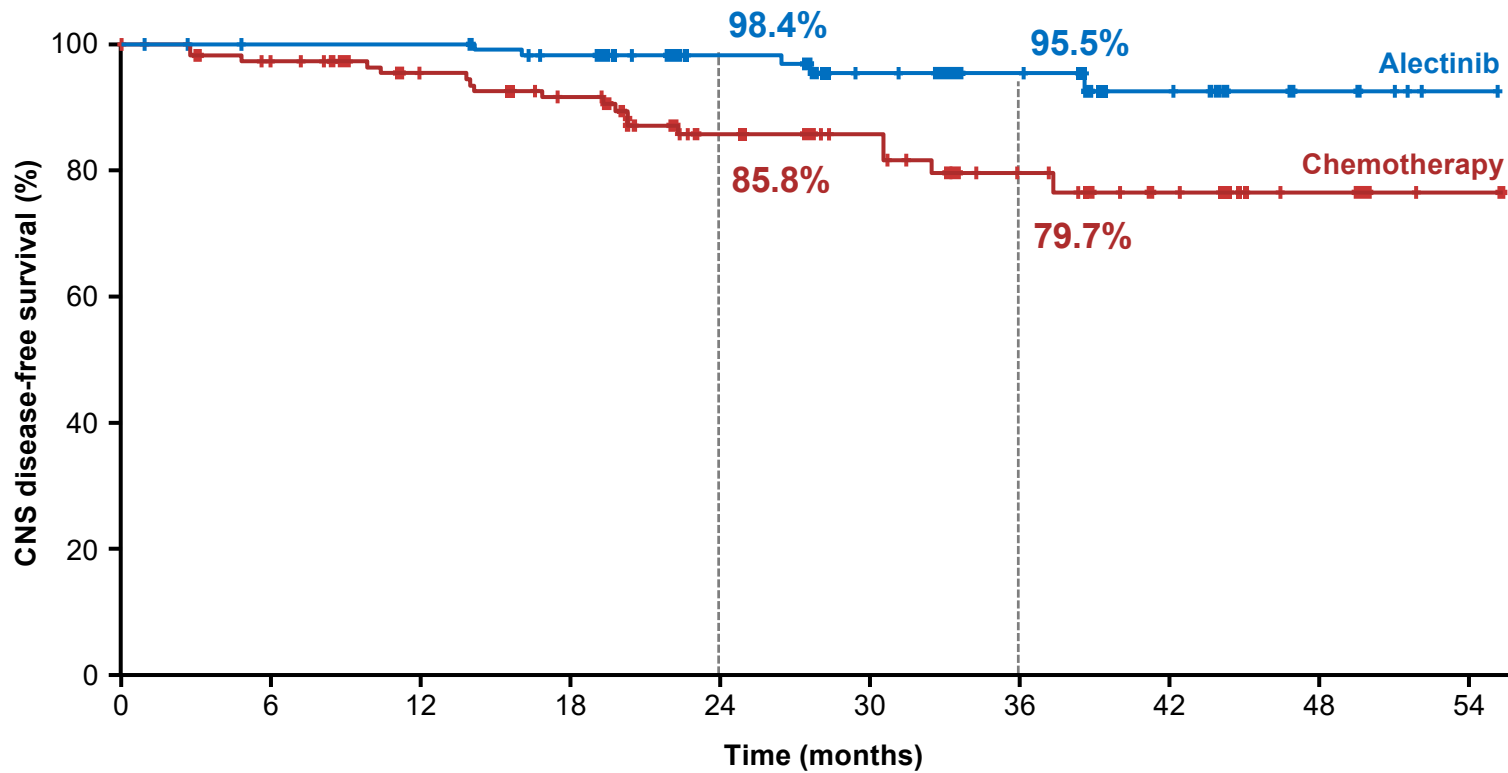
Stage IIIA



Data cut-off: 26 June 2023

*Per UICC/AJCC 7th edition; [†]Unstratified analysis

CNS disease-free survival in the ITT population



	Alectinib (N=130)	Chemotherapy (N=127)
Patients with event	5	18
Death	1	4
Brain recurrence	4	14
CNS-DFS HR* (95% CI)	0.22 (0.08, 0.58)	

No. at risk	0	6	12	18	24	30	36	42	48	54
Alectinib	130	124	124	118	74	55	39	22	10	3
Chemo	127	113	98	90	57	43	27	18	11	2

Median survival follow up: alectinib, 27.8 months; chemotherapy, 28.4 months

Data cut-off: 26 June 2023

*Stratified analysis with race and stage as stratification factors
CNS-DFS defined as time from randomisation to the first documented recurrence of disease in the CNS or death from any cause

Post-recurrence subsequent therapy

Number of patients with disease recurrence, n (%)	Alectinib (n=15)	Chemotherapy (n=49)
Patients with any subsequent therapy	13 (87)	43 (88)
Systemic therapy	13 (87)	38 (78)
ALK TKI	7 (47)	37 (76)
Alectinib	4 (27)	29 (59)
Brigatinib	4 (27)	4 (8)
Crizotinib	0	4 (8)
Lorlatinib	0	2 (4)
Ceritinib	0	1 (2)
Chemotherapy	6 (40)	2 (4)
Immunotherapy	1 (7)	1 (2)
Other anti-cancer therapy	1 (7)	1 (2)
Radiotherapy	5 (33)	9 (18)
Surgery	1 (7)	3 (6)

Data cut-off: 26 June 2023

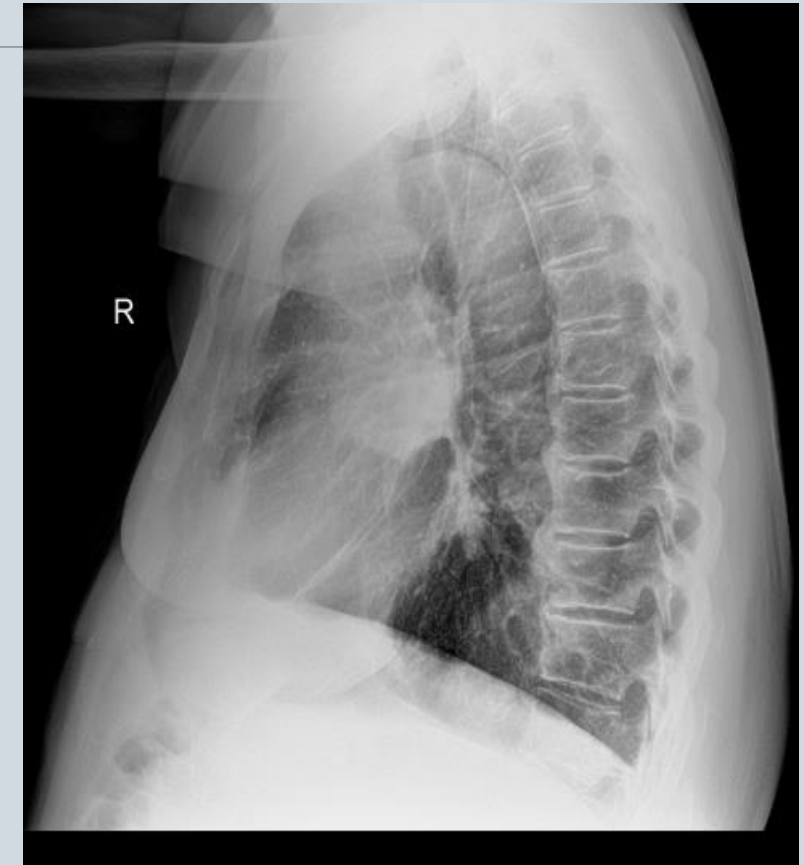
Includes any subsequent therapy reported on or after date of earliest contributing event to disease recurrence;
Patients may have received more than one subsequent anticancer therapy

VAKA 1 : HT, 71 yaş Erkek hasta

Mart 2023

- Kilo kaybı, 1 aydır öksürük
- HT öyküsü
- **FM:** Sağ akciğer orta zonda krepitasyon

- 50 p/y sigara, HT
- **Lab:** Anemi, CRP artışı
- Post obst pnemoni ile yatis



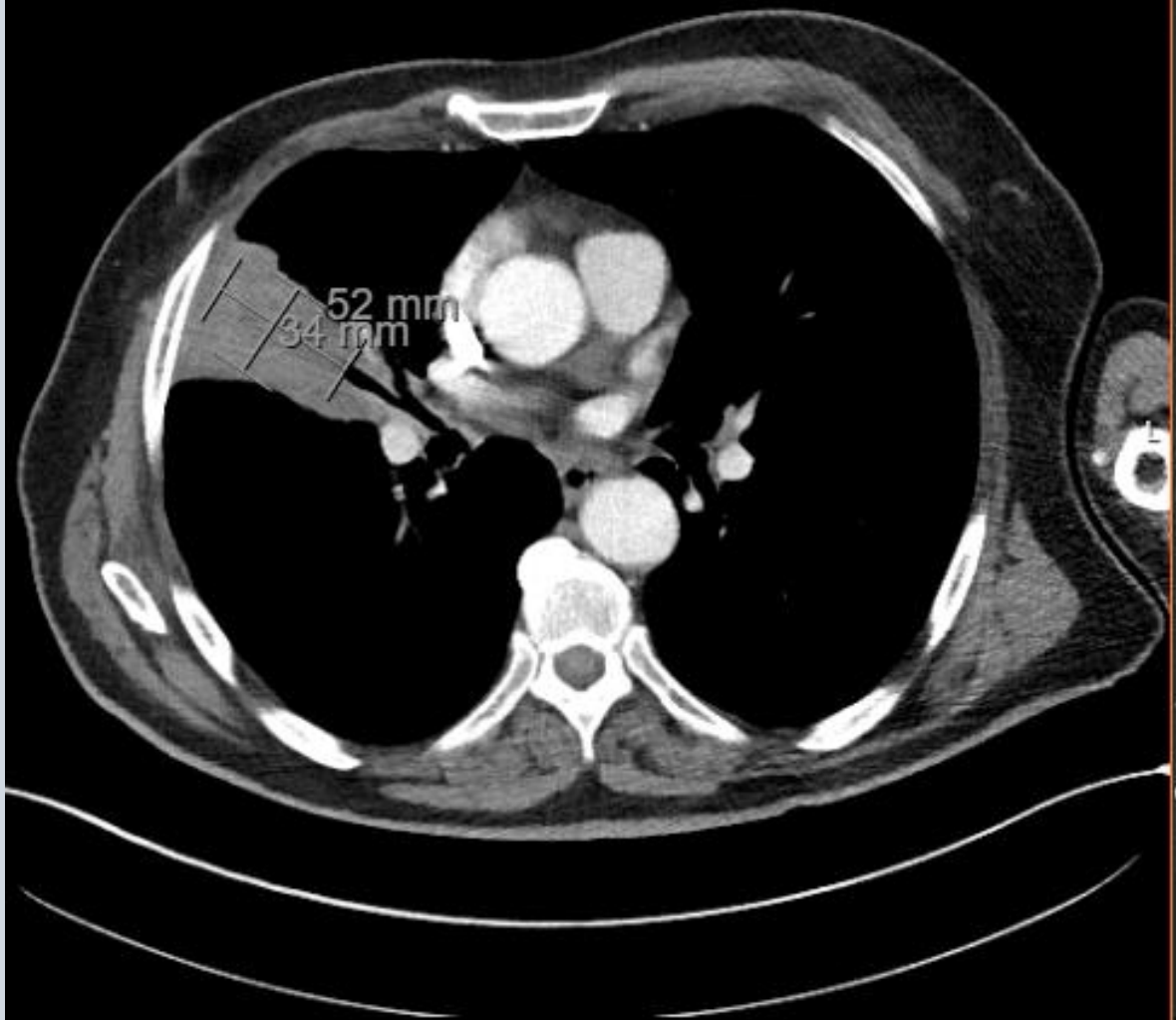


Image no: 58

Toplam 130 görüntünden 58.

3.03.2023, 10:28:09

P

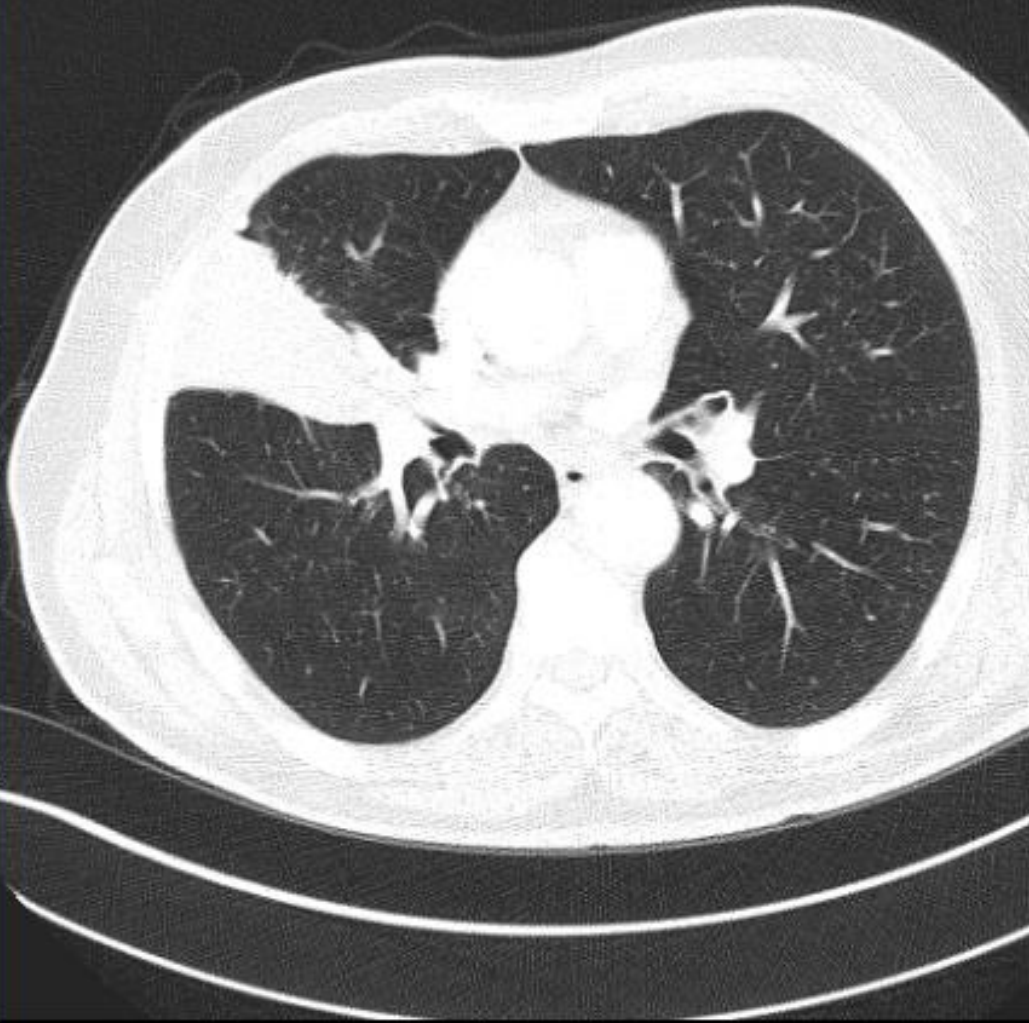


Image no: 57

Toplam 130 görüntünden 57.

3.03.2023, 10:28:09

P

Bronkoskopi

- **PATOLOJİK TANI**

1. Sağ akciğer üst lob, orta lob atelektesik alan, transbronşial, İİAB:
 - Mukoid zeminde, olağan ve reaktif bronş epitel hücreleri, kan elemanları izlendi

2. Sağ akciğer ana bronş distali tümör alanı, forceps biyopsi:
Kırıntı halinde dokuda, olağan respiratuvar epitel ve epitel altında hafif fibrozis varlığı
 - Küçük hücreli dışı karsinom hücreleri



ROBOTİK AKCİĞER REZEKSİYONU VE MEDİASTİNAL LENF NODU DİSSEKSİYONU

Sağ akciğer, orta lobektomi + alt lob superior segmentektomi + üst lob posterior segment kısmi rezeksyonu, mediastinal lenf nodu disseksiyonu:

ADENOKARSİNOM

- Tümör lokalizasyonu: ana kitle orta lobda olup, üst lob anterior segmente uzanmaktadır.
 - Tümör boyutu: 8,6x6x4,8 cm
 - Histolojik tip: adenokarsinom
 - Tümör alanlarının % 70 kadarı papiller, % 20 kadarı mikropapiller, % 10 kadarı lepidik ve % 10 kadarı asiner alanlardan oluşmaktadır.
 - Histolojik derece: G3 - az diferansiyel
 - Visseral plevra invazyonu: mevcut
 - Lenfovasküler invazyon: mevcut
 - Cerrahi sınırlar: Negatif
 - Lenf nodları: 0/24
- Peribronşial 2R 4R 7 9 11

Patolojik evre: pT4 pN0 pMx

- Diğer bulgular: Çevre akciğerde atelektazi alanları ve amfizematöz değişiklikler

İmmünohistokimyasal bulgular:

Tümör alanlarında;

TTF1: pozitif

Napsin A: pozitif

p40: negatif

HT, 71 yaş Erkek hasta

Nisan-Haziran 2023

- Paklitaksel-Karboplatin X4
- Sitopeni nedeniyle 1 kez erteleme
- Son kürde Febril nötropeni

Moleküler Sonuçlar

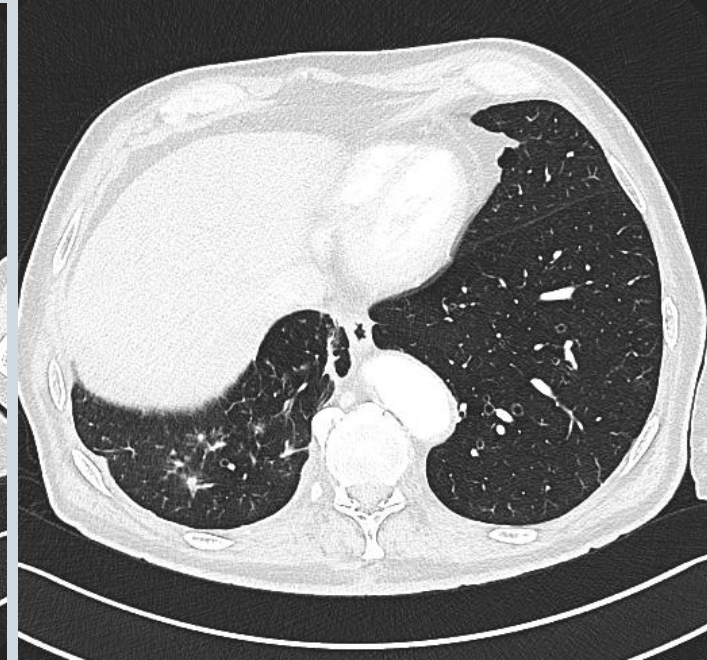
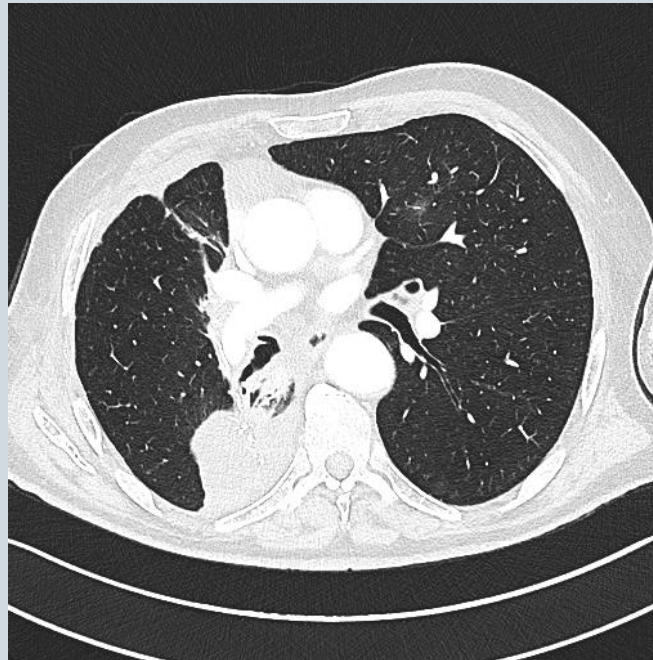
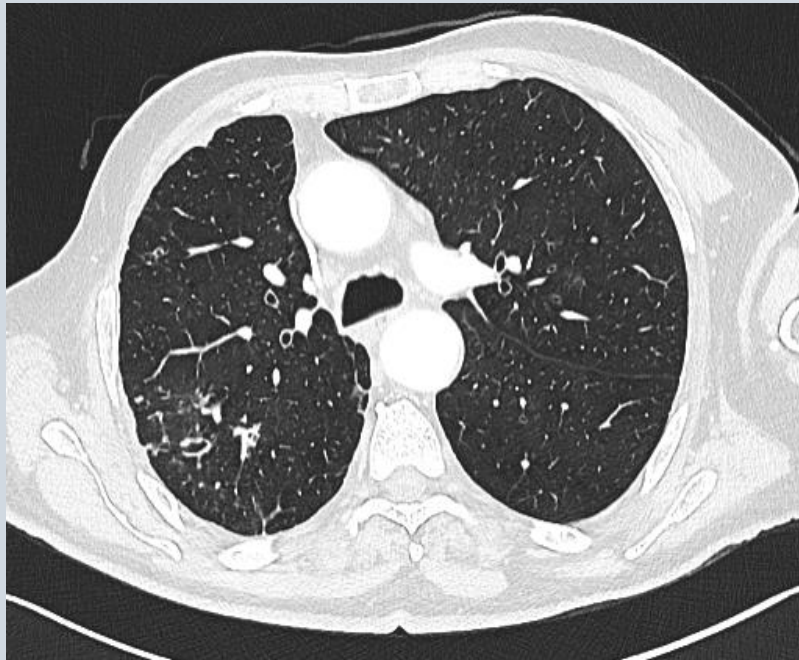
PDL-1 %20

EGFR Exon 19 del

ALK Negatif

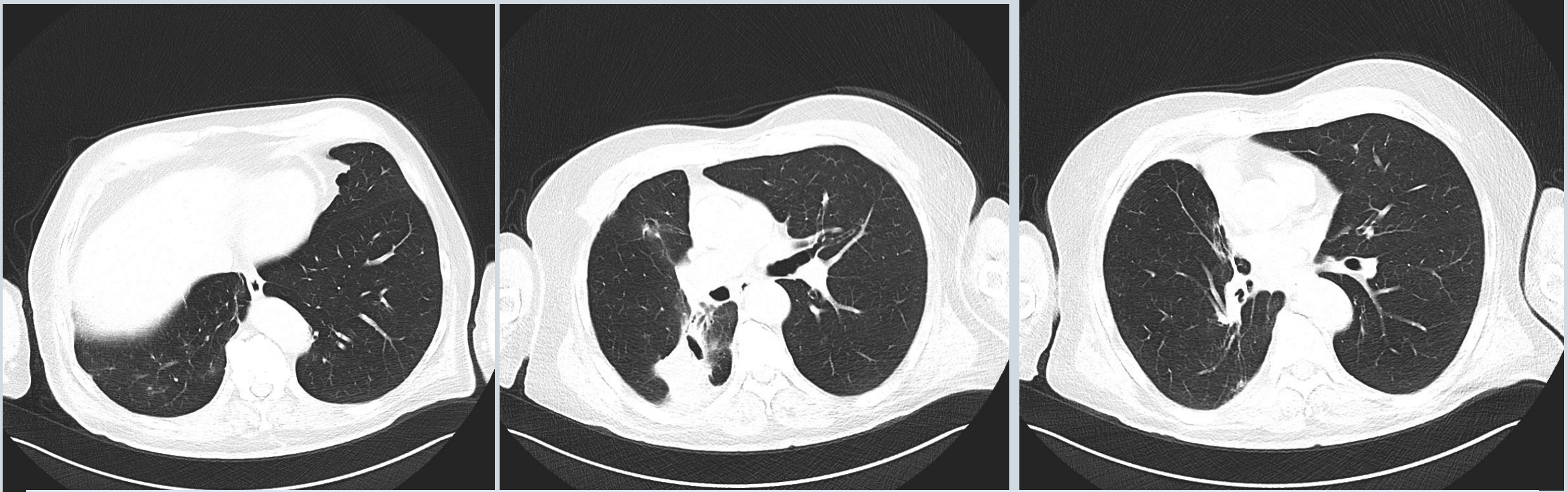
Temmuz 2023

- Osimertinib 80 mg başlandı



TORAKS BT Klinik Öykü: Akciğer Ca tanılı 70 yaşında erkek
Teknik: Çok dedektör sıralı BT cihazı transvers planda volümétrik spiral tarama yapılmış ve elde edilen verilerden sagittal ve koronal planda reformat görüntüler elde edilmiştir.
Kontrast Madde: 1 adet 350/100 cc Omnipol kullanıldı.
Bulgular: Sağ orta lobektomi, üst lob posterior segment ve alt lob superior segment rezeksiyonlarına ait postop değişimler mevcuttur. Sağ akciğer ve sağ hemitoraks volumü azalmıştır. Sağda 4. kosta lateral ve anterior bölümü rezekedir. Orta lob bronş güdüyü tabiidir. Sağ akciğerde perihiler bölgede ve alt lob basal segmentler boyunca devamlılığı izlenen dilate bronşların eşlik ettiği parankimal ve bronşial distorsyonların da izlendiği dens konsolidasyon görünümü mevcuttur. Metalik süturlar komşuluğunda loküle hava seçilmektedir. Muhtemel fissür içerisinde loküle karakterlidir. Sağ hemitoraksta kostal plevral yüzeylerde orta ve alt bölümde özellikle lateral duvarda düzensizlikler ve kalınlaşmalar vardır. Miniml plevral efüzyon izlenmiştir. Desendan aorta ektazik ve kıvrımlıdır. Pulmoner trunkus ve her iki pulmoner arter lumen genişliği ve kontrast dolumu doğaldır. Mediastende; sağ alt paratrakeal kalsifikasyon barındıran lenf nodları görülmüştür. Patolojik boyut ve morfolojide lenf nodu ayırt edilmemiştir. Minimal perikardiyal efüzyon mevcuttur. Her iki akciğerde sentrilobüler amfizeme ait değişiklikler vardır. Sağ akciğer üst lob posteriorda apikal ve posterior segmentlerde kalsifikasyonlar barındıran lineer plöroparankimal sekel dansiteler izlenmiştir. Sağ akciğerde üst lob anterior, apikal-posterior segmentlerde, alt lobda özellikle lateral ve posterobazal segmentte, solda üst lobda ve sol akciğer alt lob laterobazal segmentte sentrilobüler nodüller, dallanan tübüler yapılar yer yer fokal buzlu cam dansitesinde alanlar görülmektedir. Farklı morfolojik özelliklere sahip parankim bulguları mevcuttur. Kümeleşmiş milimetrik nodüller vardır. Sol akciğer alt lob laterobazal segmentte periferik yerleşimli 6 mm boyutlarında subplevral nodül mevcuttur. Batırınan geçen kesitlerde surrenal glandlarda kitle lezyonu ayırt edilmemiştir. Her iki böbrekte değişik boyutlarda büyüğü sağ böbrekte üst pol posterolateralde ekzofitik komponenti belirgin 52 mm boyutlarında, sol böbrekte ise 55 mm boyutlarında hipodens kistik lezyonlar vardır. Safra kesesinde kalküller izlenmiştir. Dejeneratif omurga bulguları vardır. Sonuç: -- Sağ akciğerde ve hemitoraksta postop. değişiklikler -- Sağ akciğerde perihiler bölgede ve alt loba uyan lokalizasyonda paramediastinal akciğer parankiminde dilate kıvrımlı bronşların ve parankimde yapısal distorsyonların eşlik ettiği dens konsolidasyon ve operasyon lojunda muhtemel fissür içerisinde kalan loküle hava -- Sağda minimal plevral efüzyon -- Her iki akciğer parankiminde öncelikle enfeksiyon düşündüren bulgular. İmmün tedavi öyküsü olan hastada tüm bulguların enfeksiyon ile uyumlu olabileceği düşünülmüştür. Ancak radyolojik morfolojik farklılıklar multipl etken varlığı söz konusu olabilir. Klinik-laboratuvar bulguları ile birlikte değerlendirme önerilir.

Çekim Tarihi : 01-09-2023 12:28:58



TORAKS BT Klinik Öykü: Opere akciğer kanseri tanılı 71 yaşında erkek
Teknik: Çok dedektör sıralı BT cihazıyla transvers planda volümetyrik spiral tarama yapılmış ve elde edilen verilerden sagittal ve koronal planda reformat görüntüler elde edilmiştir.
Kontrast Madde: 1 adet 350/100 cc Opaxol kullanıldı.
Bulgular: Sağ orta lobektomi, üst lob posterior segment ve alt lob superior segment rezeksiyonlarına ait postop değişimler mevcuttur. Sağ akciğer ve sağ hemitoraks volümü azalmıştır. Sağda 4. kosta lateral ve anterior bölümünü rezekedir. Orta lob bronş gürüğü tabiidir. Sağ akciğerde perihilier bölgede ve alt lob basal segmentler boyunca devamlılığı izlenen dilate bronşların eşlik ettiği parankimal ve bronşial distorsyonlarının da izlendiğ dens konsolidasyon görünümü mevcuttur. Metalik süturlar komşuluğunda lokule hava seçilmektedir. Muhtemel fissür içerisinde lokule karakterlidir. Sağ hemitoraksta kostal plevral yüzeylerde orta ve alt bölümde özellikle lateral duvarda düzensizlikler ve kalınlaşmalar vardır. Minimil plevral efüzyon izlenmiştir. Desendan aorta ektazik ve krvnmlıdır. Pulmoner trunkus ve her iki pulmoner arter lumen genişliği ve kontrast dolumu doğaldır. Mediastende; sağ alt paratrakeal kalsifikasyon barındıran lenf nodları görülmüştür. Patolojik boyut ve morfolojide lenf nodu ayırt edilmemiştir. Minimal perikardiyal efüzyon mevcuttur. Her iki akciğerde sentrilobüler amfizerme ait değişiklikler vardır. Sağ akciğer üst lob posteriorda apikal ve posterior segmentlerde kalsifikasyonlar barındıran lineer plöroparankimal sekel dansiteler izlenmiştir. Sağ akciğerde üst lob anterior, apikal-posterior segmentlerde, alt lobda özellikle lateral ve posterobazal segmentte, solda üst lobda ve sol akciğer alt lob laterobazal segmentte sentrilobüler nodüller, dallanan tübüler yapılar yer yer fokal buzlu cam dansitesinde alanlar görülmektedir. Sol akciğer alt lob laterobazal segmentte periferik yerleşimli 6 mm boyutlarında subplevral nodül mevcuttur. Batından geçen kesitlerde surrenal glandlarda kitle lezyonu ayırt edilmemiştir. Her iki böbrekte değişik boyutlarda büyüğü sol böbrekte ise 5 cm boyutlarında hipodens kistik lezyonlar vardır. Sol böbrekte büyüğü orta kalisiyel sisteme uyan 5 mm boyutlarında olan her iki böbrekte multipl kalküller vardır. Safra kesesinde kalküller izlenmiştir. Dejeneratif omurga bulguları vardır. Sonuç: --Aralık 2023 tarihli BT ler ile mukayese edildiğinde mevcut bulgularda farklılık ve ek bulgu izlenmedi.

İstem Tarihi : 11-03-2024 10:48:00

Erken Evre KHDAKda Güncel Pratiğe Yansıyan Çalışmalar

Adjuvan

- Adjuvan Kemoterapi
- IMpower 010 / PEARLS
- ADAURA / ALINA

İzole
Neoadjuvan

- Checkmate 816

Perioperatif

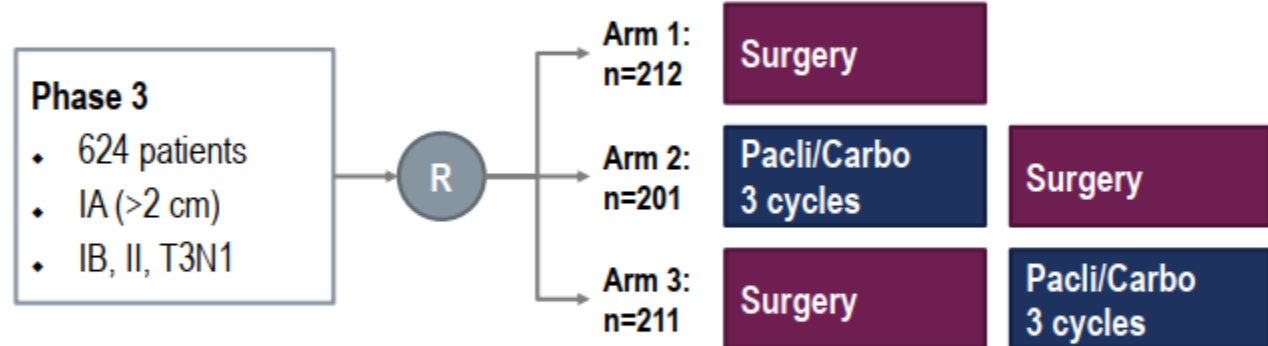
- Checkmate 77T
- AEGEAN
- Keynote 671

Neoadjuvan Tedavi Rasyoneli

- Mikrometastazların erken kontrolü
- Rezektabilitede artış, down staging
- Cerrahi sürecinde morbiditede azalma
- Patolojik cevabın gözlenebilmesi, in vivo tedavi etkinliğinin bilinebilmesi
- Olası genel sağkalım faydası

ADJUVANT OR NEOADJUVANT?

NATCH Study



Paclitaxel 200 mg/m² + carboplatin AUC 6 q3w

Main objective: PFS at 5-year chemotherapy vs. surgery

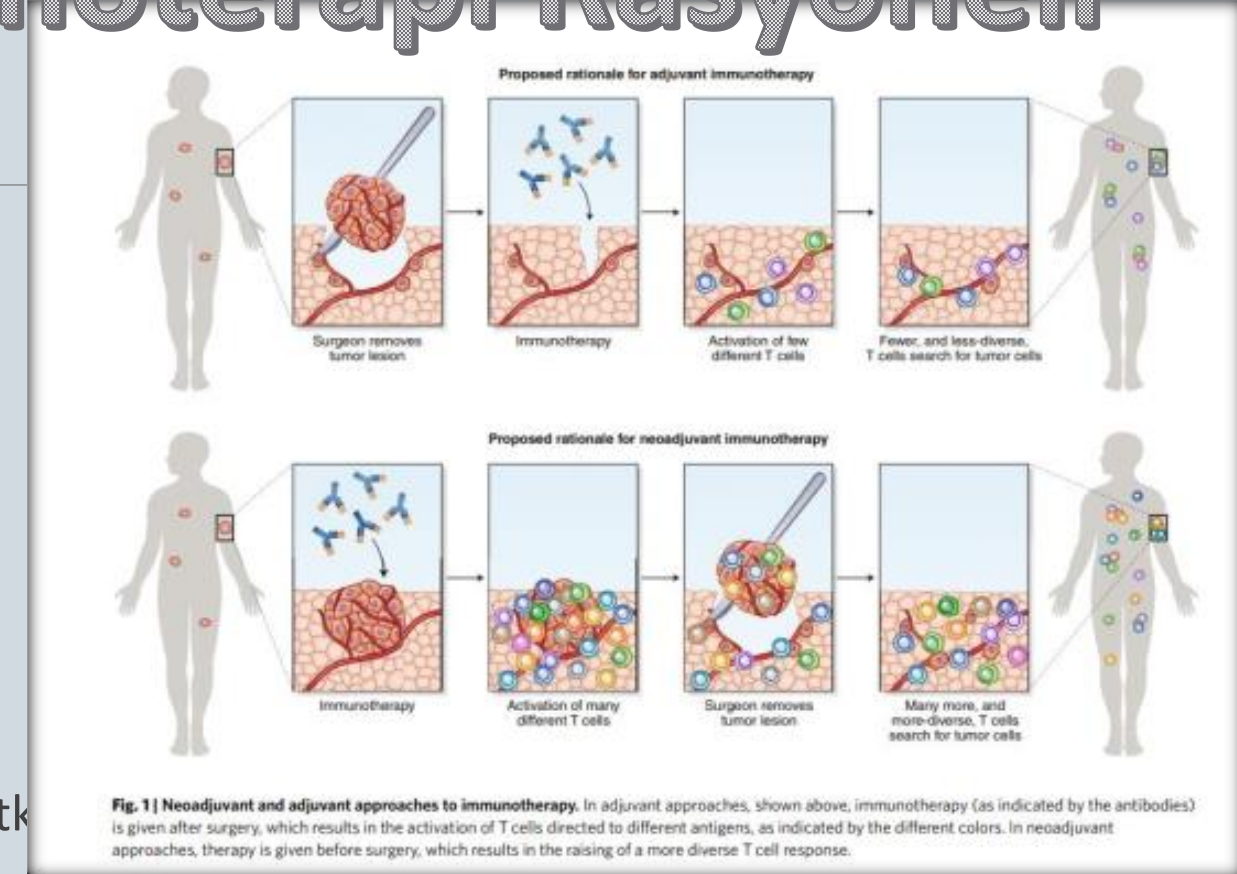


Trials	At least 1 cycle	2 cycles	3 cycles	4 cycles
ALPI	90%	ND	69%	NA
IALT	92%	ND	ND	ND
ANITA	90%	72%	61%	50%
JBR10	95.5%	64%	55%	45%
NATCH adj	66%	ND	61%	NA
Depierre	98%	90%	NA	NA
NATCH neoadj	97%	ND	90%	NA
Gilligan	96%	89%	96%	NA
SWOG 9900	ND	ND	79%	NA

Neoadjuvan Rasyoneli

- Mikrometastazların erken kontrolü
- Rezektabilitede artış, down staging
- Cerrahi sürecinde morbiditede azalma
- Patolojik cevabın gözlenebilmesi, in vivo tedavi etkisi
- Olası genel sağkalım faydası

İmmunoterapi Rasyoneli



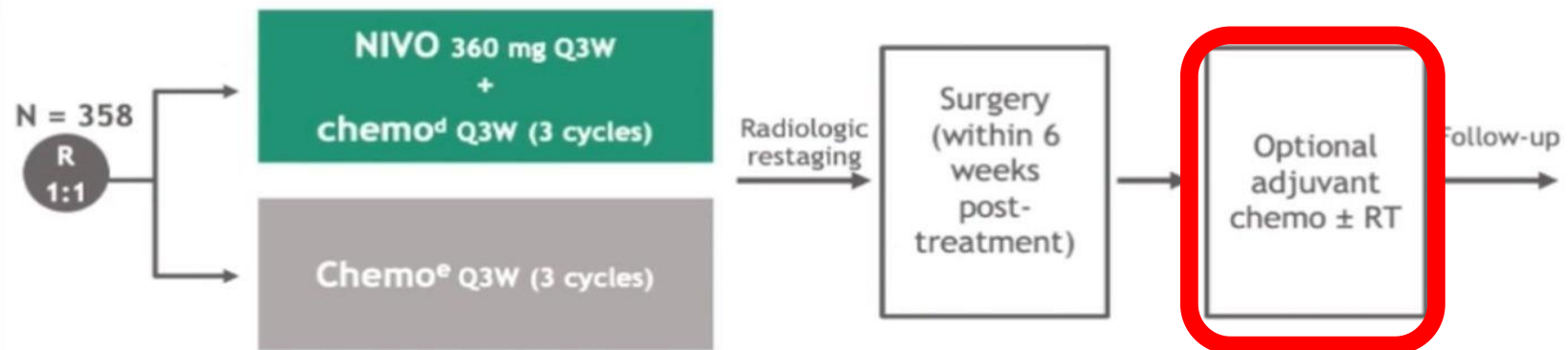
immun Tanıma!!

CheckMate 816 study design^{a,1}

Key eligibility criteria

- Newly diagnosed, resectable, stage IB (≥ 4 cm)-IIIA NSCLC (per TNM 7th edition)
- ECOG PS 0-1
- No known sensitizing *EGFR* mutations or *ALK* alterations

Stratified by
stage (IB/II vs IIIA),
PD-L1^b ($\geq 1\%$ vs < 1%^c), and sex



Primary endpoints

- pCR by BIPR
- EFS by BICR

Key secondary endpoints

- MPR by BIPR
- OS
- Time to death or distant metastases

Key exploratory endpoints included

- ORR by BICR
- Feasibility of surgery; peri- and post-operative surgery-related AEs

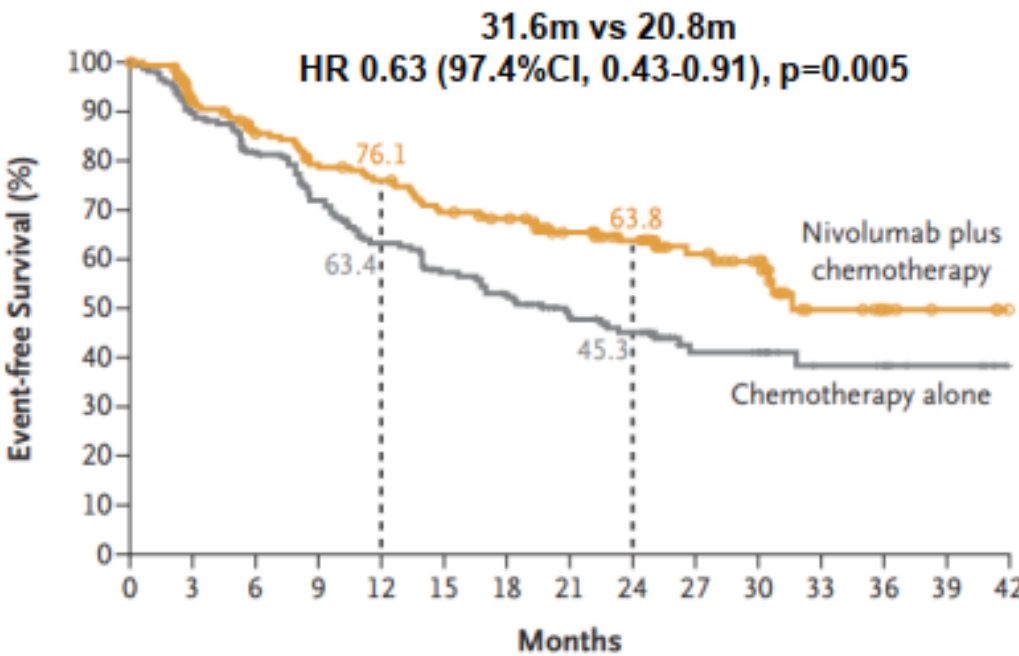
Database lock: September 16, 2020; minimum follow-up: 7.6 months for NIVO + chemo and chemo arms.

^aNCT02998528; this study included an exploratory arm: NIVO 3 mg/kg Q2W (3 cycles) + ipilimumab 1 mg/kg (cycle 1 only). Data from this arm are not included in this presentation; ^bDetermined by the PD-L1 IHC 28-8 pharmDx assay (Dako); ^cIncluded patients with PD-L1 expression status not evaluable and indeterminate; ^dNSQ: pemetrexed + cisplatin or paclitaxel + carboplatin; SQ: gemcitabine + cisplatin or paclitaxel + carboplatin; ^eVinorelbine + cisplatin, docetaxel + cisplatin, gemcitabine + cisplatin (SQ only), pemetrexed + cisplatin (NSQ only), or paclitaxel + carboplatin.

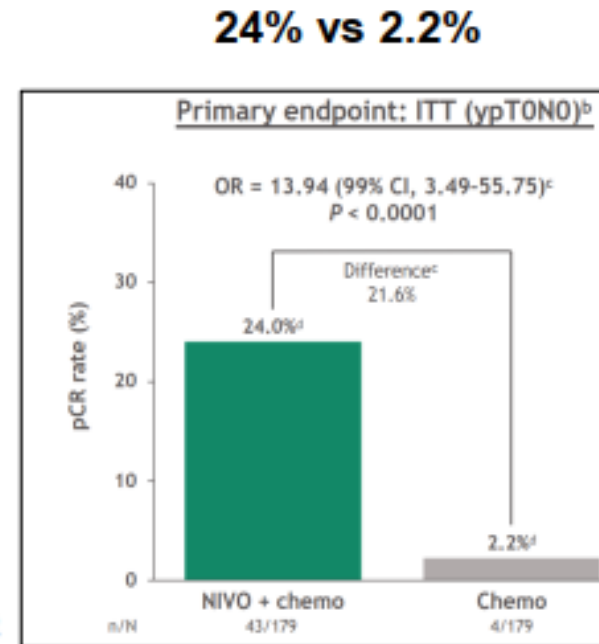
1. Forde PM, et al. Oral presentation at the AACR Annual Meeting; April 8-10, 2021; virtual. Abstract 5218.

CheckMate 816: Neoadjuvant Nivolumab + Chemotherapy

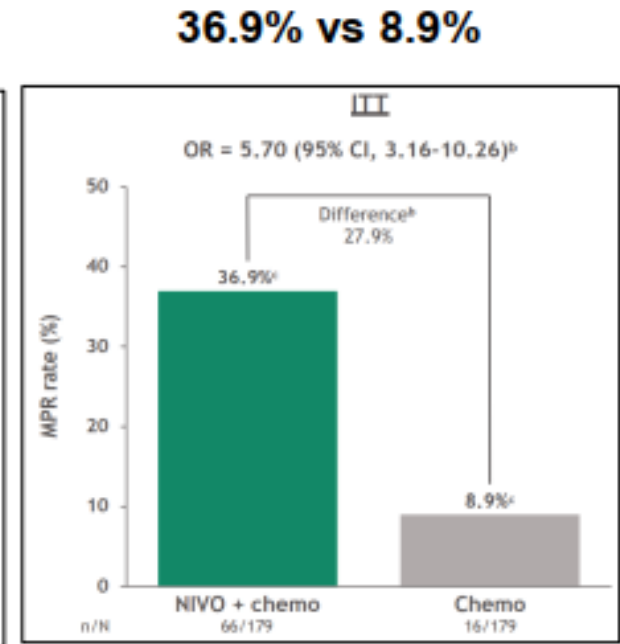
Event Free Survival



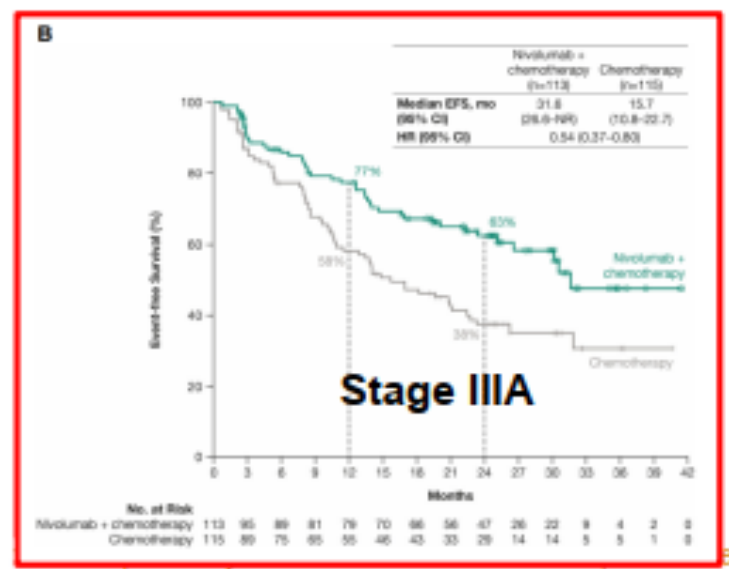
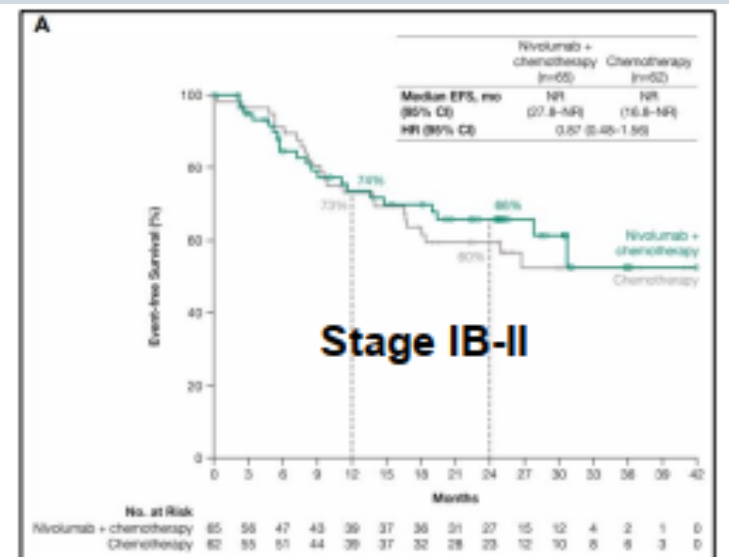
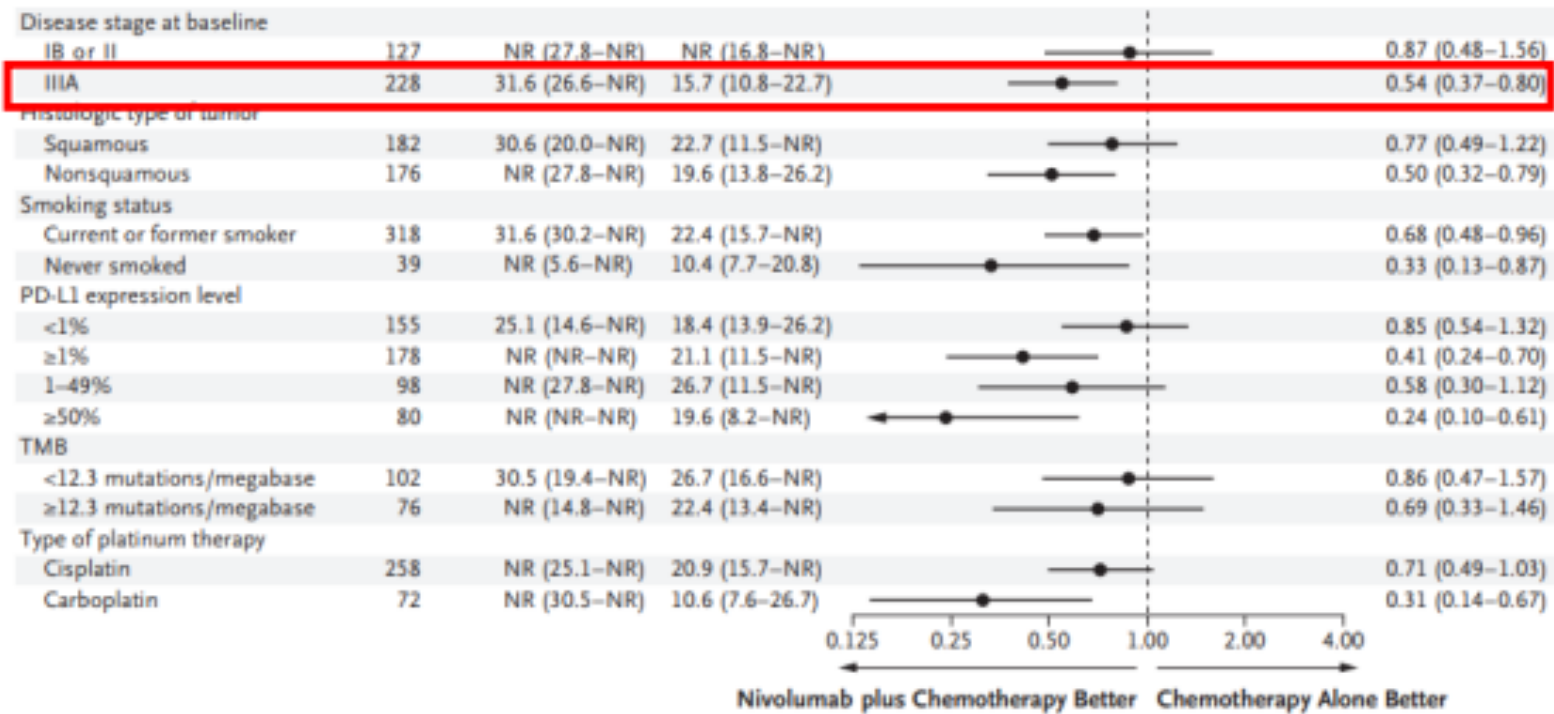
pCR



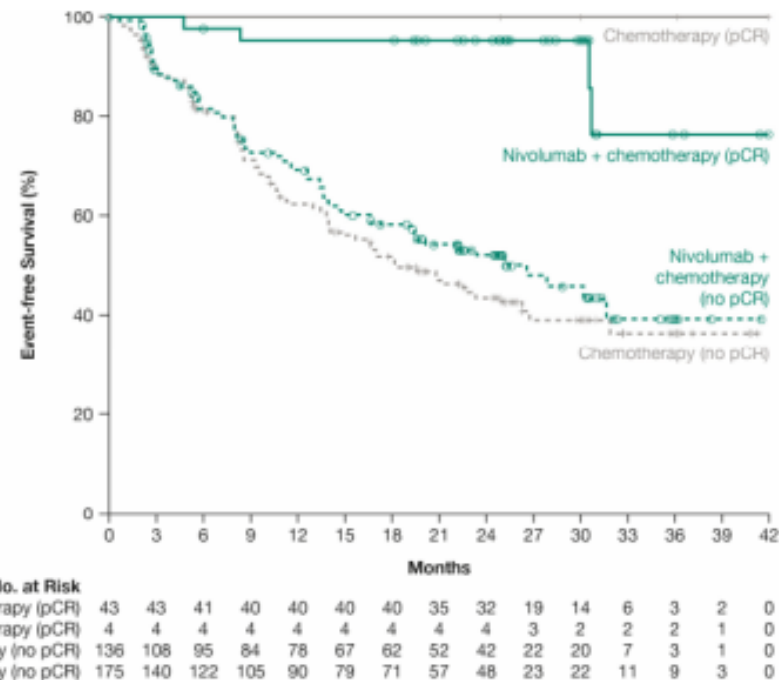
MPR



Evre 3A hastalık



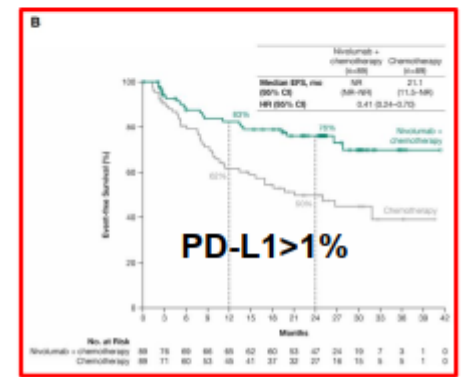
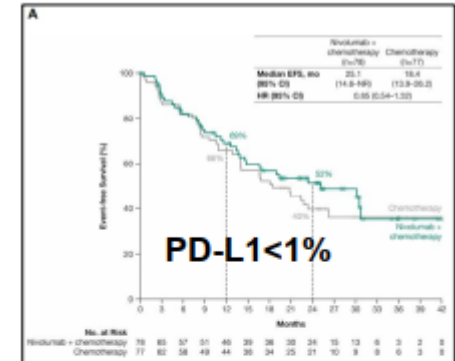
CheckMate 816: EFS by Pathologic CR



Pathologic CR

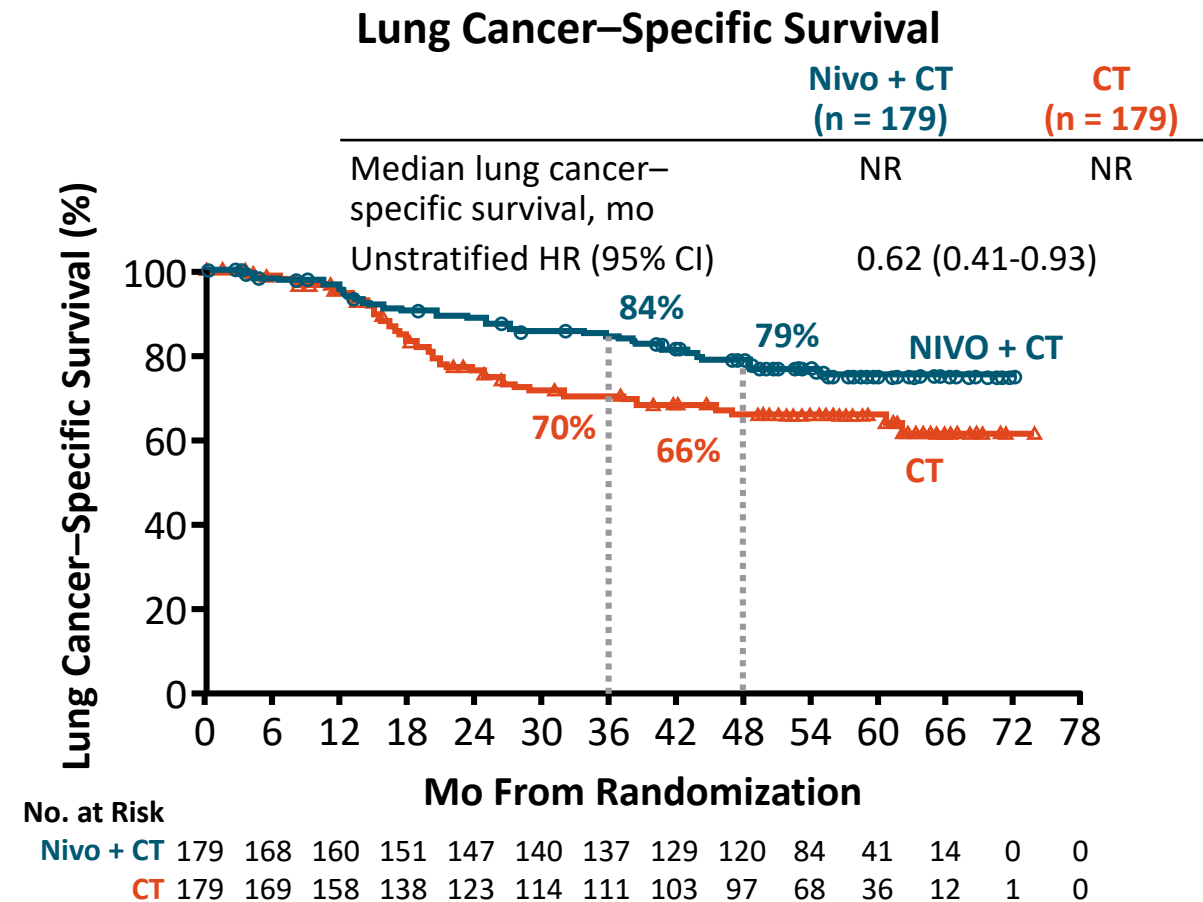
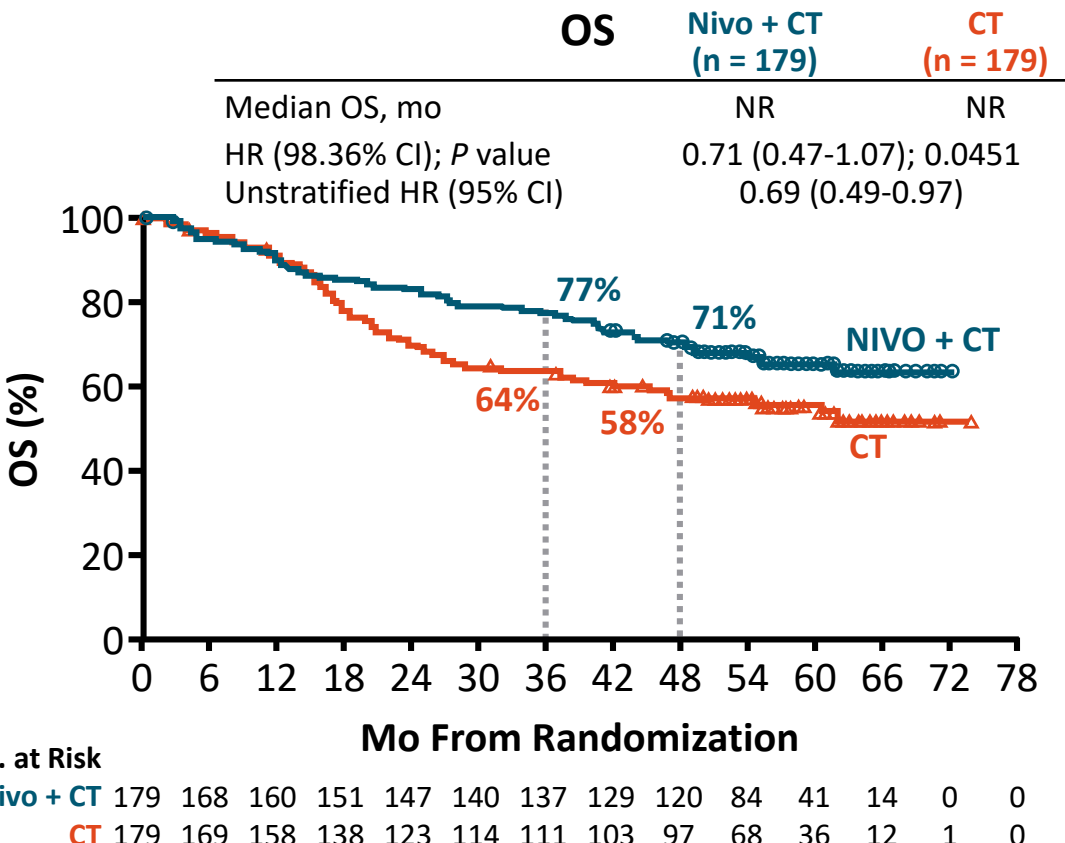
24% vs 2.2%

	Nivolumab + chemotherapy	Chemotherapy
pCR (n=43)	NR	26.6
No pCR (n=136)	(30.6-NR)	(16.6-NR)
Median EFS, mo (95% CI)	NR (30.6-NR)	NR (16.6-NR)
HR (95% CI)*	0.13 (0.05-0.37)	Not computed†



Phase III CheckMate 816: 4-Yr OS

- Patients who received Nivo + CT and had pCR continued to have improved OS vs those who did not (HR: 0.08; 95% CI: 0.02-0.34; **4-yr OS rates: 95% vs 63%**)



VAKA 2 : İG, 67 yaş Erkek hasta

Nisan 2024

- Şikayet: Ses kısıklığı
- 100 p/y sigara
- HT, DM, BPH
- Beloc, Lustral, Nootropil, Protonex, Candexil, Glifix, Urorec
- FM:** Ssde değişim yok, Lap yok
- Lab:** KCFT/BFT N

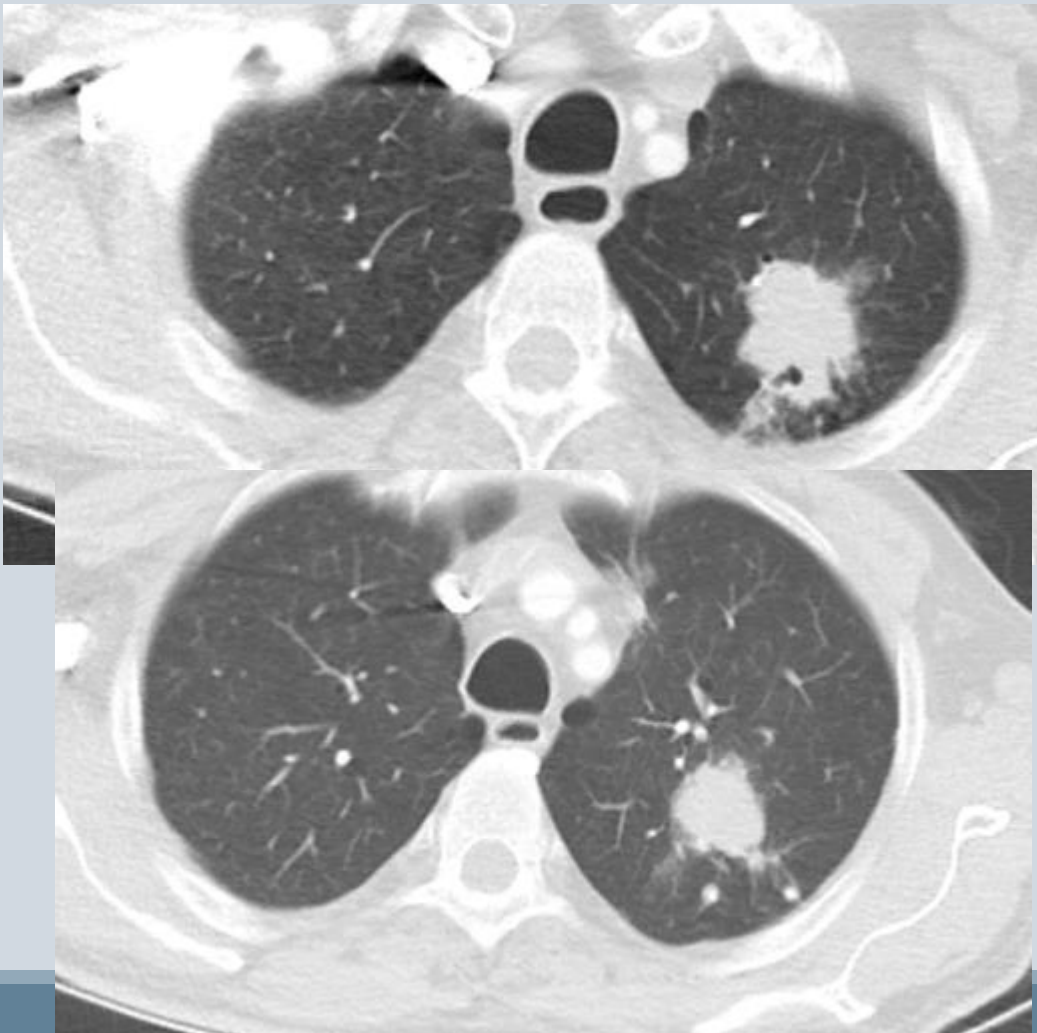
HbsAg neg; Anti HbclgG poz;Anti Hbs 79



1 yıl önce

BALIKESİR EDREMIT DEVLET HASTANESİ - 30/04/2024 Tarihli Toraks BT

Sol akciğer üst lob apiko posterior segmentde düzensiz sınırlı 3.8 cm çapında malign görünümde kitle lezyonu izlenmektedir.



TTİAB ve EBUS (Dış Merkez) : Skuamoz Hücreli Karsinom

**11L: SIVI BAZLI SİTOLOJİ + HÜCRE BLOĞU;; HİPOSELLÜLER ASPIRAT;; - LENFOİD
ZEMİNE AİT SEYREK HÜCRESEL ELEMANLAR**

Tedavi önerisi için Ek tetkik?



PET-CT (09.05.2024)

Sol hiler/bronkopulmoner
alanda SUV 11 LN

Sol akciğer üst lob 45*38
SUV 20 lezyon



**Hastanızın KONTRASTLI KRANİAL MRG incelemesinde:Hastaya Gadovist 7.5 ml. FLK.
kullanılmıştır.**

Her iki lateral ventrikül dilate olup sol lateral ventrikül sağa göre asimetrik dilatedir.

Sol periatrial beyaz cevherde sekel T2 FLAIR sinyal artışı izlenmiştir. Dural sinüsler
açıkır. Kavernöz sinüsler simetrik ve açıkır. Pontoserebellar açı sisternaları simetrik, normal
genişliktedir. Sellar, parasellar yapılar normaldir. Orbital yapılar normaldir. Kranioservikal bileşke
normaldir.

Diffüzyon kısıtlaması gösteren lezyon saptanmadı.

Postkontrast seride patolojik kontrastlanma izlenmedi.

MİKROSKOBİ BULGULARI

Kesitlerde belirgin İltihabi lenfo stromal reaksiyon ile birlikte solid adacıklar halinde karsinom hücreleri
izlenmiştir. Tümör oluştururan hücreler iri- hiperkromatik veziküler çekirdekli orta genişlikte şeffaf yada eozinofilik
sitoplazmali hücrelerdir.

PATOLOJİK TANI

Hücre Bloğu :
SKUAMÖZ HÜCRELİ KARSINOM

YORUM

1) EGFR Mutasyon Analizi Sonucu:
-EGFR mutasyonu saptanamamıştır.

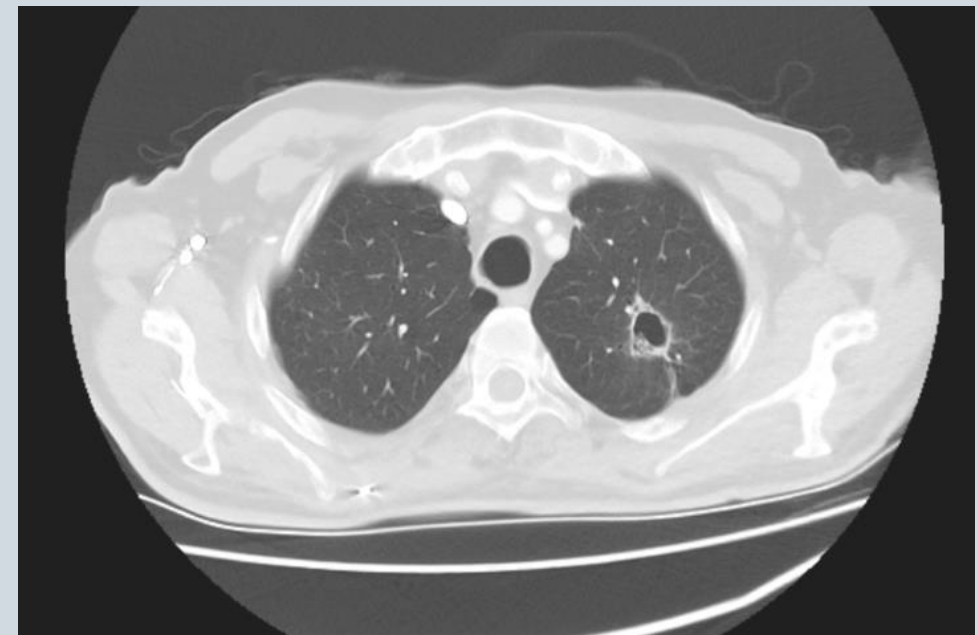
2) ALK Rearanjanmanı Testi Sonucu:
-ALK rearanjanmanı mevcut değildir.

3) ROS1 Rearanjanmanı Testi Sonucu:
-ROS1 rearanjanmanı mevcut değildir.

4) PD-L1 İmmünhistokimyasal Testi Sonucu:
-PD-L1 ekspresyon derecesi : %20
PD-L1 ekspresyonu mevcuttur. Düşük Pozitif

Paklitaksel 200 mg/m²; Carboplatin AUC 5; Nivolumab 360 mg başlandı

20.07.2024: ESKİ TETKİKİNDE 33,5X30,5 MM BOYUTUNDA ÖLÇÜLEN DÜZENSİZ SINIRLI ETRAFINDA SİLİK BUZLU CAM DANSITESİNDE ALANALARIN İZLENDİĞİ YUMUŞAK DOKU DANSITESİNDE KİTLE LEZYON GÜNCEL TETKİKİNDE BOYUTU REGRESE GÖRÜNÜMDE OLUP KAVİTERLEŞMİŞTİR. SOLİD KOMPONENTİ BELİRGİN AZALMIŞ OLUP BOYUTU 22X26,5 MM BOYUTUNDA İZLENMİŞTİR.



2 kür sonra

4 Kür sonrası Sol Üst Lobektomi + Lenfadenektomi

Fikse Fikzasyonun tipi: Formol

Büyüklik (3 boyut-cm): 18x14x5 cm

Rezeksiyon tipi: Lobektomi

Plevranın özellikleri:

Fibrozis: (+)

Fibrin: (+)

Visseral plevra tutulumu:

Paryetal plevra tutulumu:

Tümörün özellikleri:

Büyüklik (3 boyut-mm): 30x20x20 mm

Lob ve segment lokalizasyonu: Sol-üst

Bronşla ilişkisi: Bronşla ilişkisiz Periferik

Kanama: Görüldü

Nekroz: Görüldü

Kavitasyon: Görüldü

Büyük damar invazyonu: Görülmedi

Pulmoner arter cerrahi sınır: Tümör görülmeli.

Pulmoner ven cerrahi sınır: Tümör görülmeli.

İnterlober fissüre yayılım: Tümör görülmeli (6 cm)

Plevraya yayılım: Görülmedi

Bronş rezeksiyon hattına uzaklık (mm): 4 cm

Plevraya uzaklık (mm): 1 cm

Çevre akciğer: Kanamalı

PaCS, BCS, VCS, ÇA, TÇ, PL, T5, LG5, P5/V

NOT: Akciğerde izlenen tümör yatağının tamamı örneklandı. Kesitlerde tümör içi ve çevresinde multinükleer yabancı cisim tipi dev hücreler içeren, yer yer histiyositlerden zengin, geniş alanda foliküler tipte interstisyel inflamasyon, kolesterol kleftleri ve fibrozis izlendi. Canlı tümör oranı %80 saptandı.

TANI:

I-AKCIĞER, SOL ÜST, LOBEKTOMİ: SKUAMÖZ HÜCRELİ KARSİNOM, ORTA DERECEDE DİFERANSİE, NONKERATİNİZE, TÜMÖR İÇİ VE ÇEVRESİNDE TEDAVİYE SEKONDER REGRESYON BULGULARI (BAKİNZ NOT).

LENF NODU, 12 NO?LU İSTASYON, 5 ADET: SİNÜZAL HİSTİYOSİTOZ, ANTRAKOZ (METASTAZ GÖRÜLMEDİ).

LENF NODU, 14 NO?LU İSTASYON, 1 ADET: SİNÜZAL HİSTİYOSİTOZ, ANTRAKOZ (METASTAZ GÖRÜLMEDİ).

LENF NODLARI, MEDİASTİNAL DİSEKSİYON:

II-5 NO?LU İSTASYON, 1 ADET: SİNÜZAL HİSTİYOSİTOZ, ANTRAKOZ (METASTAZ GÖRÜLMEDİ).

III-6 NO?LU İSTASYON, 1 ADET: SİNÜZAL HİSTİYOSİTOZ, ANTRAKOZ (METASTAZ GÖRÜLMEDİ).

IV-7 NO?LU İSTASYON, 1 ADET: SİNÜZAL HİSTİYOSİTOZ, ANTRAKOZ (METASTAZ GÖRÜLMEDİ).

V-9 NO?LU İSTASYON, 1 ADET: SİNÜZAL HİSTİYOSİTOZ, ANTRAKOZ (METASTAZ GÖRÜLMEDİ).

VI-10 NO?LU İSTASYON, 2 ADET: SİNÜZAL HİSTİYOSİTOZ, ANTRAKOZ (METASTAZ GÖRÜLMEDİ).

VII-11 NO?LU İSTASYON, 2 PARÇA: SİNÜZAL HİSTİYOSİTOZ, ANTRAKOZ (METASTAZ GÖRÜLMEDİ).

Adjuvan İT önerildi,
ancak maliyet nedenli devam edilemedi

Erken Evre KHDAKda Güncel Pratiğe Yansıyan Çalışmalar

Adjuvan

- Adjuvan Kemoterapi
- IMpower 010 / PEARLS
- ADAURA / ALINA

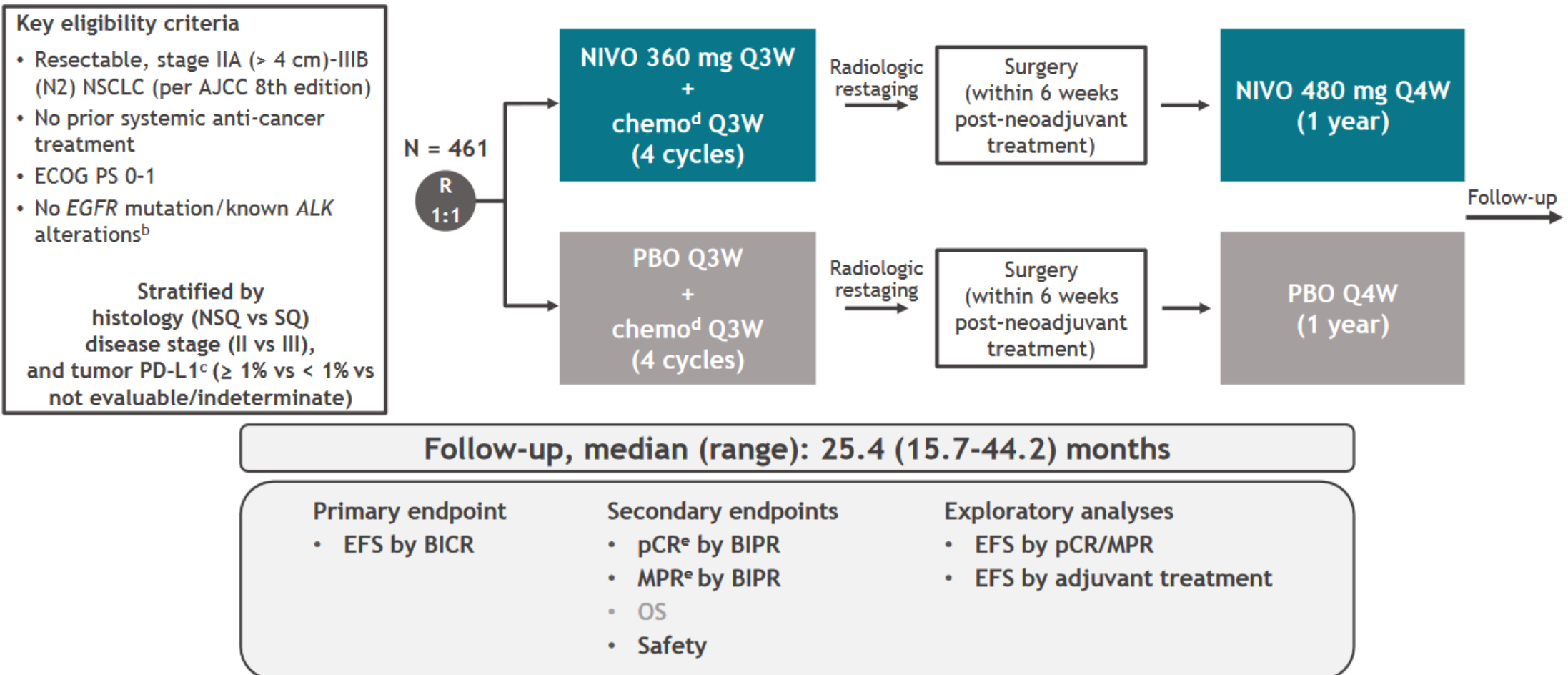
İzole
Neoadjuvan

- Checkmate 816

Perioperatif

- Checkmate 77T
- AEGEAN
- Keynote 671

CheckMate 77T^a study design



Database lock date: September 6, 2023.

^aNCT04025879. ^bEGFR testing was mandatory in all patients with NSQ histology. ALK testing was done in patients with a history of ALK alterations. EGFR/ALK testing done using US FDA/local health authority-approved assays. ^cDetermined by the PD-L1 IHC 28-8 pharmDx assay (Dako). ^dNSQ: cisplatin + pemetrexed, carboplatin + pemetrexed, or carboplatin + paclitaxel; SQ: cisplatin + docetaxel or carboplatin + paclitaxel. ^eAssessed per immune-related pathologic response criteria.¹ BICR, blinded independent central review; BIPR, blinded independent pathological review. 1. Cottrell TR, et al. Ann Oncol 2018;29:1853-1860.

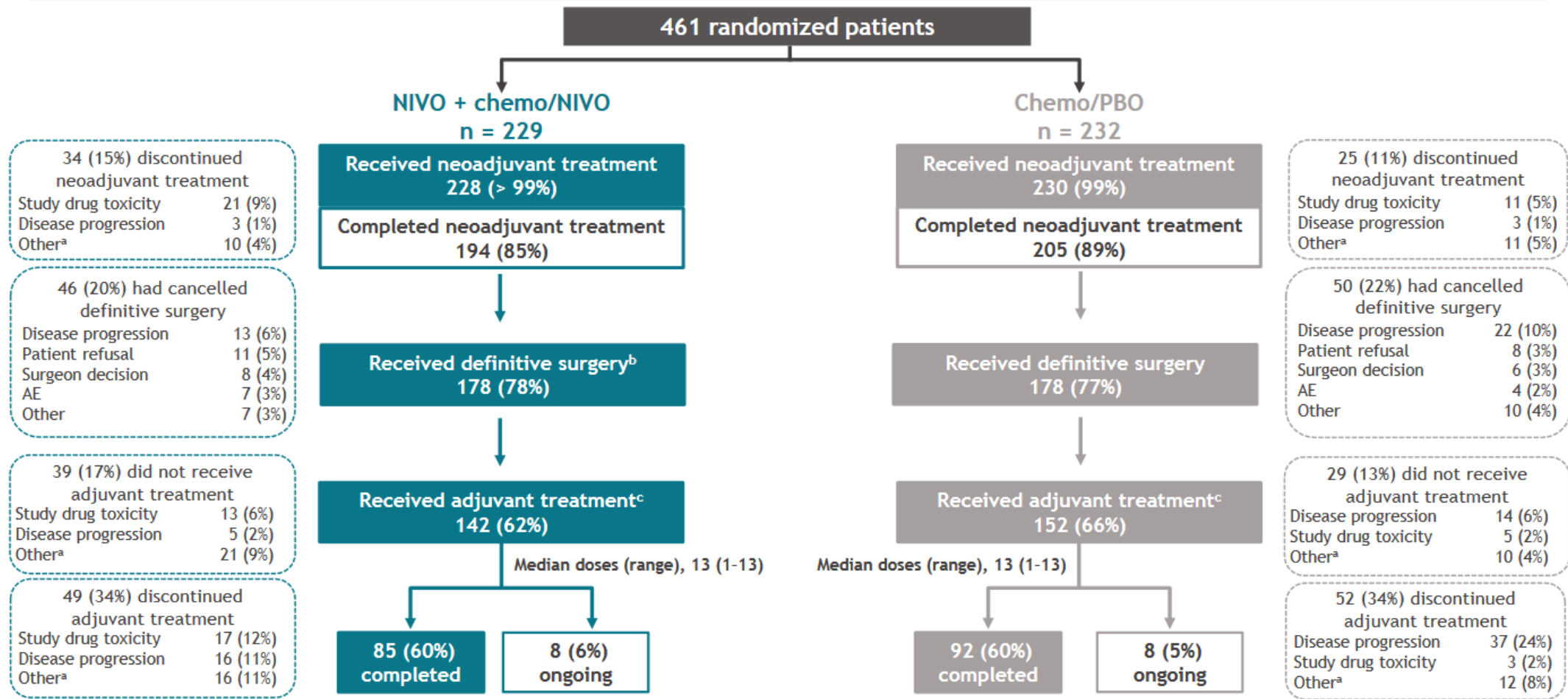
Baseline patient characteristics

	NIVO + chemo/NIVO (n = 229)	Chemo/PBO (n = 232) ^a	NIVO + chemo/NIVO (n = 229)	Chemo/PBO (n = 232) ^a
Median age, years (range)	66 (37-83)	66 (35-86)		
Male, n (%)	167 (73)	160 (69)		
Geographic region, n (%)				
North America	23 (10)	21 (9)		
Europe	123 (54)	127 (55)		
Asia	65 (28)	50 (22)		
Rest of the world ^b	18 (8)	34 (15)		
ECOG PS, n (%)				
0	147 (64)	141 (61)		
1	82 (36)	91 (39)		
Disease stage, ^c n (%)				
IIA-B ^d	81 (35)	81 (35)		
IIIA-B ^e	146 (64)	149 (64)		
Histology, n (%)				
Squamous	116 (51)	118 (51)		
Non-squamous	113 (49)	114 (49)		
Smoking status, n (%)				
Current/former			212 (93)	205 (88)
Never			17 (7)	27 (12)
Tumor PD-L1 expression, ^f n (%)				
Not evaluable			8 (4)	11 (5)
< 1%			93 (41)	93 (40)
≥ 1%			128 (56)	128 (55)
1-49%			83 (36)	76 (33)
≥ 50%			45 (20)	52 (22)
Platinum therapy type, n (%)				
Cisplatin			55 (24)	42 (18)
Carboplatin			167 (73)	180 (78)

- PD-L1 1-49% subgroup mostly consisted of patients with low tumor PD-L1 expression level; median tumor PD-L1 expression in this subgroup was 10% across both treatment arms

Percentages may not total 100 due to rounding. ^a1 (< 1%) patient with squamous histology had a reported EGFR mutation; this was tested locally and could not be confirmed due to site closure. ^bIncludes only Argentina, Australia, Brazil, and Mexico. ^cDisease stage (per AJCC 8th edition) as reported in case report forms. 2 (1%) patients in the NIVO + chemo/NIVO arm had stage IIIC disease, and 2 (1%) patients in the chemo/PBO arm had stage IV disease. ^dStage IIA was reported in 15 (7%) patients in the NIVO + chemo/NIVO arm and 18 (8%) patients in the chemo/PBO arm; stage IIB disease was reported in 66 (29%) and 63 (27%) patients, respectively. ^eStage IIIA was reported in 103 (45%) patients in the NIVO + chemo/NIVO arm and 114 (49%) patients in the chemo/PBO arm; stage IIIB disease was reported in 43 (19%) and 35 (15%) patients, respectively. ^fDetermined using the PD-L1 IHC 28-8 pharmDx assay (Dako).

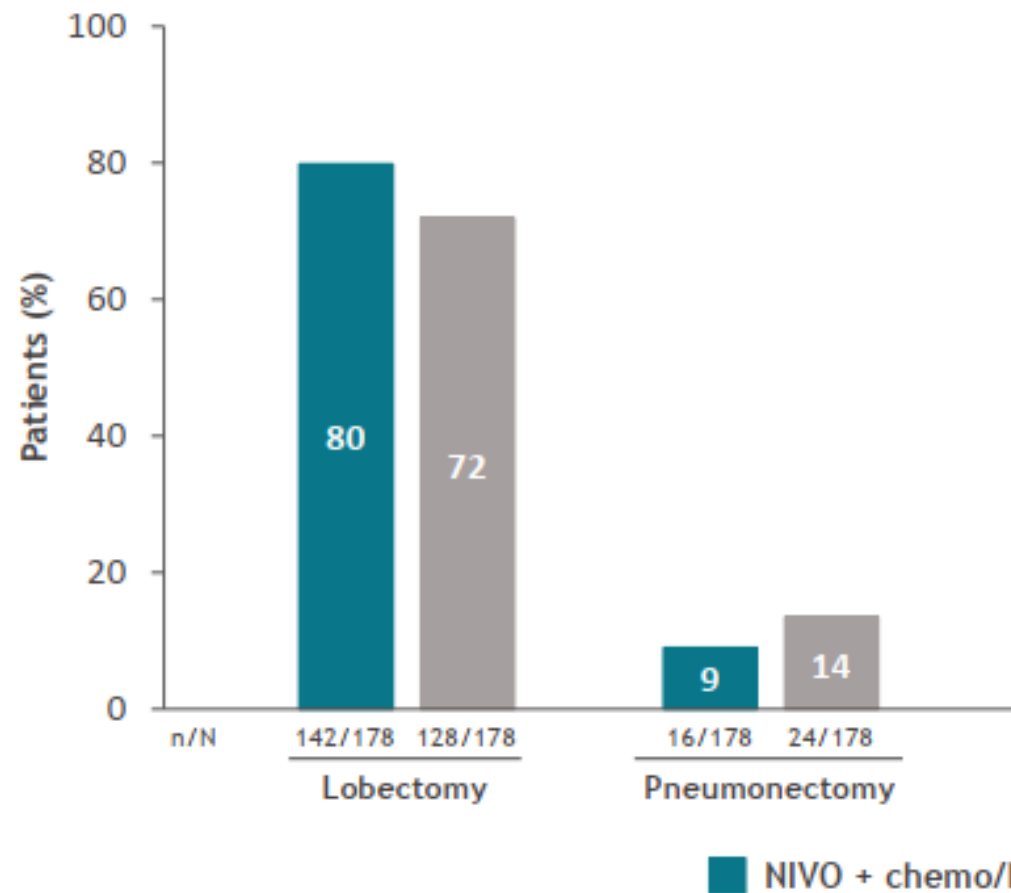
Treatment and surgery summary



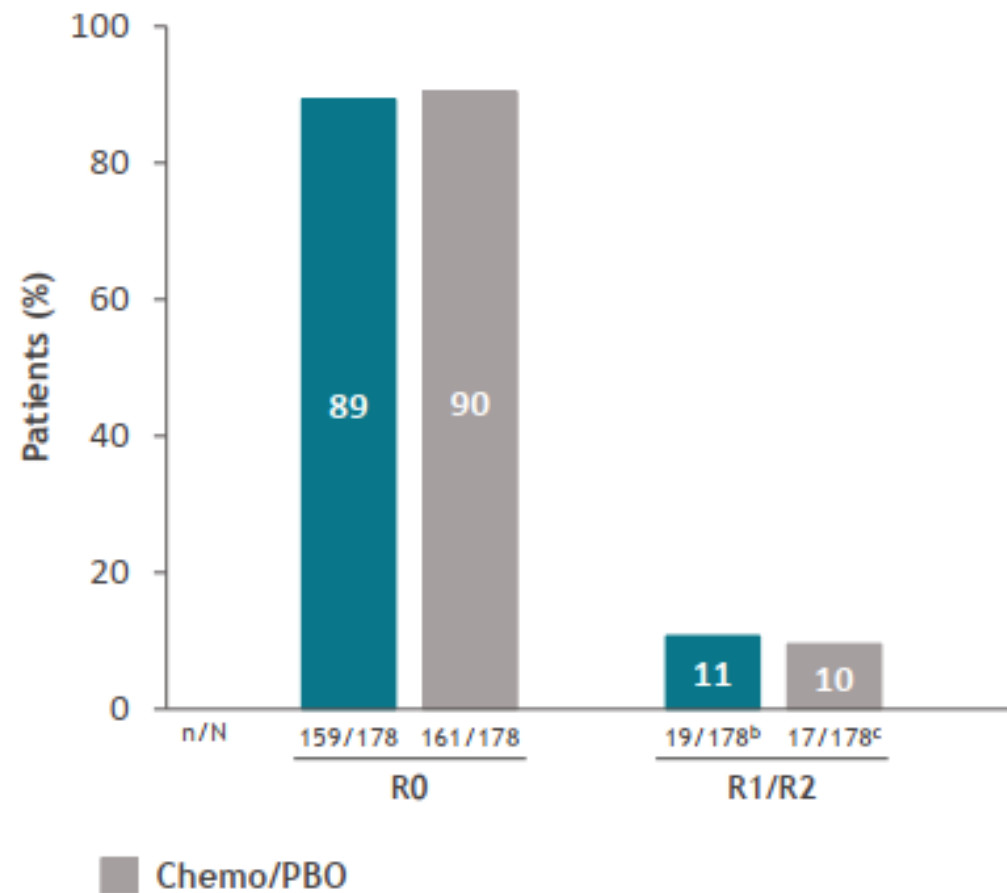
All percentages calculated from patients who received neoadjuvant study treatment except for discontinuation of adjuvant treatment. ^aIncluded AE unrelated to study treatment, patient request, withdrawn consent, and no longer meeting study criteria. ^bSurgery status was not reported in 2 (1%) patients in the NIVO + chemo/NIVO arm. ^c3 patients in each arm did not receive surgery but received adjuvant treatment.

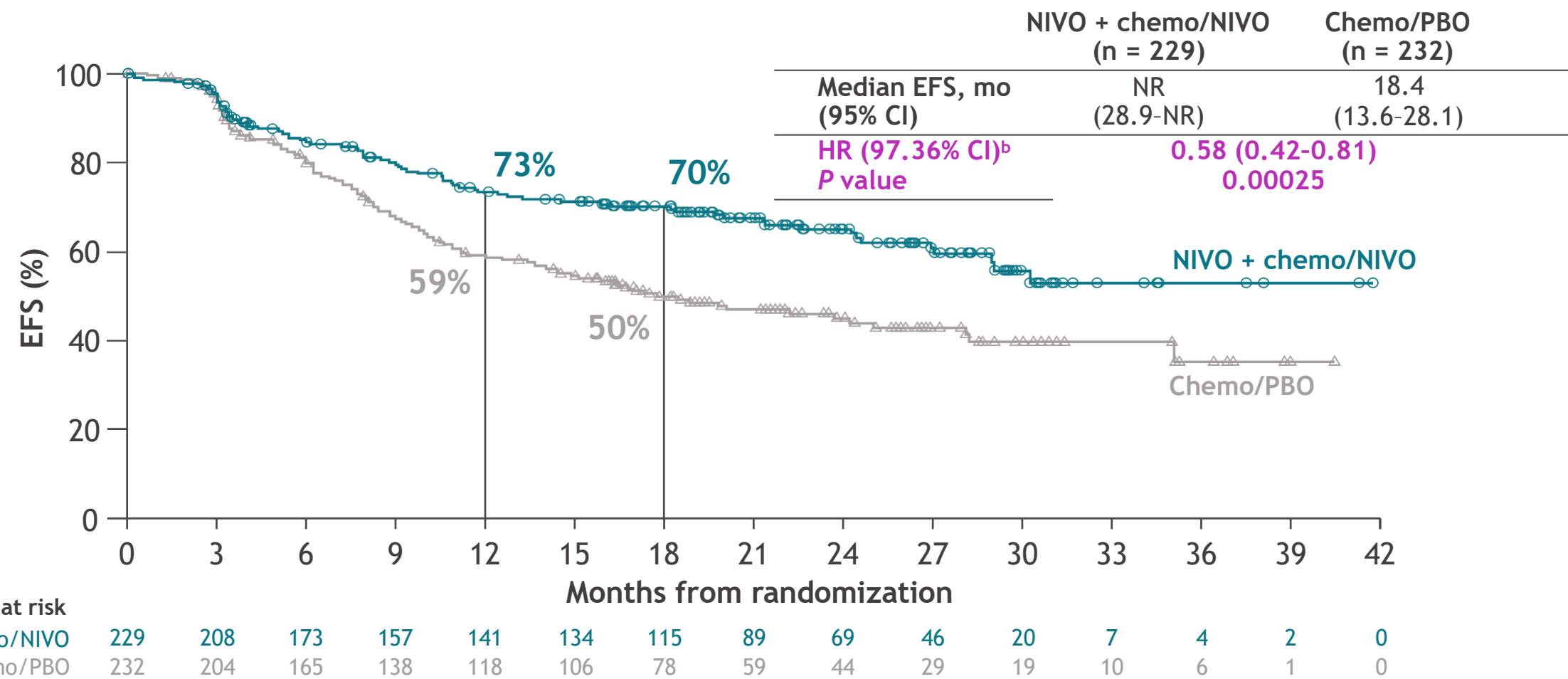
Surgical outcomes

Extent of resection^a



Completeness of resection



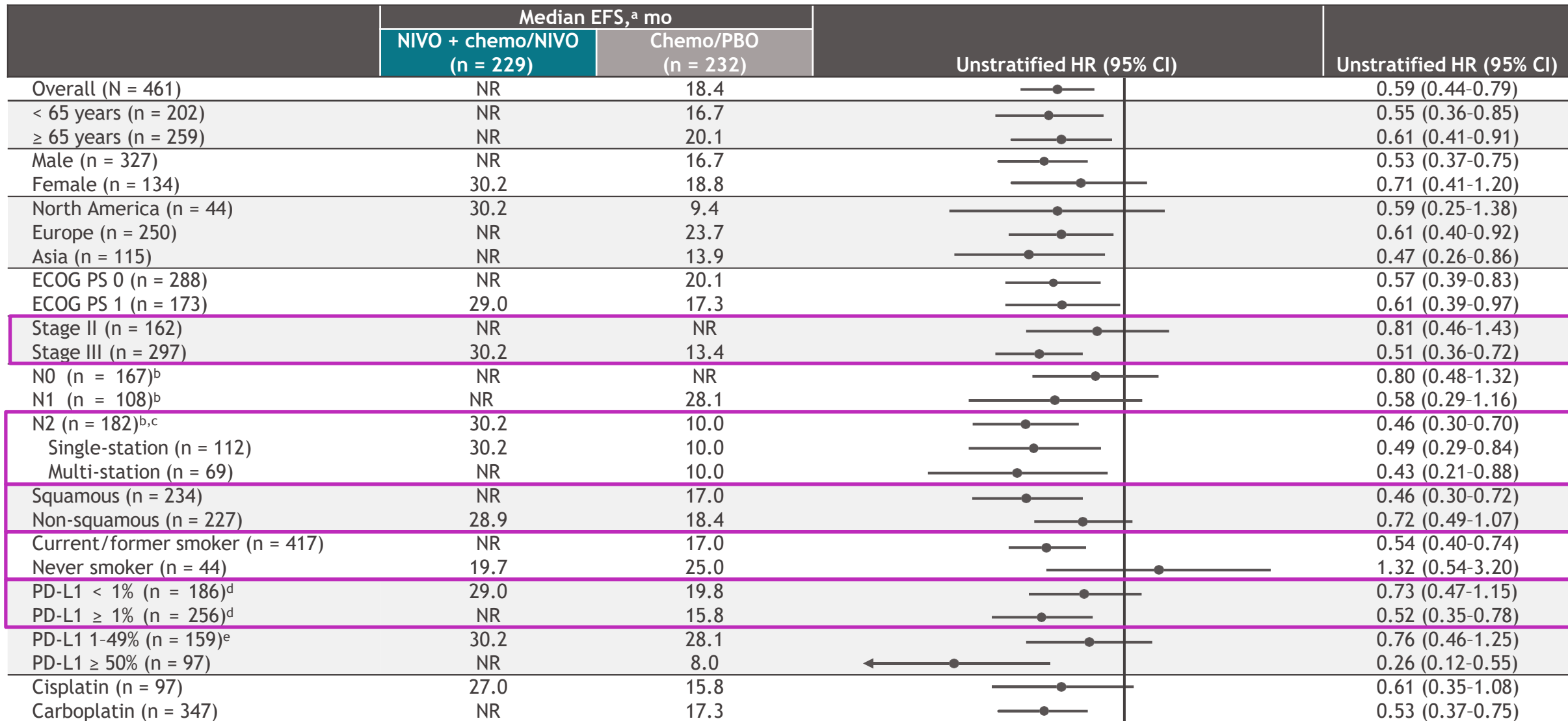
Primary endpoint:**EFS^a per BICR with neoadjuvant NIVO + chemo/adjuvant NIVO vs chemo/PBO**

- EFS per investigator assessment, NIVO + chemo/NIVO vs chemo/PBO: HR, 0.56; 95% CI, 0.41-0.76

Median follow-up (range): 25.4 months (15.7-44.2).

^aTime from randomization to any disease progression precluding surgery, abandoned surgery due to unresectability or disease progression, disease progression/recurrence after surgery, progression in patients without surgery, or death due to any cause. Patients who received subsequent therapy were censored at the last evaluable tumor assessment on or prior to the date of subsequent therapy. ^bUnstratified HR (95% CI), 0.59 (0.44-0.79).

EFS analysis by key subgroups



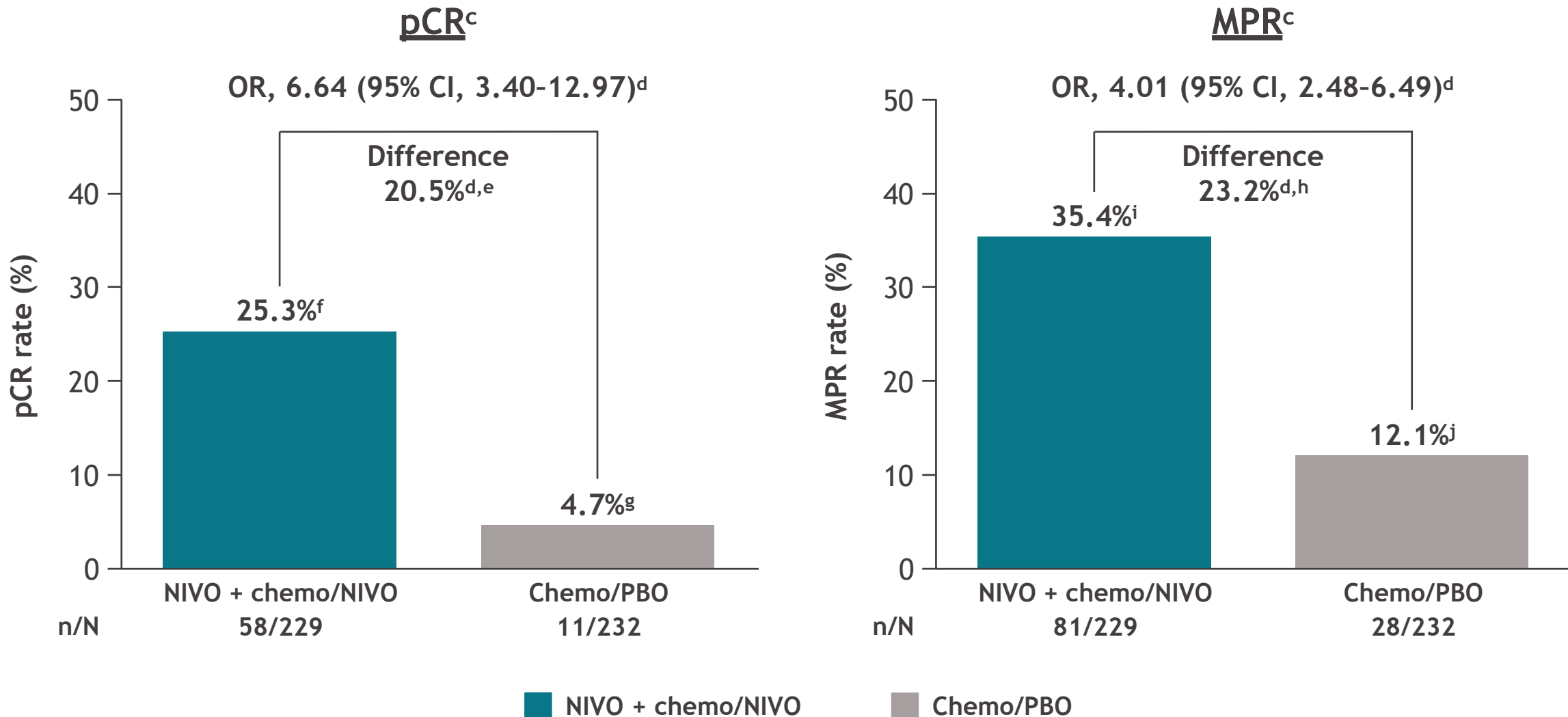
Median follow-up (range): 25.4 months (15.7-44.2).

^aPer BICR. ^bNodal status was N3 in 4 patients. ^cN2 subcategory was not reported in 1 patient. Baseline characteristics were similar across treatment arms in the N2 nodal status subgroup, which comprised ~40% of patients. ^dTumor PD-L1 expression was not evaluable/indeterminate in 19 patients. ^eMost patients in this subgroup had low PD-L1 expression (median 10% across both arms).

0.125 0.25 0.5 1 2 4

Favors NIVO + chemo/NIVO Favors chemo/PBO

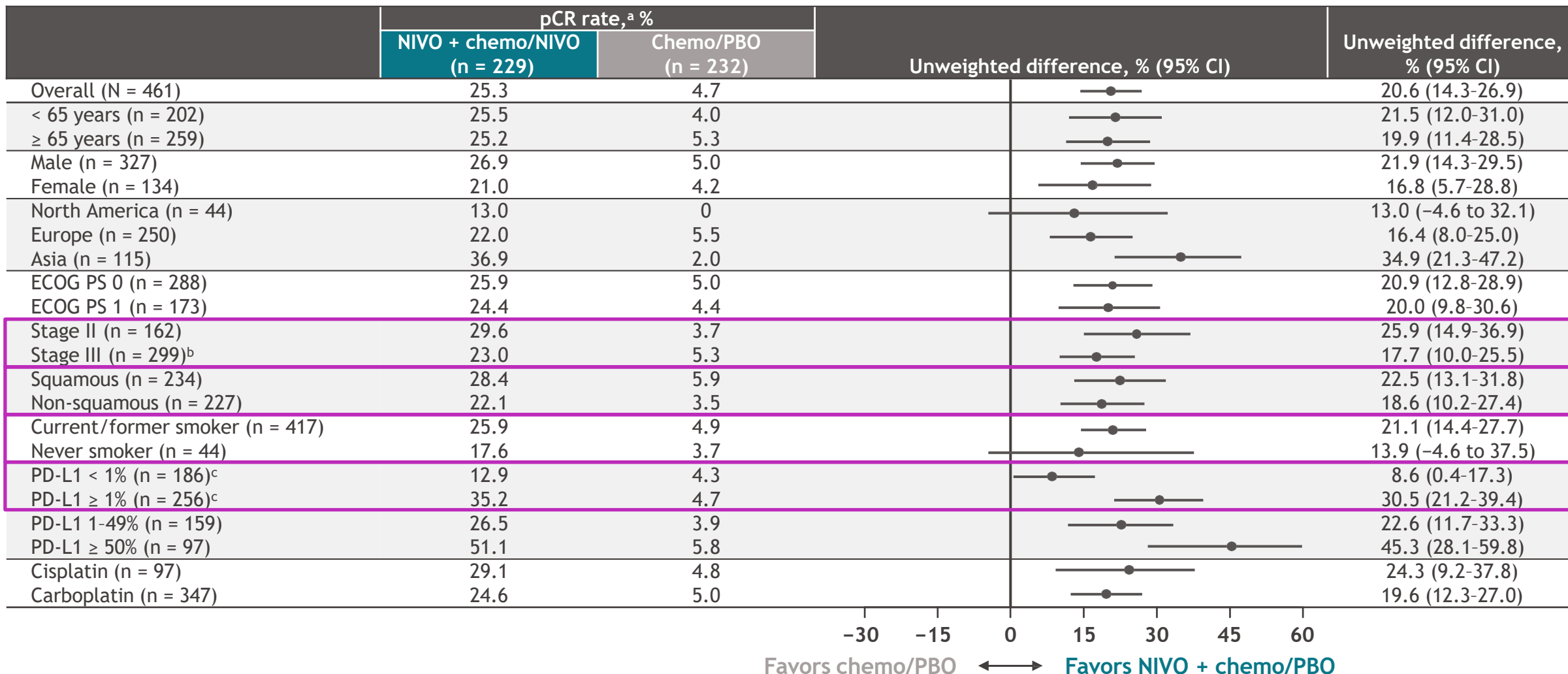
pCR^a and MPR^b per BIPR



^a0% residual viable tumor cells post-surgery in both primary tumor (lung) and sampled lymph nodes per immune-related pathologic response criteria. ^b≤ 10% residual viable tumor cells post-surgery in both primary tumor (lung) and sampled lymph nodes per immune-related pathologic response criteria. ^cPatients who did not undergo surgery or received alternative anti-cancer treatment prior to surgery were classified as non-responders.

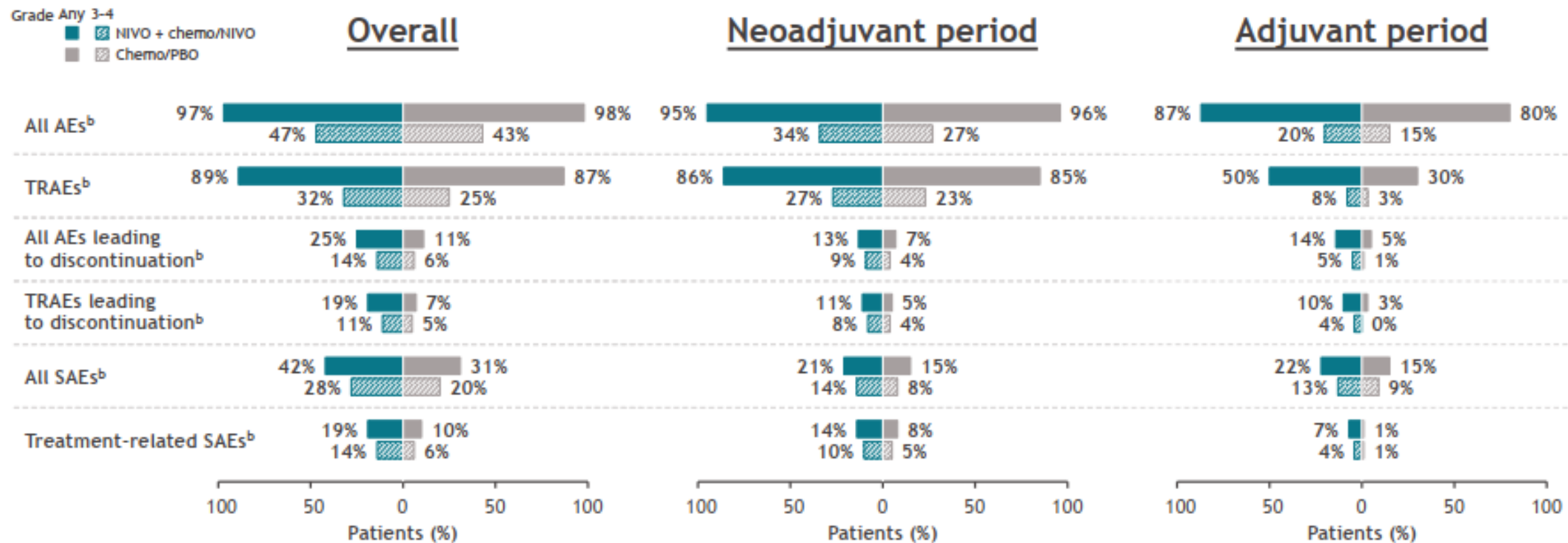
^dCalculated using the stratified Cochran-Mantel-Haenszel method. ^{e-j}95% CI: ^e14.3-26.6; ^f19.8-31.5; ^g2.4-8.3; ^h15.8-30.6; ⁱ29.2-41.9; ^j8.2-17.0. BIPR, blinded independent pathological review.

pCR analysis by key subgroups



^aPer BIPR. ^bIncluded 2 patients with stage IV disease. ^cTumor PD-L1 expression was not evaluable/indeterminate in 19 patients.

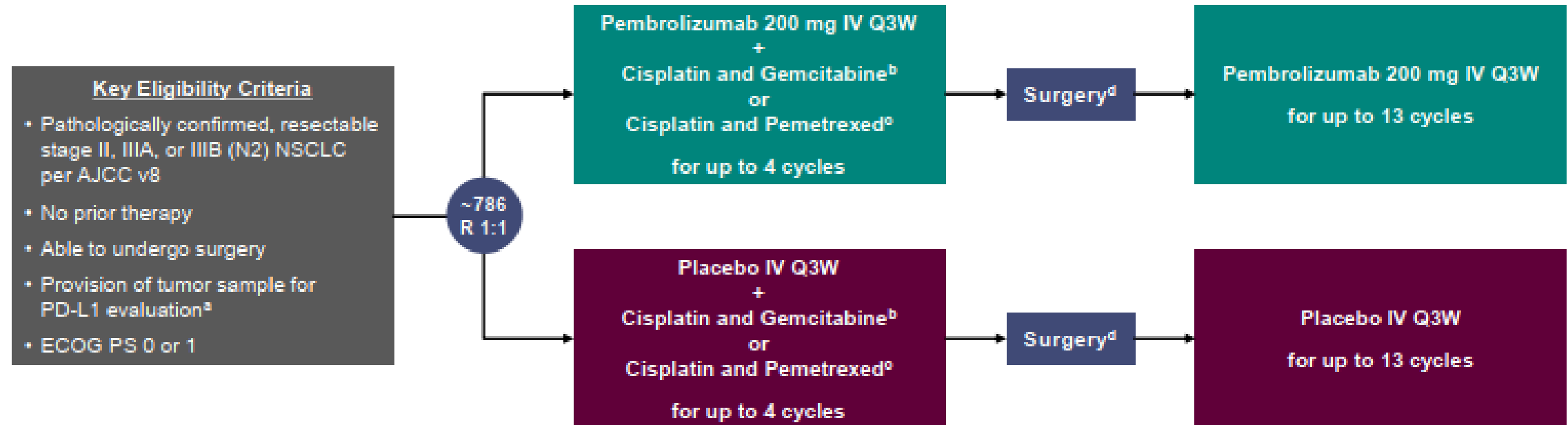
Safety summary^a across study phases



- Any-grade surgery-related AEs occurred in 73 (41%) and 69 (39%) patients in the NIVO + chemo/NIVO and chemo/PBO arms, respectively; 21 (12%) patients in each arm experienced grade 3-4 events^c
- Treatment-related deaths occurred in 2 (1%) patients in the NIVO + chemo/NIVO arm (1 due to grade 5^d pneumonitis and 1 due to grade 4 pneumonitis, both occurring after completion of neoadjuvant treatment)

KEYNOTE-671 Study Design

Randomized, Double-Blind, Phase 3 Trial



Stratification Factors

- Disease stage (II vs III)
- PD-L1 TPS^a (<50% vs ≥50%)
- Histology (squamous vs nonsquamous)
- Geographic region (east Asia vs not east Asia)

Dual primary end points: EFS per investigator review and OS

Key secondary end points: mPR and pCR per blinded, independent pathology review and safety

Baseline Characteristics, IA2

	Pembro Arm (N = 397)	Placebo Arm (N = 400)
Median age (range), years	63 (26-83)	64 (35-81)
Male	279 (70.3%)	284 (71.0%)
Race		
American Indian or Alaska Native	1 (0.3%)	0
Asian	124 (31.2%)	125 (31.3%)
Black or African American	6 (1.5%)	10 (2.5%)
Multiple	3 (0.8%)	10 (2.5%)
White	250 (63.0%)	239 (59.8%)
Missing data	13 (3.3%)	16 (4.0%)
Geographic region		
East Asia	123 (31.0%)	121 (30.3%)
Not east Asia	274 (69.0%)	279 (69.8%)
ECOG PS		
0	253 (63.7%)	246 (61.5%)
1	144 (36.3%)	154 (38.5%)
Histology		
Nonsquamous	226 (59.6%)	227 (56.8%)
Squamous	171 (43.1%)	173 (43.3%)

	Pembro Arm (N = 397)	Placebo Arm (N = 400)
Smoking status		
Current	96 (24.2%)	103 (25.8%)
Former	247 (62.2%)	250 (62.5%)
Never	54 (13.6%)	47 (11.8%)
Clinical stage ^a		
I	118 (29.7%)	121 (30.3%)
IIIA	217 (54.7%)	224 (56.0%)
IIIB	62 (15.6%)	55 (13.8%)
N status ^a		
cN0	148 (37.3%)	142 (35.5%)
cN1	81 (20.4%)	71 (17.8%)
cN2	168 (42.3%)	187 (46.8%)
PD-L1 TPS		
≥50%	132 (33.2%)	134 (33.5%)
1-49%	127 (32.0%)	115 (28.8%)
<1%	138 (34.8%)	151 (37.8%)
Known EGFR mutation ^b	14 (3.5%)	19 (4.8%)
Known ALK translocation ^b	12 (3.0%)	9 (2.3%)

^aAs determined by imaging and biopsy. ^bEGFR mutation and ALK translocation status were tested locally per Investigator discretion. EGFR status was unknown in 272 (68.5%) participants in the pembro arm and 257 (64.3%) in the placebo arm; ALK status was unknown in 281 (70.8%) and 259 (64.8%), respectively. Data cutoff date for analysis: July 10, 2023.

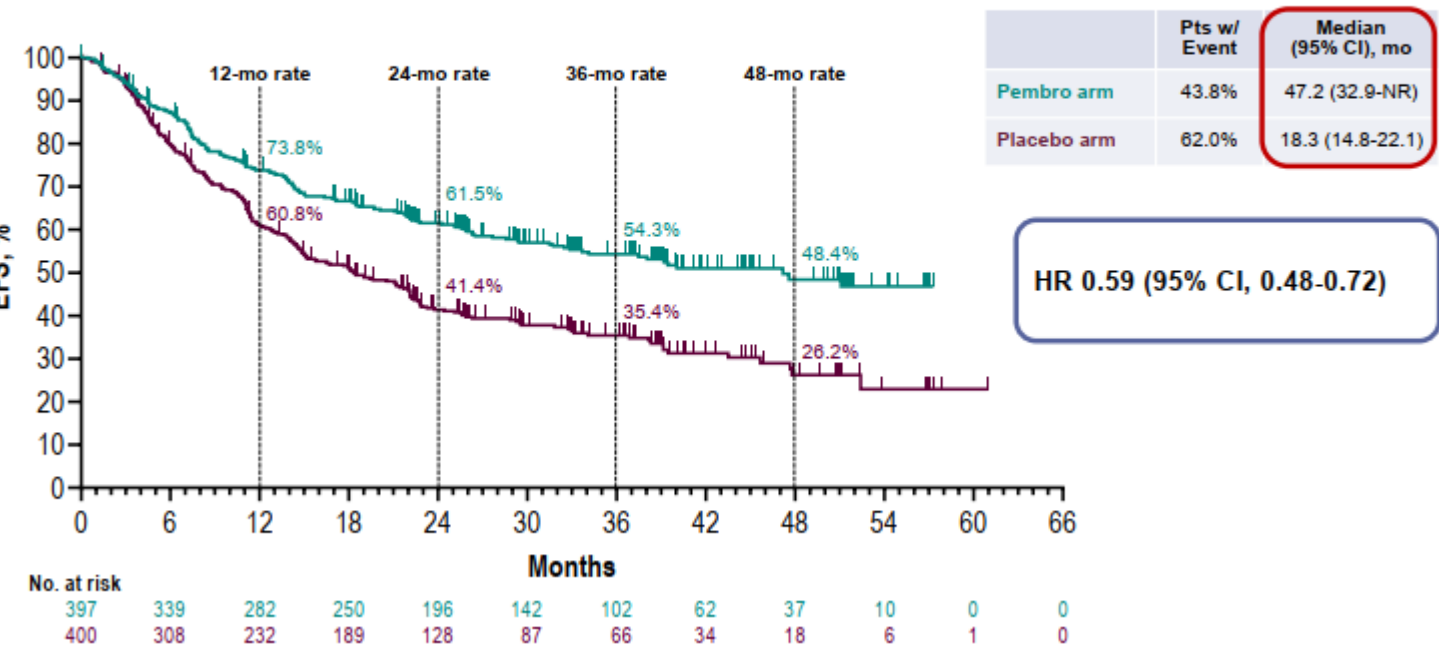
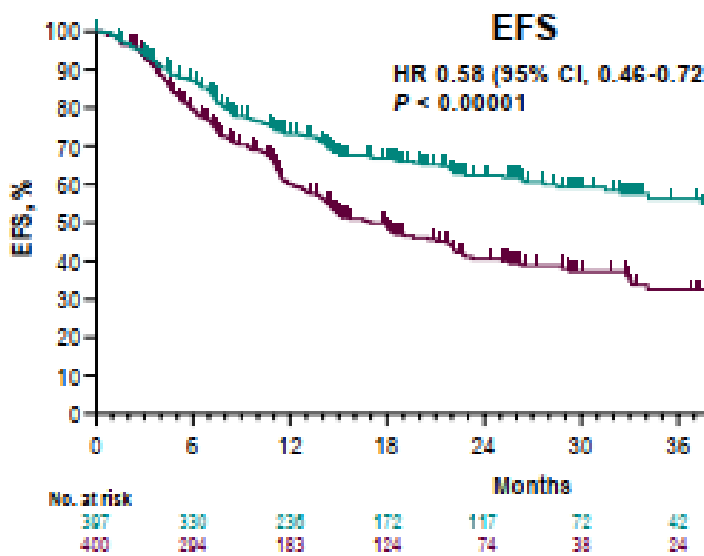


KEYNOTE-671 Results: Interim Analysis 1

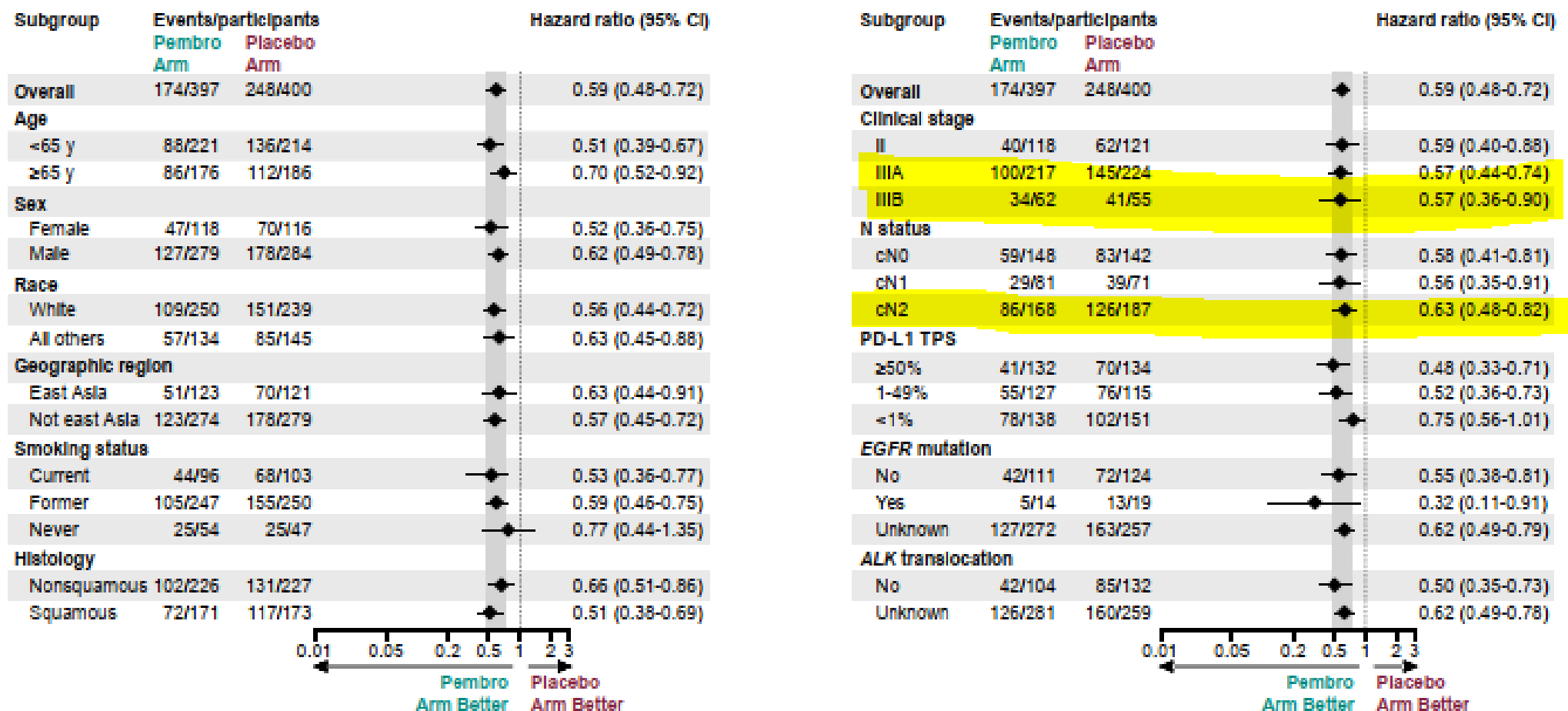
Median Follow-Up^a: 25.2 months (range, 7.5-50.6)

- Neoadjuvant pembrolizumab + chemotherapy followed by surgery and adjuvant pembrolizumab significantly improved EFS, mPR, and pCR compared with neoadjuvant chemotherapy and surgery alone
- AE profile was as expected based on the known profiles of the individual treatment components

Event-Free Survival, IA2
Median Follow-Up: 36.6 months (range, 18.8-62.0)

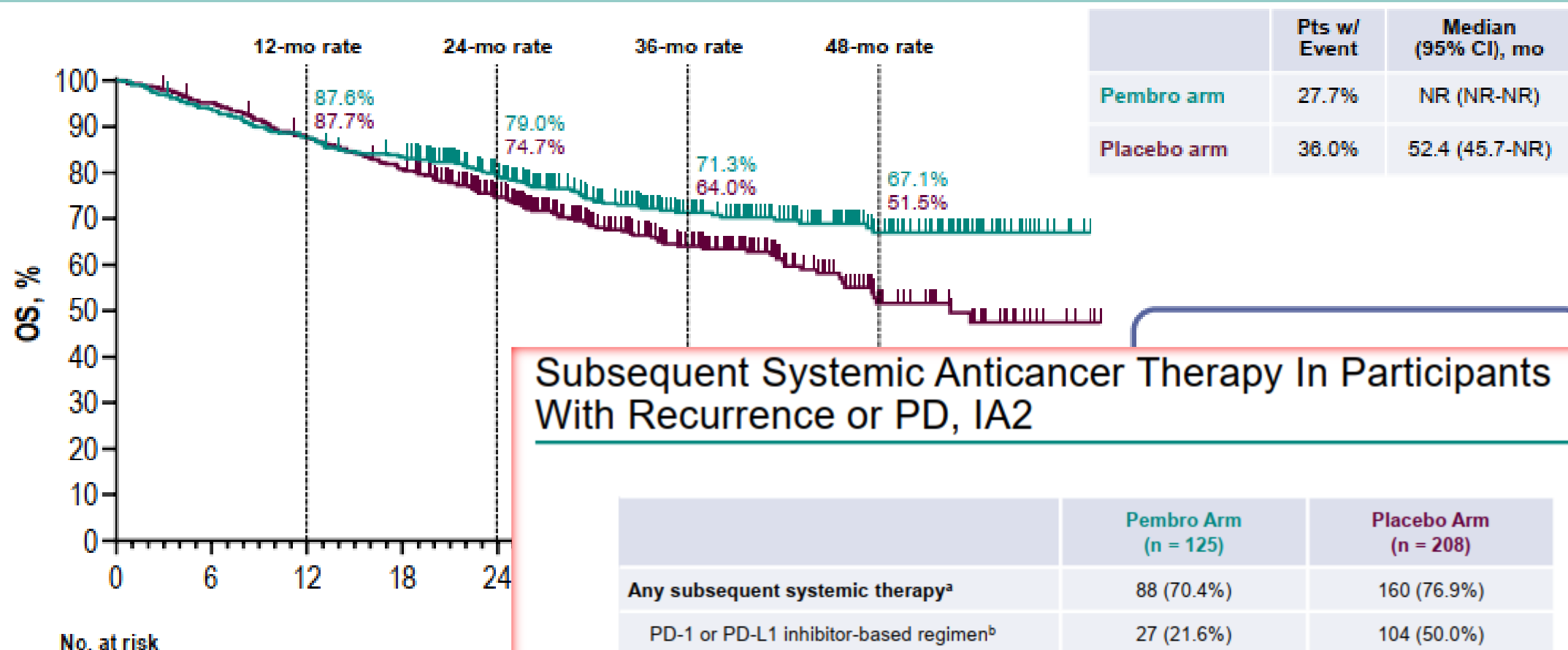


Event-Free Survival in Subgroups, IA2



Overall Survival, IA2

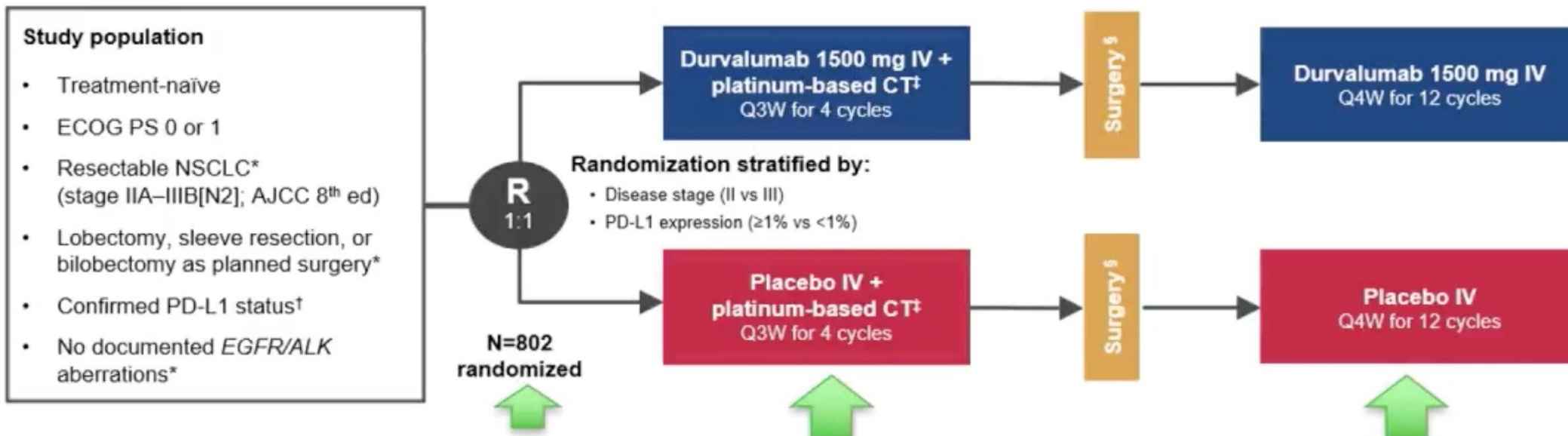
Median Follow-Up: 36.6 months (range, 18.8-62.0)



Subsequent Systemic Anticancer Therapy In Participants With Recurrence or PD, IA2

	Pembro Arm (n = 125)	Placebo Arm (n = 208)
Any subsequent systemic therapy ^a	88 (70.4%)	160 (76.9%)
PD-1 or PD-L1 inhibitor-based regimen ^b	27 (21.6%)	104 (50.0%)
Chemotherapy-based regimen	54 (43.2%)	72 (34.6%)
TKI-based regimen ^c	23 (18.4%)	25 (12.0%)
Other	9 (2.7%)	3 (1.4%)

Schema of the AEGEAN Trial



Endpoints: All efficacy analyses performed on a modified population that excludes patients with documented EGFR/ALK aberrations[¶]

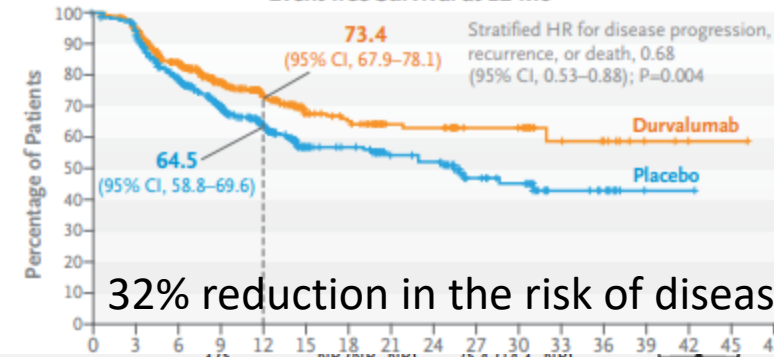
Primary:

- pCR by central lab (per IASLC 2020¹)
- EFS using BICR (per RECIST v1.1)

Key secondary:

- MPR by central lab (per IASLC 2020¹)
- DFS using BICR (per RECIST v1.1)
- OS

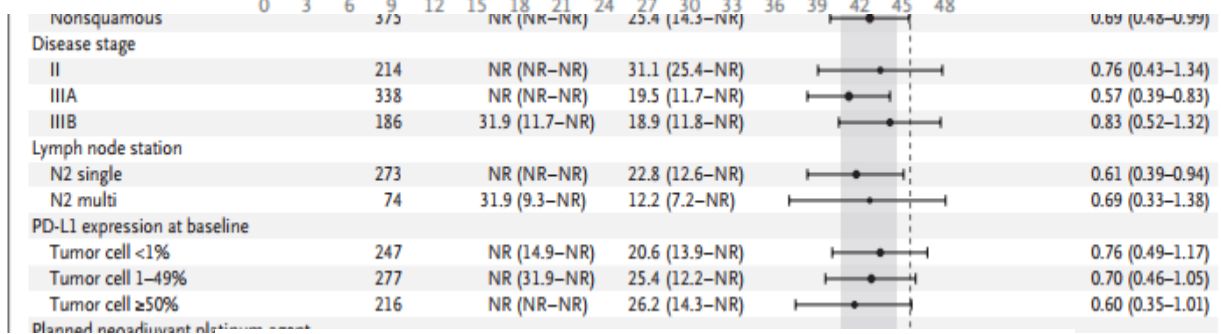
Event-free Survival at 12 Mo



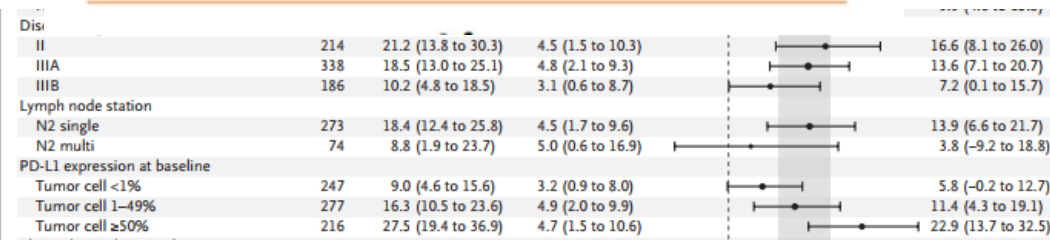
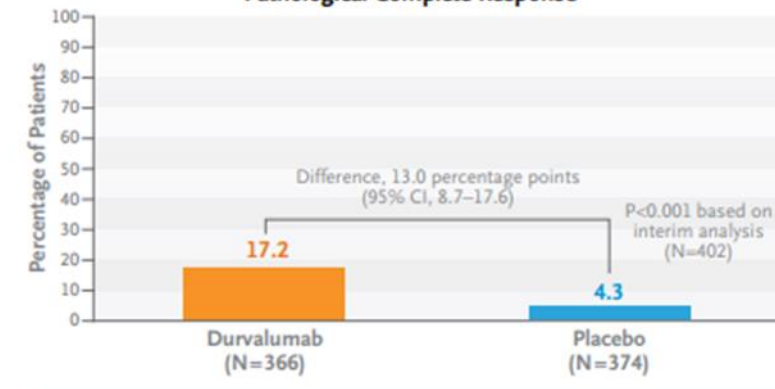
32% reduction in the risk of disease progression

Table 1. Characteristics at Baseline and Planned Treatment, Modified Intention-to-Treat Population.*

Characteristic†	Durvalumab Group (N=366)	Placebo Group (N=374)
Age		
Median (range) — yr	65 (30–88)	65 (39–85)
≥75 yr — no. (%)	44 (12.0)	36 (9.6)
Disease stage — no. (%)¶		
II	104 (28.4)	110 (29.4)
IIIA	173 (47.3)	165 (44.1)
IIIB	88 (24.0)	98 (26.2)
TNM classification, primary tumor — no. (%) 		
T1	44 (12.0)	43 (11.5)
T2	97 (26.5)	108 (28.9)
T3	128 (35.0)	129 (34.5)
T4	97 (26.5)	94 (25.1)
TNM stage, regional lymph nodes — no. (%)		
N0	110 (30.1)	102 (27.3)
N1	75 (20.5)	87 (23.3)
N2	181 (49.5)	185 (49.5)
Single-station	141 (38.5)	132 (35.3)
Multistation	34 (9.3)	40 (10.7)



Pathological Complete Response



Erken evre KHDAK'nde Perioperatif İmmunoterapi

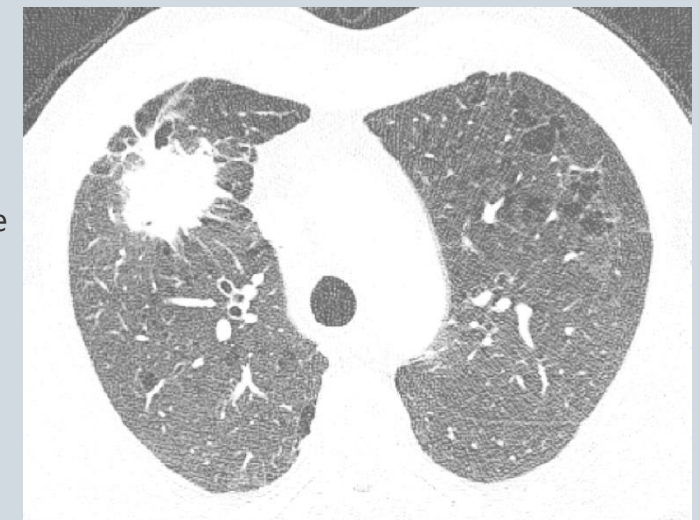
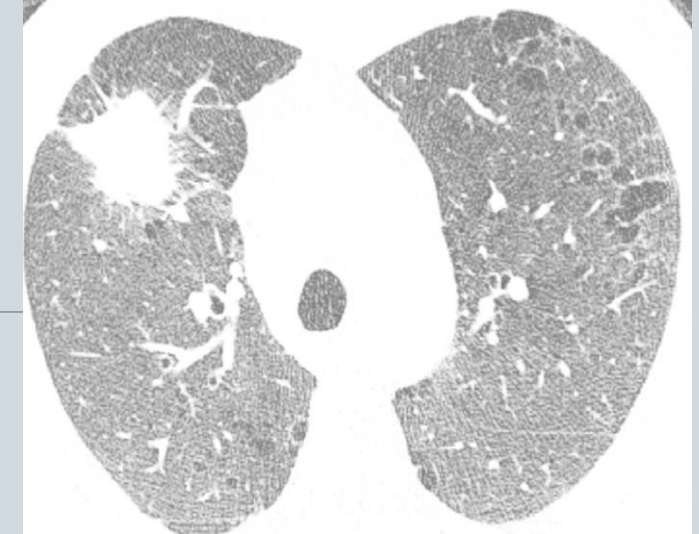
	NADIM II	CM-816	KN-671	AEGEAN	NEOTORCH	CM 77T
İlaç	Nivolumab	Nivolumab	Pembrolizumab	Durvalumab	Torpalimab	Nivolumab
Evre	IIIA-IIIB	IB-IIIA	IIA- IIIB	IIA- IIIB	II-III	IIA-IIIB
Adjuvan süre	6 ay	Opsiyonel	1 yıl	1 yıl	1 yıl	1 yıl
Definitif cerrahi	%93	%96	%98		%98	%89
ORR	%75					
pCR	%37	%24	%18	%17	%25	%25
MPR	%53		%30	%33	%48	%35
2-y EFS	%67	%64	%62	%63	%65	NR
OS	NR	NR	NR	NR	NR*	NR

HR 0.72

VAKA 3 : İK, yaş Erkek hasta

Temmuz 2023

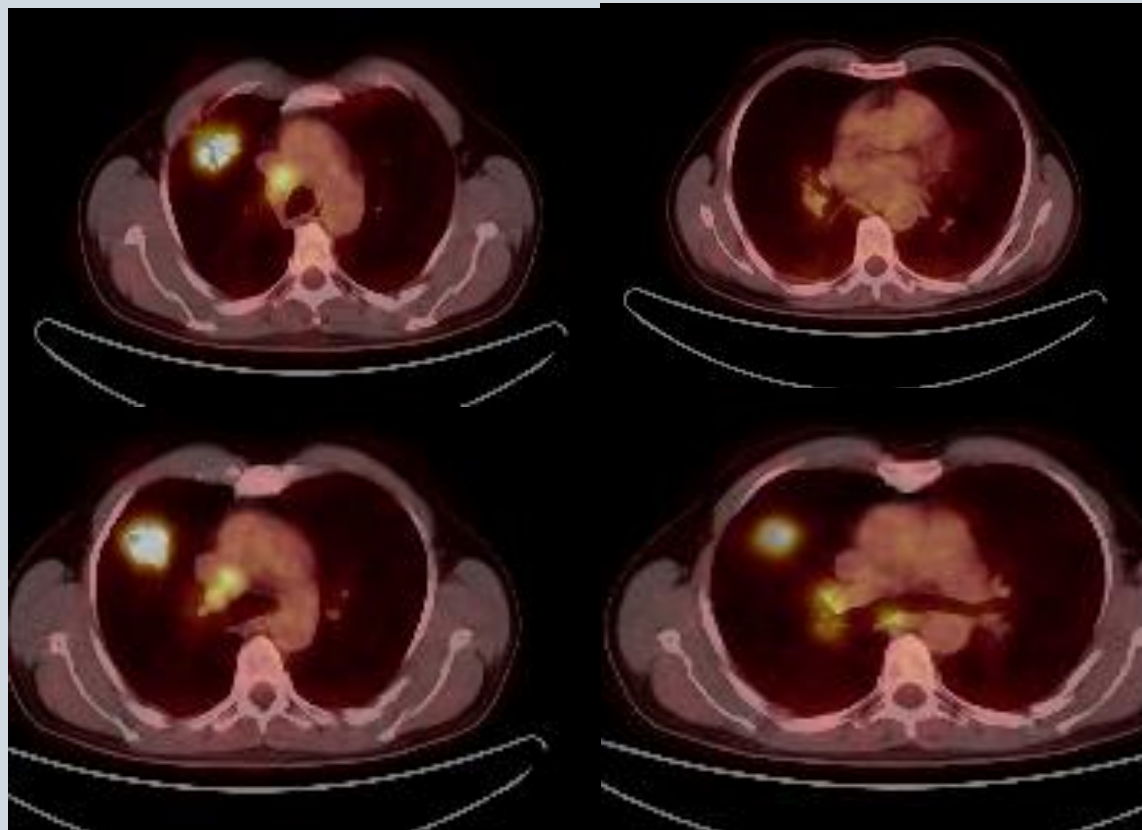
- Kilo kaybı, halsizlik, öksürük
- Kronik hast yok, 30 p/y
- 04/22de Acil Appendektomi
- Aile öyküsü: Dayı Akc Ca
- **FM:** Spesifik bulgu yok
- **PAAAC:** Sağ Akc üst zonda opasite



Subkarinal 15 mm LAP ile uyumlu oval nodüler dansite izlenmektedir.
Sağ akciğer üst lob anterior segmentte yaklaşık 41x43x37 mm boyutlara ulaşan konturu düzensiz - spiküler kitle (Primer malignite?, PET CT inceleme ile korelasyon ve sitolojik değerlendirmesi önerilir).

6 Ağustos 2023 PET-CT: Sağ akciğer üst lob anterior segment te 40x38 mm boyutlarının daki kitle lezyonun da (SUD max 11.0) , mediasten de sağ da paratrakeal alan da 37 mm boyutlarının da nodal lezyon da (SUD max 8.5) , sağ da hiler bölge de en büyüğü 25 mm boyutlarının da nodal lezyonlar da (SUD max 6.3) , subcarinal alan da 27 mm boyutlarının da nodal lezyon da (SUD max 9.3) artmış FDG tutulumları dikkati çekmiştir.

10.08.2023 Kontrastlı Kranial MRG: Normal limitlerde inceleme



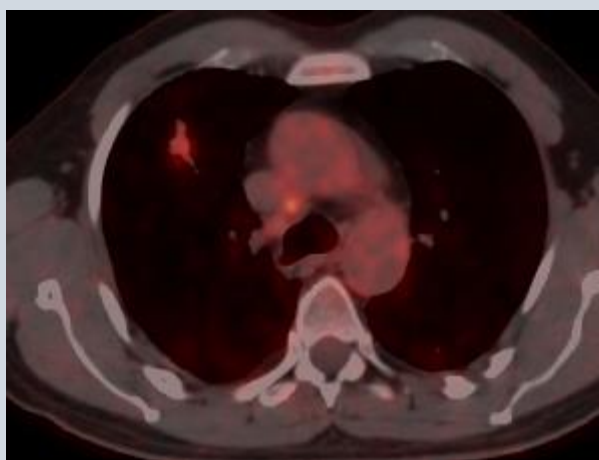
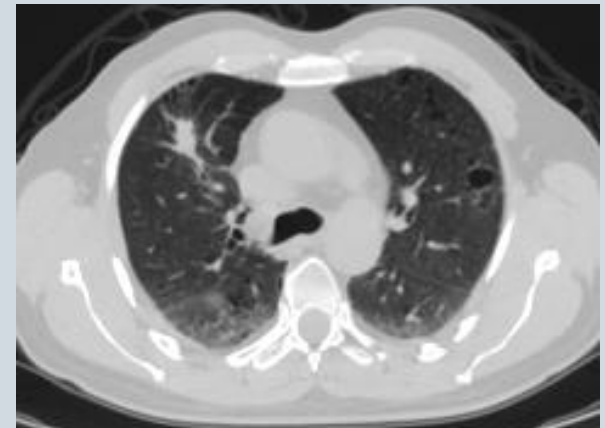
TİİAB Patoloji: SCC; PDL-1 %30

Paklitaksel 200 mg/m²; Carboplatin AUC 5; Nivolumab 360 mg X 3 kür

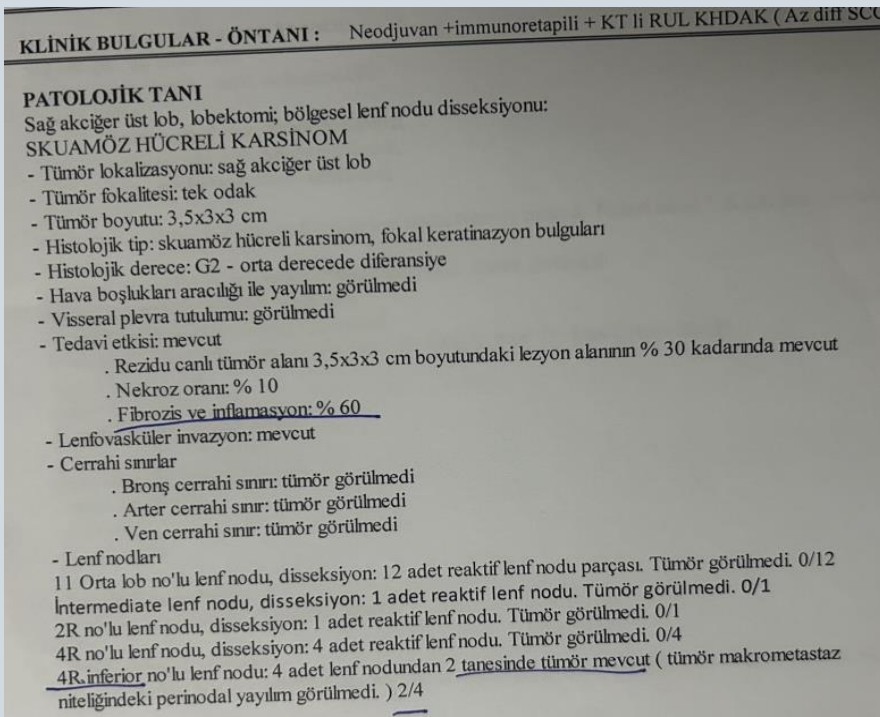
Preop PET-BT:

20.10.2023: Ağustos 2023 tarihli PET/BT incelemesi ile karşılaştırılmış olarak yapılmıştır. Sağ akciğer üst lob anterior segmentte yer alan primer malign tümöral lezyonun boyut ve metabolik aktivitesi kısmen azalmıştır (eski çap 40x33mm, yeni çap 21x18mm, eski SUDmax 11, yeni SUDmax 4.7).

- Sağ alt paratrakeal, trakeabronşial ve sağ hiler nodal istasyonlarda izlenilen metastatik lenf nodlarının boyut ve metabolik aktivitesi kısmen azalırken, subkarinal lenf nodu bu çalışmada gözlenmemiştir.



Operasyon Patolojisi ile MDT



Ek Adjuvan 3 kür Paklitaksel/Karboplatin
+ Nivolumab 360 mg/3w

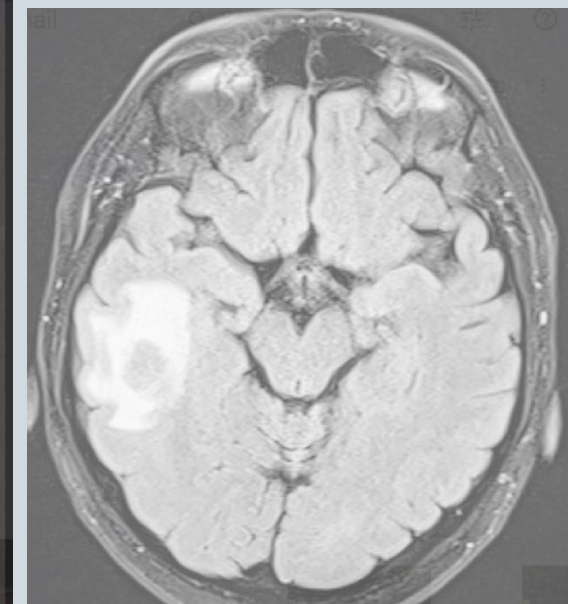
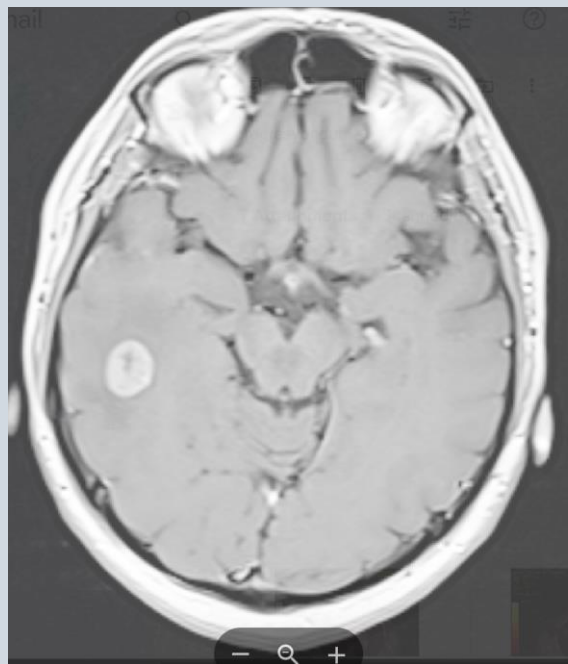
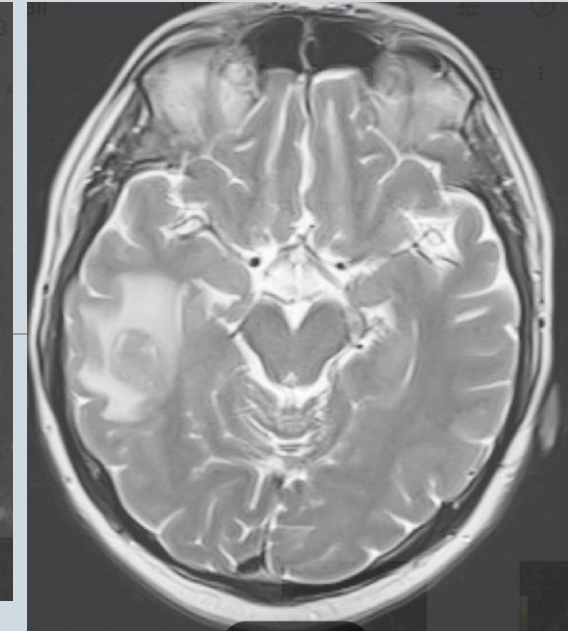
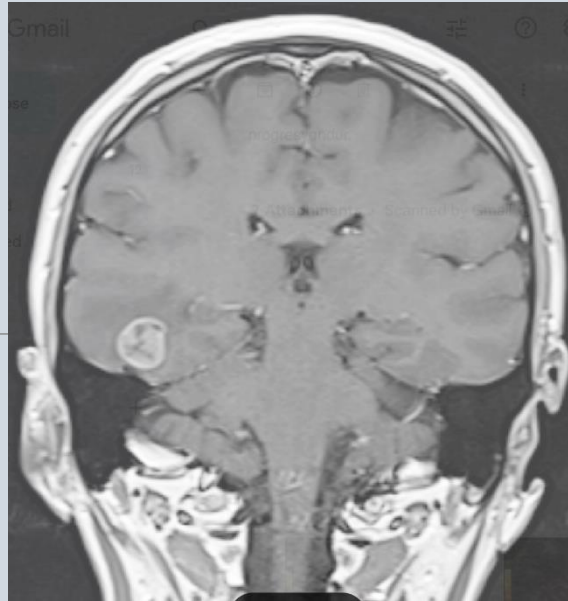
Bitiminde Nivolumab 480 mg / 4 haftada bir
adjuvan devam edildi

Haziran 2024: Bayılma

Kontrastlı MRI: Sağ inferodorsal temporal kortikosubkortikal yerleşimli, 18 mm çapta nodüler nonhomojen sinyal özelliklerinde solid mass. Perilezyonel orta derecede vazojenik ödem.

PET-CT: Belirgin FDG afiniteli malignite bulgusunun saptanmadığı tüm vücut PET/CT çalışması

CTC/ctDNA → Epitelyal malignite bulgusu Negatif



SRS uygulandı, Nivolumab 480 mg devam edildi (Son doz 6 Ekim 2024)

Kasım 2024: Şikayeti yok, Kontrol MR'da lezyonda büyümeye

MR Spektorokopi incelemesinde nekroz ile uyumlu yaygın laktat pikleri izlendi.
Bulgular nekroz/radyasyon nekrozu lehine yorumlanmıştır.

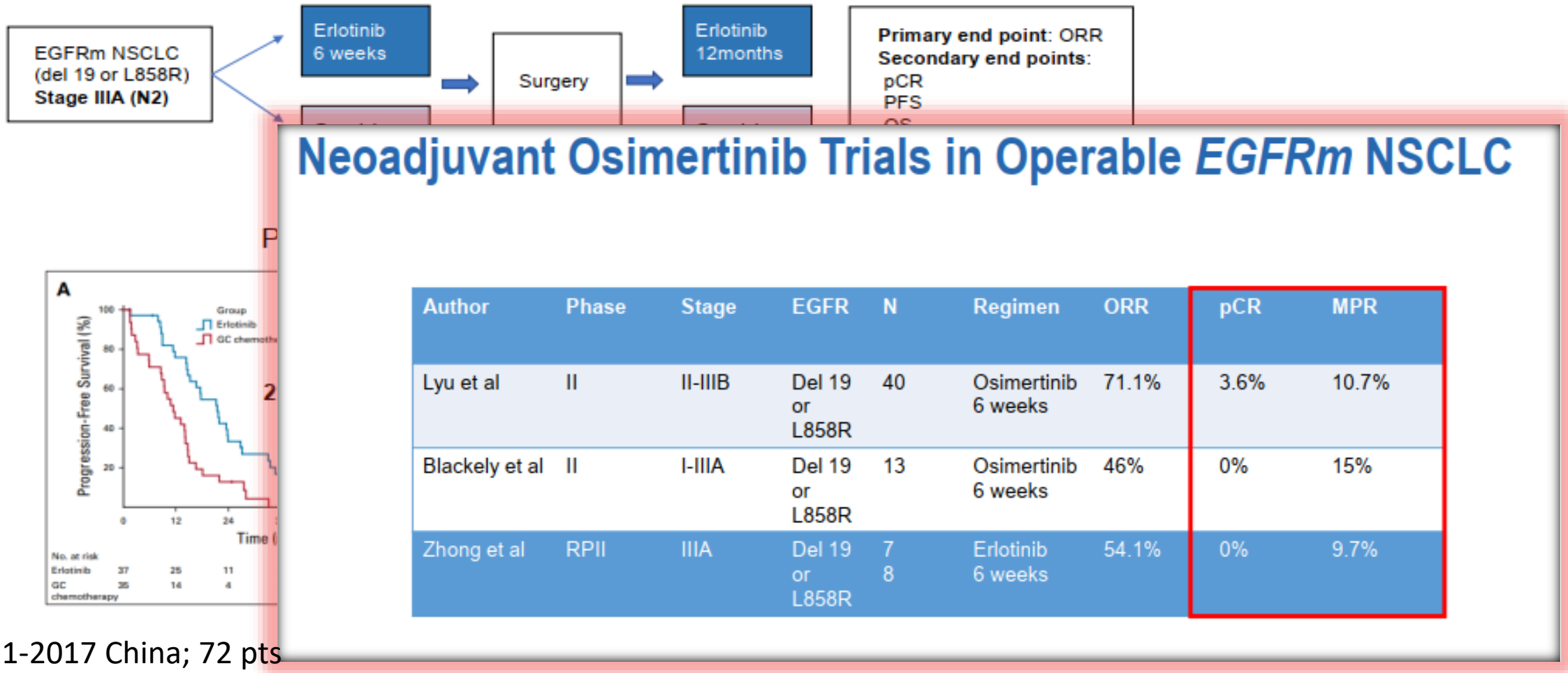
03.06.2024 tarihli PET-BT ile karşılaştırıldığında:
Belirgin FDG afiniteli malignite bulgusunun saptanmadığı tüm vücut PET/CT
çalışması.

NRŞ konseyinde tartışıldı; Cerrahi bir seçenek; görüntülerin radyonekroz
olasılığı sebebiyle öncelikle sistemik tedavi ile 2 ay sonra kontrol

Bevacizumab 7.5 mg/kg/2w başlandı

Perioperatif TKI??

CTONG 1103: Neoadjuvant Erlotinib in N2 EGFRm NSCLC (RPII)



NeoAdaura



Ex19del, Exon 19 deletion; NSCLC, non-small cell lung cancer; EGFRm, epidermal growth factor receptor mutation-positive; R, randomisation, Q3W, every three weeks; MPR, major pathological response; pCR, complete pathological response; EFS, event-free survival; OS, overall survival.

Table 2

Ongoing clinical trials investigating (neo)adjuvant TKIs in oncogenic NSCLCs.

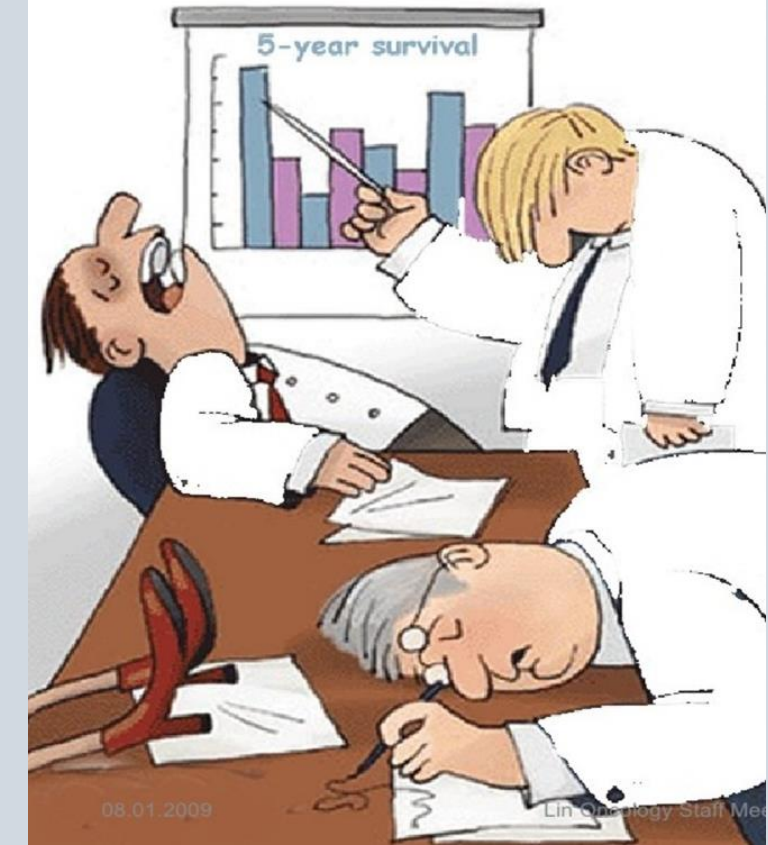
Oncogene	(Neo) adjuvant	Study	Phase	Stage	Regimen	No.	Primary endpoint
<i>EGFR</i> mutation	Adjuvant	ICTAN (NCT01996098)	III	IIA-III A	CT vs CT + icotinib for 6 or 12 mo	318	DFS
		CORIN (NCT02264210)	II	IB	Clinical observation vs icotinib for 12 mo	128	OS
		ALCHEMIST (NCT02193282)	III	IB ($T \geq 4\text{cm}$) - III A	CT vs CT + erlotinib for 2 y	450	OS
		APEX (NCT04762459)	III	II-III A	CT vs CT + Almonertinib for 3 y vs Almonertinib for 3 y	606	DFS
		NeoADAURA (NCT04351555)	III	II-III B (N2)	Osimertinib vs osimertinib + CT vs placebo + CHT → surgery → investigator choice (osimertinib for 3 y)	328	MPR
	Neoadjuvant	ANSWER (NCT04455594)	II	IIIA N2	Almonertinib vs Erlotinib/CT	168	ORR
		Neolpower (NCT05104788)	II	II-III B	Icotinib + CT for 2 cycles → surgery	27	MPR
		NCT04201756	II	III	Afatinib 16 weeks → surgery → Afatinib for 1 y	47	ORR
		NCT03749213	II	IIIA N2	Icotinib for 8 w → surgery → icotinib for 2 y	36	ORR
		ALCHEMIST (NCT02193282)	III	IB ($T \geq 4\text{ cm}$) - III A	CT vs CT + crizotinib for 2 y	450	OS
<i>ALK</i> rearrangement	Adjuvant	NCT05241028	II	IB ($T \geq 4\text{ cm}$) - III A	Ensartinib for 3 y	80	3 y-DFSR
		ALINA (NCT03456076)	III	IB ($T \geq 4\text{ cm}$) - III A	CT vs alectinib for 2 y	255	DFS
	Neoadjuvant	ALNeo (NCT05015010)	II	III	Alectinib 2cycles → surgery → alectinib for 2 y	33	MPR
<i>RET</i>	Adjuvant	LIBRETTO-432 (NCT04819100)	III	IB-III A	Surgery/radiation → selpercatinib for 3 y	170	EFS
<i>MET</i>	Neoadjuvant	Geometry-N (NCT04926831)	II	Stages II-III A, N2 and selected IIIB (T3N2 or T4N2)	Capmatinib → surgery → adjuvant capmatinib	38	MPR
Other mutations <i>ALK/ROS1/BRAF/RET/NTRK</i>	Neoadjuvant	NAUTIKA1 (NCT04302025)	II	II-III	TKI 2cycles → Surgery → CT + TKI for 2 y (alectinib, entrectinib, pralsetinib, vemurafenib + cobimetinib)	60	MPR

DFS, disease-free survival; DFSR, disease-free survival rate; OS, overall survival; MPR, major pathological response; ORR, objective response rate; RR, resection rate; CT, chemotherapy; TKI, tyrosine kinase inhibitor.

Sorular

- ❖%20'ye yakın hasta cerrahiye gidemiyor → Tedavi ilişkili yan etkiler <%5 ;
En sık sebep hastalık progresyonu →Kötü prognostik grup nasıl seçilmeli?
- ❖Optimal Adjuvan tedavi?
Ek olarak→ Upfront cerrahi sonrası Adjuvan ile karşılaşılmıyorlar
- ❖Diğer Hedefler?
- ❖ctDNA based tedavi yönlendirmeleri

TEŞEKKÜRLER..



naziye.ak@istanbul.edu.tr

@naziyeak